

17-168

АЗЭРБАЙЧАН ССР ЕЛМЛЭР АКАДЕМИЈАСЫ  
АКАДЕМИЯ НАУК АЗЕРБАЙДЖАНСКОЙ ССР

---

МӨРҮЗӘЛӘР  
ДОКЛАДЫ

ТОМ XXVI ЧИЛД

12

---

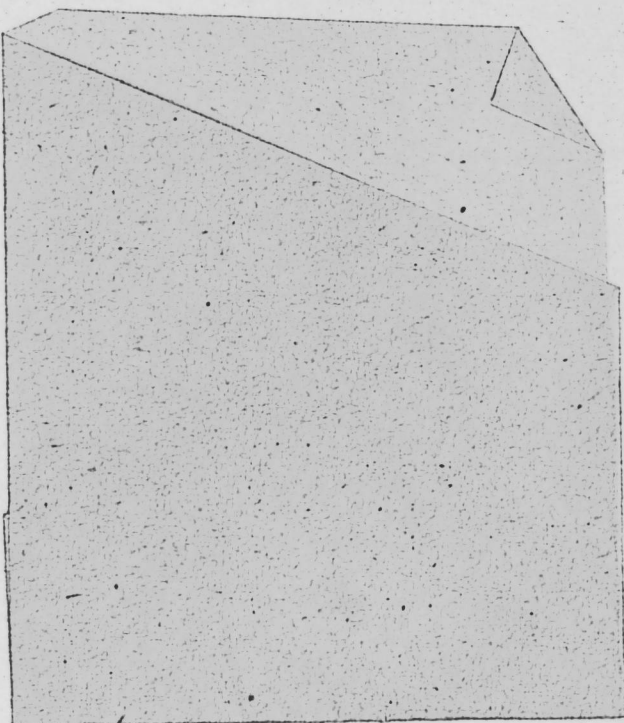
«ЕЛМ» ПОШРИЯТЫ  
ИЗДАТЕЛЬСТВО «ЭЛМ»  
БАКЫ - 1970 - БАКУ

АЗЭРБАЙЧАН ССР ЕЛМЛЭР АКАДЕМИЯСЫ  
АКАДЕМИЯ НАУК АЗЕРБАЙДЖАНСКОЙ ССР

# МӨ'РУЗЭЛӨР ДОКЛАДЫ

ТОМ XXVI ЧИЛД

№ 12



•ЕЛМ• НЭШРИЛДЫ  
ИЗДАТЕЛЬСТВО „ЭЛМ“  
БАКЫ—1970—БАКУ

Д. Н. ВОРОТНИКОВА, Г. И. ГРЕБЕННИКОВ

ЗАВИСИМОСТЬ ВНУТРЕННЕГО ТЕПЛОВОГО  
СОПРОТИВЛЕНИЯ ТРАНЗИСТОРОВ ОТ РЕЖИМА РАБОТЫ

(Представлено академиком АН Азербайджанской ССР Г. Б. Абдуллаевым)

Тепловое сопротивление участка между переходом и корпусом транзистора  $R_{tpk}$  определяется геометрией и теплопроводностью материалов элементов конструкции и, согласно [1], записывается в виде:

$$R_k = \sum_{k=1}^m \frac{h_k}{S_k \lambda_k},$$

где:  $h_k$  — толщина материала  $k$ -го элемента конструкции прибора,  $S_k$  — площадь сечения элемента,  $\lambda_k$  — коэффициент теплопроводности материала  $k$ -го элемента конструкции прибора.

Однако при определенных режимах работы полупроводникового прибора внутреннее тепловое сопротивление между переходом и корпусом  $R_{tpk}$  начинает зависеть от напряжения и тока. Автор [2] считает, что на величину теплового сопротивления большее влияние оказывает ток, чем напряжение. Согласно [3,4]  $R_{tpk}$  транзистора в области высоких напряжений не является постоянной величиной, а зависит главным образом от напряжения. Зависимость теплового сопротивления от напряжения [3] указывает на то, что тепловое сопротивление остается практически без изменения до определенной величины, а затем быстро увеличивается. С увеличением тока эта критическая точка роста  $R_{tpk}$  сдвигается в сторону более низких напряжений. Зависимость теплового сопротивления от режима работы свидетельствует о неравномерности распределения тока в транзисторе с последующим возникновением термической неустойчивости [1].

На рис. 1 приведены зависимости температуры  $p-n$ -перехода от длительности разогревающего импульса при разных значениях тока и напряжения для трех мощных диффузионно-сплавных германниевых транзисторов, из которого видно, что при определенной длительности разогревающего импульса температура на  $p-n$ -переходе резко увеличивается, вследствие чего растет внутреннее тепловое сопротивление  $R_{tpk}$ .

Простое объяснение физических основ зависимости внутреннего теплового сопротивления от режима работы приведено в работе [4].

РЕДАКЦИОННАЯ КОЛЛЕГИЯ: Г. Б. Абдуллаев (главный редактор), Ш. А. Азиз-беков, Г. А. Алиев, В. Ю. Ахундов, В. Р. Волобуев, А. И. Гусейнов, М. А. Дадашзаде (зам. главного редактора), М. А. Кашкай, С. Д. Мехтиев, М. А. Топчибашев, Г. Г. Зейналов (ответств. секретарь).

Адрес: г. Баку, Коммунистическая, 10. Редакция «Докладов Академии наук Азербайджанской ССР».

753597

Центральная научная  
БИБЛИОТЕКА  
Академии наук Киргизской ССР

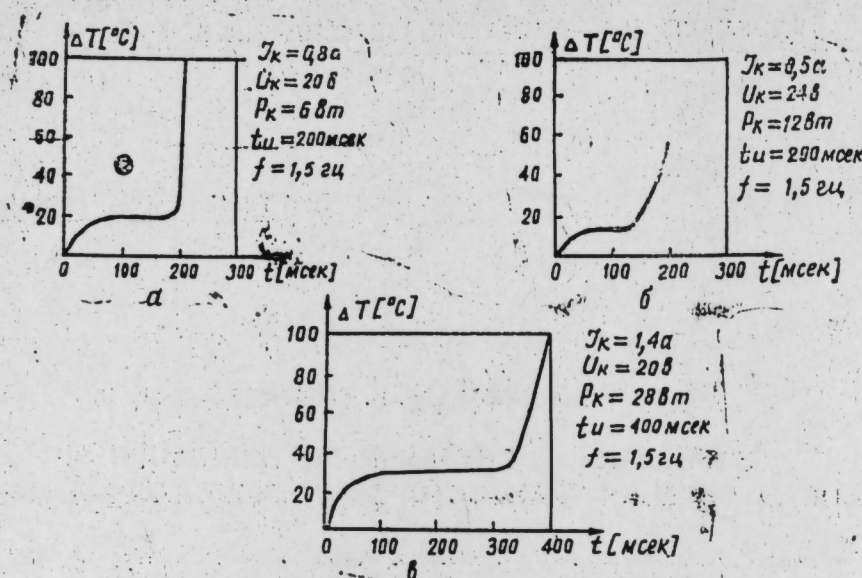


Рис. 1. Осциллограммы зависимости температуры  $p-n$ -перехода от длительности разогревающих импульсов при разных значениях тока и напряжения.

Если транзистор работает при низком коллекторном напряжении, то протекание тока будет происходить преимущественно по краю области эмиттера. Это известное явление возникает под влиянием падения напряжения, возникающего на сопротивлении в цепи базы при прохождении тока базы. Ток распределяется по значительному периметру эмиттера, откуда возникающее тепло передается на поверхность транзистора. В случае повышения коллекторного напряжения ток сосредоточивается под влиянием электрического поля в направлении к центру, плотность тока повышается, и, поскольку ток теперь проходит по меньшей площади, повышается тепловое сопротивление. Температура  $p-n$ -перехода также повышается по сравнению со средней, соответствующей постоянной величине рассеиваемой мощности при постоянном тепловом сопротивлении. Кроме того, необходимо учитывать влияние неоднородности переходов. Области коллектора и эмиттера не во всех местах одинаково удалены друг от друга, так что ток (особенно при более высокой интенсивности) может сосредоточиваться в более узких местах, вследствие чего возникает повышенное тепловое сопротивление.

Таким образом, зная зависимость  $R_{\text{тпк}}$  от длительности разогревающих импульсов, напряжения и тока, можно определить область безопасной работы транзистора.

Для измерения температуры  $p-n$ -перехода и теплового сопротивления на рис. 2 приведена блок-схема измерителя тепловых характеристик, позволяющего визуально наблюдать на экране осциллографа кривые нагревания и остывания температуры  $p-n$ -перехода в режимах, приближенных к реальным условиям, определить зависимость теплового сопротивления от режима работы и выявить границы тепловой устойчивости полупроводникового прибора.

Измеритель тепловых характеристик выдает прямоугольные импульсы тока (см. рис. 2б), поступающие на выход испытуемого транзистора.

Время следования импульсов  $T$  регулируется блокинг-генератором

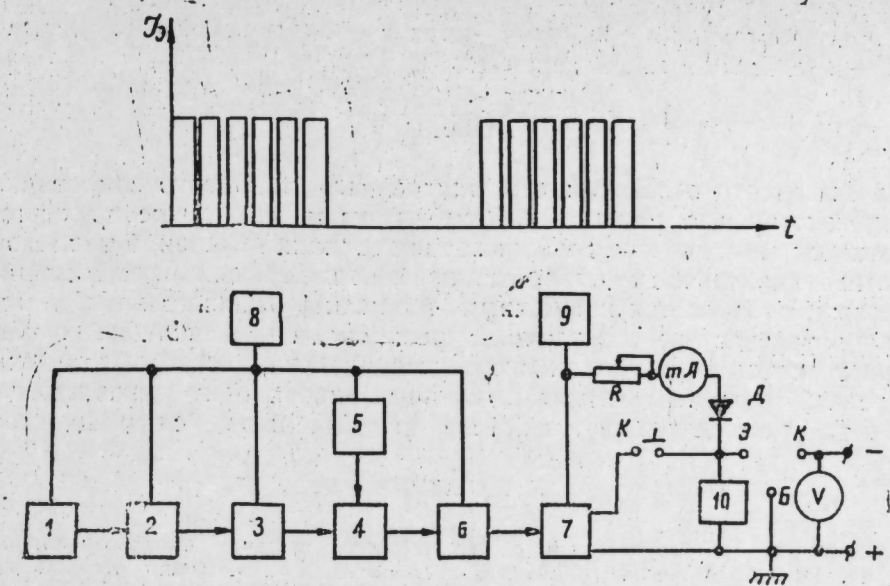


Рис. 2. Блок-схема измерителя тепловых характеристик:  
1 — блокинг-генератор; 2 — одновибратор; 3 — эмиттерный повторитель; 4 — модулятор; 5 — несимметричный мультивибратор; 6 — эмиттерный повторитель; 7 — выходной каскад; 8, 9 — источники питания; 10 — осциллограф.

и выбирается таким, чтобы к началу следующего импульса  $p-n$ -переход принял первоначальную температуру. Длительность разогревающих импульсов мощности  $t_p$  можно изменять в требуемых пределах одновибратором.

Испытуемый транзистор включен по схеме с общей базой. Температура  $p-n$ -перехода определяется косвенным методом по термочувствительному параметру — прямому падению напряжения  $U_{\text{вб}}$  в короткие промежутки времени  $t_u$  (рис. 3), причем цепь измерения (источник питания  $R-D-p-n$ -переход) подключена постоянно к  $p-n$ -переходу ЭБ транзистора. Чтобы температура корпуса оставалась постоянной в процессе измерения, транзистор крепят на теплоотвод. Время измерения  $t_u$  прямого падения напряжения  $U_{\text{вб}}$  на испытуемом транзисторе задается модулятором и должно быть достаточным, чтобы закончились электрические переходные процессы, определяемые временем рассасывания неосновных носителей в базе прибора, и достаточно малым по сравнению с

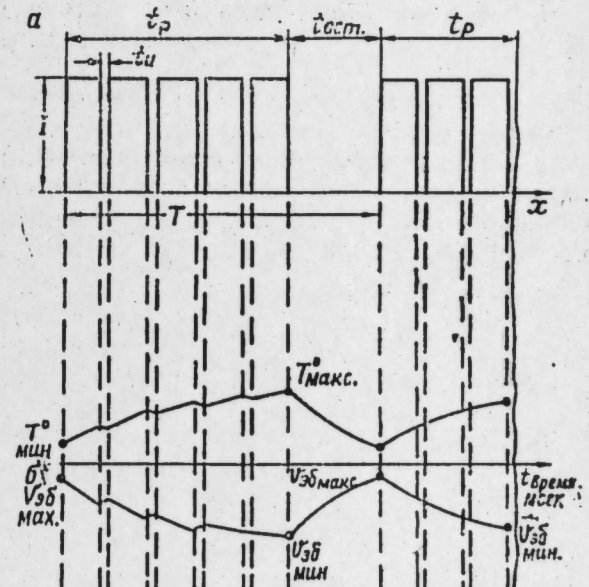


Рис. 3. Диаграмма нагревания, измерения и определения тепловых параметров транзистора.

тепловой постоянной переход—корпус для исключения остывания  $p$ — $n$ -перехода при измерениях.

## Выводы

Из сказанного о зависимости внутреннего теплового сопротивления транзисторов от режима работы вытекают некоторые практические выводы, важные как с точки зрения техники измерений теплового сопротивления, так и с точки зрения применения транзисторов, а именно: во-первых, оказывается возможным вычислить максимальную температуру в транзисторе в различных режимах, в том числе на границе потери транзистором термической устойчивости; во-вторых, можно определить режимы, начиная с которых происходит концентрация тока в транзисторе из-за разогрева его выделяющейся мощностью.

## ЛИТЕРАТУРА

1. Давидов П. Д. Анализ и расчет тепловых режимов полупроводниковых приборов. Изд-во "Энергия", 1967.
2. Reich B. A New Approach to Transistor Reliability Prediction, Semiconductor Products, January, 1963.
3. Аронов В. Л., Козлов В. А. Метод определения теплового сопротивления транзисторов с использованием дифференциальных параметров. В сб. "Полупроводниковые приборы и их применение". Под ред. Федотова, вып. 14. Изд-во "Советское радио", 1965.
4. Sharp A. O. Effect of collector voltage and collector Current on Junction Temperature Electronic Letter, Nov 1965, vol. 1, № 9, p. 259—260.

Институт физики

Поступило 20.IX.1968

Д. Н. Воротникова, Г. И. Гребенников

Транзисторун дахили истилик мұғавиметинин ишләмә  
режиминдән асылылығы

## ХУЛАСӘ

Мәгаләдә диффузия жолу илә алымыш керманиум транзисторларының дахили истилик мұғавиметінің чөрәжан вә кәркинилін тәсиріндән бәйс олумушшудур. Енни заманда бу тәсирин сәбәби изан едилмиш вә истилик мұғавиметинин өлчү методу верилмишdir.

АЗӘРБАЙЖАН ССР ЕЛМЛӘР АКАДЕМИЈАСЫНЫН МӘРУЗӘЛӘРИ  
ДОКЛАДЫ АКАДЕМИИ НАУК АЗЕРБАЙДЖАНСКОЙ ССР

ТОМ XXVI

№ 12

1970

УДК 519.1

МАТЕМАТИКА

С. Я. АГАКИШИЕВА

## ГРАФЫ, ОКРУЖЕНИЕМ ВЕРШИН КОТОРЫХ СЛУЖАТ ПРОСТЫЕ ЦЕПИ ИЛИ ПРОСТЫЕ ЦИКЛЫ

(Представлено академиком АН Азербайджанской ССР И. И. Ибрагимовым)

Пусть дан граф  $M$  (обыкновенный), требуется найти такой граф  $L$ , окружение каждой вершины которого изоморфно  $M$ . Рассмотрим два случая.

1.  $M$ —простая цепь длины  $l$ .
2.  $M$ —простой цикл длины  $l$ .

Для таких  $M$  верны теоремы.

Теорема 1.

Пусть  $M$ —простая цепь длины  $l \neq 2$ . Тогда существует граф  $L$ , окружение каждой вершины которого изоморфно  $M$ .

Доказательство.

Ребрами первого рода будем называть ребра, принадлежащие одному треугольнику, ребрами второго рода—ребра, принадлежащие двум треугольникам. Ребрами же нулевого рода—ребра, не принадлежащие ни одному треугольнику. Строим графы, у которых окружение каждой вершины есть простая цепь длины  $l$  и ребра первого рода образуют попарно непересекающиеся циклы длины четыре.

Для  $l = 4$  возможность такого построения очевидна.

Предположим, что построен граф с вышеуказанными условиями для  $l = p$ , тогда для  $l = p + 3$  граф  $L$  будем строить следующим образом: вначале строим граф  $L'$ , у которого окружение каждой вершины состоит из простой цепи длины  $p$  и еще одной изолированной вершиной.

В графе  $L'$  ребра могут быть трех типов: нулевого, первого или второго, ребра нулевого и первого типов образуют чередующиеся циклы длины восемь. Построение  $L'$  можно выполнить следующим образом. Обозначим через  $k$  количество циклов длины четыре, образованных ребрами первого рода в графе  $P$ . Вершины, входящие в  $i$ -ый цикл—через  $x_{ij}$ , где

$$i = 1, 2, \dots, k; \quad j = 1, 2, 3, 4.$$

Далее возьмем двенадцать экземпляров исходного графа, их вершины обозначим через  $x_{ij}^n$ , где верхний индекс  $n = 1, 2, \dots, 12$  указывает принадлежность вершины к  $n$ -му экземпляру.

Вершины  $x_{ij}^n$  соединим между собой следующим образом:

$$\begin{aligned} &x_{13}^1 \text{ с } x_{11}^2; \quad x_{13}^2 \text{ с } x_{11}^3; \quad x_{13}^3 \text{ с } x_{11}^1; \\ &x_{14}^4 \text{ с } x_{12}^5; \quad x_{14}^5 \text{ с } x_{12}^6; \quad x_{14}^6 \text{ с } x_{12}^4; \\ &x_{13}^7 \text{ с } x_{11}^8; \quad x_{13}^9 \text{ с } x_{11}^9; \quad x_{13}^9 \text{ с } x_{11}^7; \\ &x_{14}^{10} \text{ с } x_{12}^{11}; \quad x_{14}^{11} \text{ с } x_{12}^{12}; \quad x_{14}^{12} \text{ с } x_{11}^{10}; \\ &x_{14}^1 \text{ с } x_{13}^4; \quad x_{14}^2 \text{ с } x_{13}^5; \quad x_{14}^3 \text{ с } x_{13}^6; \\ &x_{11}^4 \text{ с } x_{12}^7; \quad x_{11}^5 \text{ с } x_{12}^8; \quad x_{11}^6 \text{ с } x_{12}^9; \\ &x_{14}^7 \text{ с } x_{13}^{10}; \quad x_{14}^8 \text{ с } x_{13}^{11}; \quad x_{14}^9 \text{ с } x_{13}^{12}; \\ &x_{11}^{10} \text{ с } x_{12}^1; \quad x_{11}^1 \text{ с } x_{12}^2; \quad x_{11}^{12} \text{ с } x_{12}^3; \end{aligned}$$

$(i = 1, 2, \dots, k).$

Таким образом, получили граф  $L'$ . Каждая вершина графа  $L'$  входит в два цикла длины восемь требуемого вида.

Теперь в этих циклах проводим по четыре диагонали, соединяющие вершины через одну таким образом, чтобы через каждую вершину проходили диагонали только одного из двух циклов.

Полученный граф  $L$  — искомый. Поскольку существование графов типа  $P$  для  $l = 1, 3, 5$  установлено (см. [2]), а для  $l = 2$  искомого графа  $L$  не существует (см. [1]), то теорема доказана.

**Теорема 2.**

Пусть  $M$  — простой цикл длины  $l \geq 3$ . Тогда существует граф  $L$ , у которого окружение каждой вершины изоморфно.

**Доказательство.**

Для построения  $L$  при  $l \neq 5$  поступаем следующим образом: берем граф  $L'$ , окружение каждой вершины которого есть простая цепь длины  $p = l - 3$ . Такой граф по теореме 1 существует. Вводим, как и выше, обозначения вершин

$$x_{ij}^n, \text{ где } n = 1, 2; i = 1, 2, \dots, k; j = 1, 2, 3, 4.$$

Соединяем:

$$x_{ij}^2 \text{ с } x_{ij}^1 \text{ и } x_{ij+1}^1$$

$$(i = 1, 2, \dots, k; \quad j = 1, 2, 3, 4; \quad x_{15}^n = x_{11}^n)$$

Таким образом, получим граф  $L$ , окружение каждой вершины которого есть простой цикл длины  $l$ . При  $l = 5$  построение графа  $L$  имеется в работе [2]. Теорема доказана. В вышеуказанных теоремах ничего не говорится о роде поверхности, на которой существуют рассматриваемые графы.

Докажем теорему, дающую оценку для рода поверхности.

**Теорема 3.**

Пусть в графе  $L$  (обыкновенном) окружение каждой вершины есть простая цепь длины  $l$ .

Тогда для рода поверхности  $p$ , на которой существует граф  $L$ , верна оценка:

$$p > \frac{3l^2 - 17l + 22}{12}. \quad (1)$$

**Доказательство.**

Число вершин графа  $L$  обозначим через  $n$ , число ребер — через  $m$ , а число граней через  $f$ .

Тогда по теореме Эйлера для многогранников на поверхности  $p$ -го рода имеем:

$$n - m + f = 2 - 2p. \quad (2)$$

Обозначим через  $f_i$  — число граней графа  $L$ , образованных  $i$ -ребрами, тогда

$$f = f_3 + f_4 + \dots \quad (3)$$

Из (2), подставляя (3), имеем:

$$n - m + f_3 + f_4 + \dots = 2 - 2p. \quad (4)$$

С другой стороны, для  $f_i$  ( $i \geq 3$ ) имеем:

$$3f_3 + 4f_4 + 5f_5 + \dots = 2m. \quad (5)$$

Умножив (4) на три и вычтя (5), имеем:

$$3n - 3m - f_4 - 2f_5 \dots = 6 - 6p - 2m.$$

Отсюда:

$$3n - m = 6 - 6p + f_4 + 2f_5 + \dots \quad (6)$$

$$m = 3n + 6p - 6 - (f_4 + 2f_5 + \dots). \quad (6)$$

Так как сумма, заключенная в скобки равенства (6), неотрицательна, то имеем оценку:

$$m \leq 3n + 6p - 6. \quad (7)$$

Но для графа  $L$  верно равенство:

$$m = \frac{n(l+1)}{2}. \quad (8)$$

Подставив (8) в (7), имеем:

$$\frac{n(l+1)}{2} \leq 3n + 6p - 6$$

$$l \leq 5 + 12 \frac{p-1}{n}. \quad (9)$$

Для графа  $L$  верна оценка:

$$n \geq 3l - 2. \quad (10)$$

Подставив (10) в (9), имеем:

$$l \leq 5 + 12 \frac{p-1}{3l-2}.$$

Отсюда:

$$p > \frac{3l^2 - 17l + 22}{12}.$$

Таким образом, теорема доказана.

**Теорема 4.**

Пусть в графе  $L$  (обыкновенном) окружение каждой вершины есть простой цикл длины  $l$ .

Тогда для рода поверхности  $p$ , на которой существует граф  $L$ , верна оценка:

$$p \geq \left(\frac{l-4}{2}\right)^2.$$

#### ЛИТЕРАТУРА

1. Зыков А. А. Теория конечных графов. 1, «Наука». Новосибирск, 1969.
2. Агакишиева С. Я. О графах с заданными окружениями вершин. Математические заметки АН СССР, т. 3, вып. 2, 1968.

АзИНХ им. Азизбекова

Поступило 12.XI 1969

С. Я. Агакишиева

Тәпеләринин әһатәси садә зәнчирләр вә садә дөврләр  
олан графлар

#### ХҮЛАСӘ

Мәгаләдә тәпеләринин әһатәси садә зәнчирләр вә садә дөврләр  
олан графларын варлығы мәсәләсинин һәллиндән бәһс олунмушдур.

УДК 517.946.9

МАТЕМАТИКА

К. И. ХУДАВЕРДИЕВ

#### ИССЛЕДОВАНИЕ КЛАССИЧЕСКОГО РЕШЕНИЯ ОДНОМЕРНОЙ СМЕШАННОЙ ЗАДАЧИ ДЛЯ ОДНОГО КЛАССА ФУНКЦИОНАЛЬНЫХ УРАВНЕНИЙ\*

(Представлено академиком АН Азербайджанской ССР З. И. Халиловым)

В данной работе исследуется следующая смешанная задача:

$$\frac{du}{dt} = A(u) \cdot \sum_{i=0}^n \frac{\partial^i}{\partial x^i} \left( p_i(x) \frac{\partial^i u}{\partial x^i} \right), \quad (1)$$

$$u(0, x) = \varphi(x), \quad (2)$$

$$U_i(u) \equiv \sum_{j=0}^{2n-1} \left\{ \alpha_{ij} \frac{\partial^j u}{\partial x^j} \Big|_{x=a} + \beta_{ij} \frac{\partial^j u}{\partial x^j} \Big|_{x=b} \right\} = 0 (i = \overline{1, 2n}), \quad (3)$$

где  $0 \leq t \leq T < +\infty$ ,  $a \leq x \leq b$  ( $a$  и  $b$  — конечные числа,  $a < b$ ),  $A$  — некоторый оператор, причем  $A(u) \equiv V_u(t) \geq 0$  на  $[0, T]$ \*\*,  $n$  — любое натуральное число,  $P_i(x) \in C^{(i)}[a, b]$  ( $i = \overline{0, n}$ ),  $P_n(x) \neq 0$  на  $[a, b]$ ,  $\varphi(x)$  — заданная на  $[a, b]$  функция,  $\alpha_{ij}, \beta_{ij}$  ( $i = 1, 2n; j = 0, 2n-1$ ) — постоянные числа, линейный дифференциальный оператор  $L$ , порожденный дифференциальным выражением  $L(u) \equiv \sum_{i=0}^n (p_i(x) u^{(i)}(x))^{(i)}$

и

краевыми условиями (3), самосопряженный и отрицательно определенный,  $\{-\lambda_k^2\}$  — последовательность его собственных значений,  $0 < \lambda_1^2 \leq \lambda_2^2 \leq \dots \leq \lambda_k^2 \leq \dots$ ,  $\lambda_k \rightarrow +\infty$  при  $k \rightarrow \infty$  ( $\lambda_k > 0$ ),  $\{v_k(x)\}$  — полная ортонормальная (в  $L_2(a, b)$ ) система соответствующих собственных

(классических) функций и, наконец,  $|v_k^{(i)}(x)| \leq C \cdot \lambda_k^{\frac{i}{2}}$  ( $i = \overline{0, 2n}; k = 1, \infty; a \leq x \leq b$ ;  $C > 0$  — постоянная).

\* Поводом для написания этой работы был вопрос, заданный акад. З. И. Халиловым при защите одной диссертации, о том, можно ли обобщить результаты работы [1] С. И. Бернштейна.

\*\* Условия, налагаемые на оператор  $A$ , уточним в дальнейшем в формулировках доказываемых теорем.

Доказывается теоремы существования, единственности и непрерывной зависимости от оператора  $A$  и от начальной функции  $\varphi(x)$  классического решения задачи (1–3); кроме того, для  $T = +\infty$  изучается поведение при  $t \rightarrow +\infty$  классического решения и его производных по  $x$  до  $2n$ -го порядка включительно.

Условия, имеющиеся в постановке задачи (1–3), всюду в дальнейшем в формулировках соответствующих теорем не будем повторять.

С целью исследования задачи (1–3) введем некоторые пространства и одно определение.

1. Обозначим через  $B_{a_0, \dots, a_l, T}^{\beta_0, \dots, \beta_l}$  совокупность всех функций вида

$$u(t, x) = \sum_{k=1}^{\infty} u_k(t) v_k(x), \text{ рассматриваемых в области } D_T = \{(t, x) : 0 \leq t \leq T, a \leq x \leq b\},$$

где  $v_k(x)$  собственные функции оператора  $L$ , упомянутого в постановке задачи (1–3), функции  $u_k(t)$ ,  $L \geq 0$  разнинерывно дифференцируемы на отрезке  $[0, T]$  и

$$\sum_{l=0}^l \left\{ \sum_{k=1}^{\infty} (\lambda_k^{\alpha_l} |\varphi_k|)^{\beta_l} \right\}^{\frac{1}{\beta_l}} = I(u) < +\infty,$$

$\alpha_l \geq 0$ ,  $\beta_l \geq 1$ . Норму в этом множестве определим формулой:  $\|u(t, x)\| = I(u)$ . Очевидно, что эти пространства банаховы.

2. Обозначим через  $C_+[0, T]$  совокупность всех неотрицательных и непрерывных на  $[0, T]$  функций, с метрикой, вводимой в  $C[0, T]$ , а через  $L(0, T)$  – совокупность всех почти всюду неотрицательных и интегрируемых на  $[0, T]$  функций, с метрикой, определенной в  $L(0, T)$ . Очевидно, что эти пространства полные (но не нормированные).

3. Определение. Классическим решением задачи (1–3) будем называть всякую функцию  $u(t, x)$ , непрерывную в замкнутой области  $D_T$  вместе со всеми своими производными, входящими в уравнение (1), и удовлетворяющую всем условиям (1–3) в обычном классическом смысле.

Приведем некоторые из полученных результатов.

Теорема 1. Пусть

1. Функция  $\varphi(x) \in C^{(2n)}[a, b]$ , удовлетворяет краевым условиям:

$$(3) \quad u \sum_{k=1}^{\infty} \lambda_k^2 |\varphi_k| < +\infty, \quad \varphi_k = \int_a^b \varphi(x) v_k(x) dx.$$

2.  $\left\{ \sum_{k=1}^{\infty} (\lambda_k^{\alpha} |\varphi_k|)^{\beta} \right\}^{\frac{1}{\beta}} = R_{\alpha, \beta} < +\infty$ , где  $\alpha > 0$ ,  $\beta > 1$ , и оператор  $A$  действует из замкнутого шара  $K(0, R) \subset B_{0, T}^{\beta}$  в  $C_+[0, T]$  и для любых  $u, V \in K(0, R) \subset B_{0, T}^{\beta}$  на отрезке  $[0, T]$ :

3. Оператор  $A$  действует из  $K$  в  $L_+(0, T)$  непрерывно.

4. Функции семейства  $A\mathcal{K}$  имеют равностепенно абсолютно непрерывные на  $[0, T]$  интегралы.

Тогда задача (1–3) имеет по крайней мере одно классическое решение, принадлежащее  $B_{a, T}^{\beta} \cap B_{2, 0, T}^1$ .

Теорема 2. Пусть

1. Выполнено условие 1 теоремы 1.

$$2. \left\{ \sum_{k=1}^{\infty} (\lambda_k^{\alpha} |\varphi_k|)^{\beta} \right\}^{\frac{1}{\beta}} = R_{\alpha, \beta} < +\infty, \quad \left\{ \sum_{k=1}^{\infty} (\lambda_k^{2+\alpha} |\varphi_k|)^{\beta} \right\}^{\frac{1}{\beta}} = R_{\alpha+2, \beta}^* < +\infty, \quad \alpha, \alpha^* > 0, \beta, \beta^* \geq 1.$$

3. Оператор  $A$  действует из  $B_{a, \alpha^*, T}^{\beta, \beta^*}$  в  $C_+[0, T]$  вполне непрерывно.

4. Для любого  $u \in B_{a, \alpha^*, T}^{\beta, \beta^*}$ :

$$\|A(u)\|_{C(0, T)} \leq f(\|u\|_{B_{a, \alpha^*, T}^{\beta, \beta^*}}) + g(\|u\|_{B_{a, T}^{\beta}}),$$

где функции  $f(x)$ ,  $g(x)$  определены на  $[0, +\infty]$ ,  $g(x)$  ограничена на  $[0, R_{\alpha, \beta}]$  и  $R_{\alpha^*, \beta^*}^* \lim_{x \rightarrow +\infty} \frac{f(x)}{x} < 1$ .

Тогда задача (1–3) имеет классическое решение, принадлежащее пространству  $B_{a, \alpha^*, T}^{\beta, \beta^*}$ .

Теорема 3. Пусть

1. Выполнены условия 1 и 2 теоремы 1 и  $\sum_{k=1}^{\infty} (\lambda_k^{2+\alpha} |\varphi_k|)^{\beta} = Q_{\alpha, \beta} < +\infty$ .

2. Для любых  $u, V \in K(0, R_{\alpha, \beta}) \subset B_{0, T}^{\beta}$  на отрезке  $[0, T]$ :

$$|A(U)_t - A(V)_t| \leq a(t) \|u - V\|_{B_{0, t}^{\beta}}, \text{ где } a(t) \in L(0, T).$$

Тогда задача (1–3) имеет единственное классическое решение  $u(t, x)$ , которое принадлежит  $B_{2+\alpha, T}^{\beta} \cap B_{2, 0, T}^1$  и может быть найдено методом последовательных приближений исходя из любой точки  $u_0(t, x) \in K$ , причем сходимость последовательных приближений  $u_m(t, x)$  к точному решению  $u(t, x)$  характеризуется так:

$$\|u_m(t, x) - u(t, x)\|_{B_{0, t}^{\beta}} \leq (\|u_0(t, x)\|_{B_{0, t}^{\beta}} + R_{\alpha, \beta}) \cdot \frac{|Q_{\alpha, \beta}| a(t) \|L(0, T)\|^m}{m!} \quad (m = 0, 1, 2, \dots).$$

Теорема 4. Если  $\sum_{k=1}^{\infty} (\lambda_k^2 |\varphi_k|)^2 < +\infty$ , оператор  $A$  действует из замкнутого шара  $K(0, R) \subset B_{0, T}^2$  в  $C_+[0, T]$  и для любых  $u, V \in K(0, R) \subset B_{0, T}^2$  на отрезке  $[0, T]$ :

$$|A(u)_t - A(V)_t| \leq a(t) \|u - V\|_{B_{0, t}^2},$$

где  $R = \left( \sum_{k=1}^{\infty} \varphi_k^2 \right)^{\frac{1}{2}}$ , и для каждого  $t \in [0, T]$  существует такое  $\delta(t)$  ( $0 < \delta(t) \leq T - t$ ), что  $a(\tau) \in L(t, t + \delta(t))$ , то задача (1–3) не может иметь более одного классического решения.

Теперь изучим корректность постановки задачи (1–3). Задачу (1–3) назовем задачей  $C$ , а задачу (1–3) с оператором  $\tilde{A}$  (вместо  $A$ ) и с начальной функцией  $\tilde{\varphi}(x)$  назовем задачей  $\tilde{C}$ . Тогда справедлива

Теорема 5. Пусть

1. Выполнены все условия теоремы 3.

2. Функция  $\tilde{\varphi}(x) \in C^{(2n)}[a, b]$  удовлетворяет краевым условиям

$$(3) \quad u \sum_{k=1}^{\infty} \lambda_k^2 |\tilde{\varphi}_k| < +\infty, \quad \tilde{\varphi}_k = \int_a^b \tilde{\varphi}(x) v_k(x) dx.$$

$$3. \left\{ \sum_{k=1}^{\infty} (\lambda_k^{\alpha} |\varphi_k - \tilde{\varphi}_k|)^{\beta} \right\}^{\frac{1}{\beta}} = \varepsilon_1, \quad \left\{ \sum_{k=1}^{\infty} (\lambda_k^{2+\alpha} |\varphi_k - \tilde{\varphi}_k|)^{\beta} \right\}^{\frac{1}{\beta}} = \varepsilon_2 < +\infty,$$

оператор  $\tilde{A}$  действует из некоторого замкнутого шара  $K(0, R) \subset C_{\alpha, T}^{\beta} \cap C_+[0, T]$ , для любых  $u, V \in K(0, R)$ :

$$|\tilde{A}(u)_t - \tilde{A}(V)_t| \leq \tilde{a}(t) \|u - V\|_{B_{\alpha, t}^{\beta}},$$

где  $R_{\alpha, \beta} + \varepsilon_1 \leq R < +\infty$ ,  $\tilde{a}(t) \in L(0, T)$ , и, наконец,  $\sup_{u \in K(0, R_{\alpha, \beta})} \|A(u) - A(u)\|_{L(0, T)} = \varepsilon_3$ .

Тогда для единственных классических решений  $u(t, x)$  и  $\tilde{u}(t, x)$  соответственно задач  $C$  и  $\tilde{C}$  имеем:

$$\begin{aligned} \|u(t, x) - \tilde{u}(t, x)\|_{B_{\alpha, t}^{\beta}} &\leq [\varepsilon_1 + (\varepsilon_2 + Q_{\alpha, \beta}) \varepsilon_3] \cdot \exp [(\varepsilon_2 + \\ &+ Q_{\alpha, \beta}) \|a\|_{L(0, T)}]. \end{aligned}$$

Теорема 6. Пусть

1. Выполнено условие 1 теоремы 1.

2. Для каждого  $T (0 < T < +\infty)$  оператор  $A$  действует из замкнутого шара  $K(0, R) \subset B_{0, T}^1 \cap C_+[0, T]$ , где  $R \equiv \sum_{k=1}^{\infty} |\varphi_k|$ .

3. Для каждого  $u \in K(0, R) \subset B_{0, T}^1$   $A(u) \geq b(t)$  почти всюду на  $[0, T]$ , причем  $\int_0^T b(t) dt = +\infty$ .

4. Для каждого фиксированного  $T (0 < T < +\infty)$  при любых  $u, V \in K(0, R) \subset B_{0, T}^1$  на отрезке  $[0, T]$ :

$$|A(u)_t + A(V)_t| \leq a_T(t) \|u - V\|_{B_{0, t}^1},$$

где  $a_T(t) \in L(0, T)$ .

Тогда задача (1-3) имеет в неограниченной области  $[0, +\infty) \times$

$\times [a, b]$  единственное классическое решение  $u(t, x) = \sum_{k=1}^{\infty} u_k(t) v_k(x)$ ,

для которого  $\lim_{t \rightarrow \infty} \sum_{k=1}^{\infty} \lambda_k^2 |u_k(t)| = 0$ . (\*)

Замечание 1. Из (\*) следует, что при  $t \rightarrow +\infty$  классическое решение  $u(t, x)$  задачи (1-3) вместе со своими производными  $\partial^i u(t, x)/\partial x^i (i=1, 2n)$  стремится к нулю, причем равномерно относительно  $x \in [a, b]$ .

Замечание 2. Отметим, что все результаты, приведенные в данной работе, получены также для обобщенного решения задачи (1-3).

#### ЛИТЕРАТУРА

1. Бернштейн С. Н. ИАН СССР, серия матем., т. 4, № 1; 1940, стр. 17-26.
2. Гусейнов А. И., Чандиров Г. И. Уч. зап. АГУ им. С. М. Кирова, серия физ.-матем. и хим. наук, № 4, 1959, стр. 3-8.

Азгосуниверситет  
им. С. М. Кирова

Поступило 4.V 1969

К. И. Худавердиев

Бир синиф функционал тәнликлэр үчүн бирөлчүлү  
гарышыг мәсәләнин классик һәллинин тәдгиги

#### ХУЛАСЭ

Мәгаләдә (1)-(3) мәсәләсінин классик һәллинин варлығы, жеканәлији,  $A$  оператору вә  $\varphi(x)$  башланғыч функциясындан кәсилемәс асыллығы,  $T = +\infty$  нальыда һәлли  $x$ -ә нәзәрән  $2n$  тәртибә гәдәр төрәмәләрилә бирликдә  $t \rightarrow +\infty$  заманы өзүнү нечә апармасы һагында теоремләр исбат едилмишdir.

Ч. М. ДЖУВАРЛЫ, Е. В. ДМИТРИЕВ

ЧИСЛЕННОЕ РЕШЕНИЕ НЕЛИНЕЙНЫХ УРАВНЕНИЙ  
*m*-ПРОВОДНОЙ ЛИНИИ ЭЛЕКТРОПЕРЕДАЧИ

Уравнение такой линии может быть представлено в виде:

$$-\frac{\partial u}{\partial x} = (L_0 + L') \frac{\partial i}{\partial t} + ri, \quad -\frac{\partial i}{\partial x} = C_0 \frac{dU}{dt} + i', \quad i' = \varphi(U), \quad (1)$$

где  $U$ ,  $i$ ,  $i'$  — столбцовые,  $L_0$ ,  $L'$ ,  $C_0$  — квадратные матрицы  $m$ -попрядка,  $i'$  — ток короны,  $L = L_3 + L_n$  — матрица индуктивностей, учитывающая поверхностный эффект в земле —  $L_3$ , и проводе —  $L_n$ . Так, для однородной трехфазной ЛЭП матрица  $L'$  имеет вид:

$$L' = \begin{bmatrix} L_{311} + L_{n11} & L_{312} & L_{313} \\ L_{321} & L_{322} + L_{n22} & L_{323} \\ L_{331} & L_{332} & L_{333} + L_{n33} \end{bmatrix}$$

Сложность решения (1) определяется отсутствием явных выражений, определяющих коэффициенты  $L'$ ,  $r$  и ток короны  $i'$ . К настоящему времени наиболее точные интегральные выражения, определяющие  $L'$ ,  $r$  в функции частоты, даны в [1], а для определения  $i'$  можно исходить из физической модели короны [2], приняв в качестве первого приближения зависимость ее параметров от напряжения по формулам, аналогичным формулам акад. В. И. Попкова.

Решение (1) методом характеристик [3] осуществляется это решение вдоль кривой, описываемой уравнением:

$$dt^2 + (L_0 + L') C_0 dx^2 = 0, \quad (2)$$

что приводит к переменному соотношению между расчетными шагами по  $t$  и  $x$ . Это составляет известные затруднения для численного решения (1).

Нами предлагается при численном решении (1) использовать не характеристическое уравнение (2) для (1), а иное уравнение, дающее постоянное соотношение между расчетными шагами по  $t$  и  $x$ .

Несмотря на то, что решение (1) вдоль любой кривой, отличной от кривой характеристического уравнения, приводит в конечном счете к расчетным формулам, аппроксимирующими (1) с меньшей точностью. Постоянство соотношения между расчетными шагами делает расчеты по этим формулам легко осуществимыми на ЦВМ.

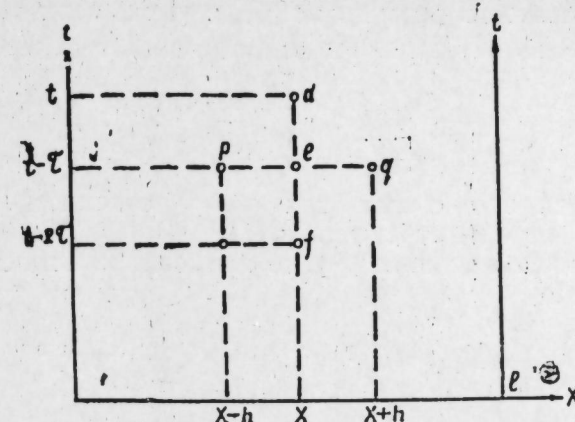


Рис.

Решая (1) в области  $D$  (рисунок) вдоль кривой, описываемой уравнением

$$dt^2 + (L_0 C_0) dx^2 = 0, \quad (3)$$

вместо (1) можно получить

$$\left( \frac{dt}{dx} \right)^2 - L_0 C_0 = 0 \quad (4)$$

$$\frac{dt}{dx} dU + L_0 di = -L' dt \frac{\partial i}{\partial t} - r dt i - L' dx i'.$$

Откуда нетрудно получить расчетные формулы:

$$U(x, t) - U(x-h, t-\tau) + z[i(x, t) - i(x-h, t-\tau)] = -hV, \\ -U(x, t) + U(x+h, t-\tau) + z[i(x, t) - i(x+h, t-\tau)] = -hW, \quad (5)$$

$$h = (L_0 C_0)^{-0.5} \tau, \quad z = (L_0 C_0^{-1})^{0.5}$$

$h$ ,  $\tau$  — соответственно расчетные шаги по  $x$  и  $t$ .

В (5)  $V$  и  $W$  характеризуют потери энергии электромагнитной волны при ее движении вдоль линии электропередач. Учет потерь может быть осуществлен по значениям напряжений и токов либо в точке  $d$ , либо  $e$ , либо  $p$  и  $q$  в области решения (1). При этом в случае однопроводной линии расчетные формулы (5) остаются устойчивыми, в случае многопроводной ЛЭП расчетные формулы неустойчивы при учете потерь с помощью точек  $p$  и  $q$ , если матрицы коэффициентов в выражениях для учета потерь недиагональны. В этой связи при использовании однофазной модели короны ЛПИ вполне возможен учет потерь на корону и с помощью точек  $p$  и  $q$ .

В случае учета потерь по значениям напряжений и токов в точке  $d$

$$V = ri(x, t) + L' \frac{di(x, t)}{dt} + zi'(x, t), \quad (6)$$

$$W = ri(x, t) + L' \frac{di(x, t)}{dt} + zi'(x, t).$$

Решение (5) может быть осуществлено разностным методом.

Интегрирование (4) дает (5), где  $V$ , например, принимает вид

$$V = \frac{1}{h} \int_{x-h}^x \left[ ri(x, t) + L' \frac{di(x, t)}{dt} + zi'(x, t) \right] dx. \quad (7)$$

Оценивая сходимость решения по (5), с уменьшением шага можно показать

$$V = \frac{1}{n} \sum_{k=1}^n \left( r_i + L' \frac{di}{dt} + zi' \right). \quad (8)$$

Откуда предел этой суммы при  $n \rightarrow \infty$  стремится к (7), т. е. с уменьшением шага (8) стремится к (7).

С использованием принципа Рунге для оценки относительной погрешности найдено

$$\begin{aligned} \varepsilon_a &\approx \frac{h^2}{12} \omega C_0 [\omega^2 (L' + z^2 C_q)^2 + (r_0 + z^2 g_q)^2]^{0.5} \\ \varepsilon_i &\approx \frac{h^2}{12} (L_0 + L') [\omega^2 (C_q + z^{-2} L')^2 + (z^{-2} r + g_q)^2]^{0.5} \end{aligned}$$

$C_q, g_q$  — параметры короны.

Дальнейший вывод расчетных формул связан с заменой в (1) нелинейных функций  $L' \frac{di}{dt} + ri$  и  $i'$  их моделями.

#### ЛИТЕРАТУРА

1. Кайданов Ф. Г., Костенко М. В., Перельман М. С. „Электричество“, № 3, 1965.
2. Александров Т. Н., Рыжков М. Г., Щербачев О. В. Труды ЛПИ им. М. И. Калинина, ГЭИ, 1958, № 195.
3. Джуварлы Ч. М., Дмитриев Е. В. „ДАН Азерб. ССР“, № 3, 1966.

Институт физики

Поступило 12.VI 1970

Ч. М. Чуварлы, Е. В. Дмитриев

*төврәли електрик верилиш хәтләриндә  
гәјри-хәтли тәнликләрин әдәди һәлли*

#### ХУЛАСӘ

Мәгаләдә електрик верилиш хәтләриндә һиперболик типли просесләри характеристәс едән, хүсуси тәрәмәли гәјри-хәтти тәнликләрин һәлли үчүн әдәди метод тәклиф олунмушдур. Һәмин методун характеристик методлардан үстүнлүү ондан ибарәтдир ки, бу налда мәсәләнин һәлли несабат аддымы, фәзә вә заман дәжишәнләрини арасындағы нисбәтин сабитлилигини верән әжри үзәрә апарылып. Методун үстүнлүү онун ығымлылығы, хәтасы вә дајаныглылығынадыр.

Р. Г. ИСМАЙЛОВ, С. Д. МӘХТИЕВ, Р. Ю. МАГЕРРАМОВА,  
Г. Н. СУЛЕЙМАНОВ, Я. Г. АБДУЛЛАЕВ, О. Э. ЗЕЙНАЛОВА

#### ИССЛЕДОВАНИЕ РЕАКЦИИ ОКИСЛИТЕЛЬНОГО АММОНОЛИЗА БЕНЗИНОВОЙ ФРАКЦИИ 115—120° СУРАХАНСКОЙ ОТБОРНОЙ НЕФТИ

В предыдущих работах [1,2] нами приведены результаты исследования реакции окислительного аммонолиза фракций 120—125 и 125—130° С бензина сураханской отборной нефти.

Настоящая статья посвящена изучению реакции окислительного аммонолиза фракции 115—120° С бензина сураханской отборной нефти.

#### ЭКСПЕРИМЕНТАЛЬНАЯ ЧАСТЬ

Окислительному аммонолизу подвергалась фракция 115—120° С бензина сураханской отборной нефти. Она имела следующие константы:  $d_4^{20} = 0,7522$ ,  $n_D^{20} = 1,4182$ , мол. вес = 113,4. Был проведен хроматографический анализ этой фракции (рис. 1), который показал наличие в ней 42,28 % вес. диметилциклогексанов, из них: 1,4-диметилциклогексан (цис) — 12,50%, 1,3-диметилциклогексан (транс) — 21,10%, 1,3-диметилциклогексан (цис) — 0,30%, 1,2-диметилциклогексан (транс) — 8,90, 1,2-диметилциклогексан (цис) — 3,20, 1,1-диметилциклогексан — 1,28%.

Катализатором служили окислы молибдена и ванадия, нанесенные на прокаленную при 900° С окись алюминия. Катализатор имел следующий состав: окись молибдена — 16%, пятиокись ванадия — 2%, окись алюминия — 82%.

Исследовалось влияние на выход кристаллических продуктов различных факторов: температуры, времени контакта, молярных отношений исходных компонентов. Результаты проведенных опытов графически изображены на рис. 2.

Влияние времени контакта изучалось при температурах 400 и 420° и мольном отношении бензин: аммиак: кислород 1:10:10 и 1:10:20.

Кривые рис. 2а показывают, что наибольший выход кристаллических продуктов 21,8% вес. на пропущенный бензин получается при времени контакта 1,0 сек, температуре 420° С и мольном отношении бензин: аммиак: кислород 1:10:10. Уменьшение времени контакта до 0,75 сек при прочих равных условиях приводит к уменьшению выхода целевого продукта до 17,9% вес. на пропущенный бензин.

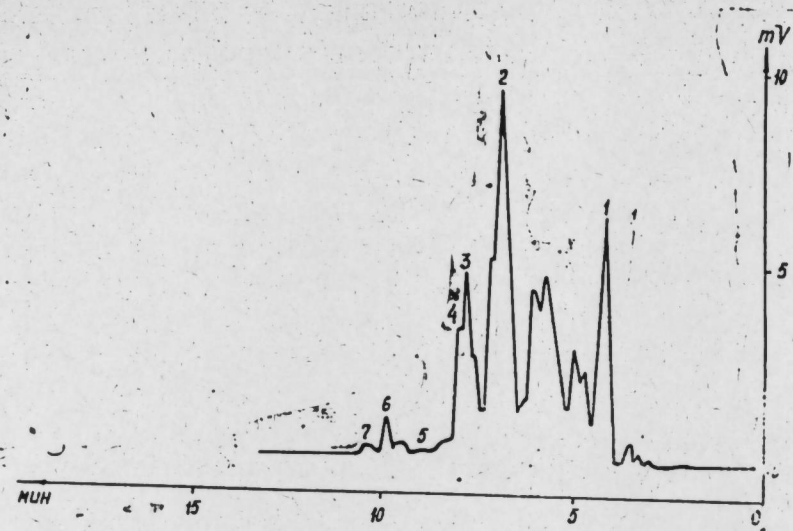


Рис. 1. Хроматограмма исходной бензиновой фракции.  
1—метициклогексан; 2—1,3-диметициклогексан (транс), 3—1,4-диметициклогексан (цикло), 4—1,2-диметициклогексан (транс), 5—1,3-диметициклогексан (цикло), 6—1,2-диметициклогексан (цикло), 7—1,1-диметициклогексан.

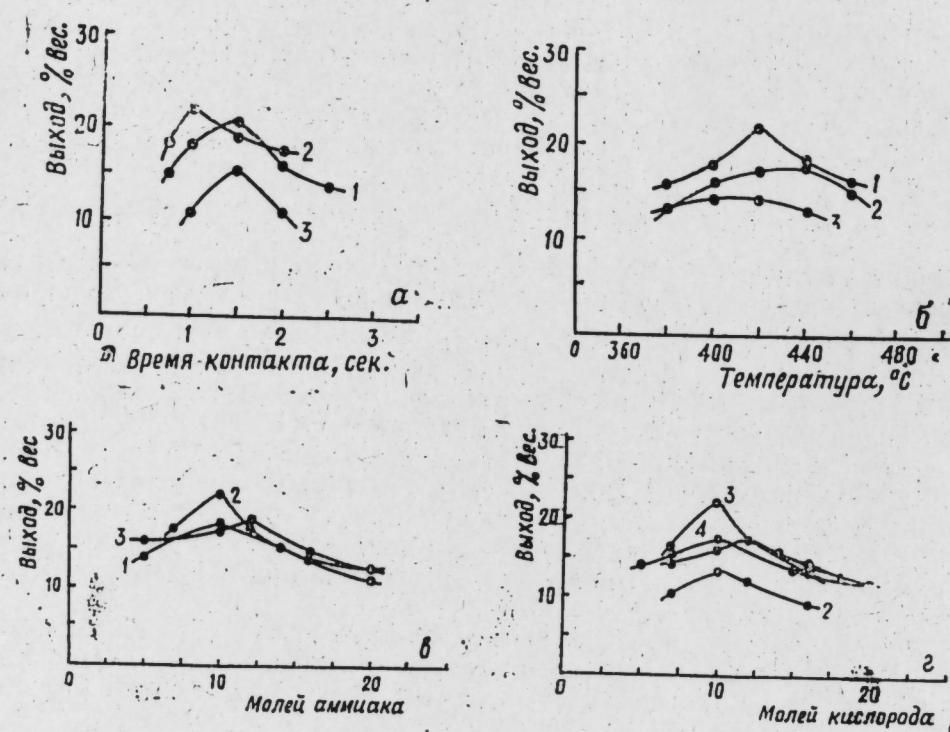


Рис. 2. Влияние различных параметров (а—времени контакта, б—температуры, в—количества аммиака, г—количества кислорода) на выход кристаллических продуктов.

Увеличение же времени контакта до 2,0 сек также уменьшает выход нитрилов.

Большое влияние на реакцию окислительного аммонолиза оказывает температура, которая была в пределах 380—460°C.

Результаты опытов отображены на рис. 2б. Как видно из графика, оптимальной температурой окислительного аммонолиза указанной фракции при времени контакта 1,0 сек, мольном отношении бензин:аммиак:кислород 1:10:10 является 420°C. Понижение температуры от 420 до 380°C приводит к уменьшению выхода кристаллического продукта от 21,8 до 15,9% вес. на пропущенный бензин. Повышение же температуры до 460°C также приводит к уменьшению выхода целевого продукта.

Исследовалось влияние на реакцию окислительного аммонолиза мольных отношений исходных компонентов.

Кривые рис. 2в характеризуют зависимость выхода кристаллических нитрилов от аммиака. Влияние аммиака исследовалось при температурах 400 и 420°C, времени контакта 1,0, 2,0 сек и мольном отношении бензин:кислород 1:10. Как видно из графика, при температуре 420°C и времени контакта 1,0 сек оптимальным отношением бензин:аммиак является 1:10. Уменьшение доли аммиака в смеси исходных компонентов от 10 до 7 молей на 1 моль бензина приводит к уменьшению кристаллического продукта от 21,8 до 17,2% вес. на пропущенный бензин. Увеличение же отношения бензин:аммиак от 1:10 до 1:14 и далее 1:20 уменьшает выход нитрилов от 21,8 до 15,2 и 12,6% вес. соответственно на пропущенный бензин.

Изучение влияния кислорода на реакцию окислительного аммонолиза проводилось при температурах 380 и 420°C, времени контакта 1,0 и 2,0 сек, мольном отношении бензин:аммиак 1:10.

При температуре 420°C наибольший выход кристаллических нитрилов достигается при подаче 10 молей кислорода на 1 моль бензина. Увеличение доли кислорода в смеси исходных компонентов от мольного отношения бензин:кислород 1:10 до 1:14 при температуре 420° и времени контакта 1,0 сек приводит к уменьшению выхода целевого продукта от 21,8 до 15,9% вес. на пропущенный бензин. Дальнейшее увеличение мольного отношения бензин:кислород до 1:20 уменьшает выход кристаллических нитрилов до 11,9% вес. Уменьшение же доли кислорода до 7 молей на 1 моль бензина снижает выход кристаллов до 16,6% вес.

Таким образом, оптимальными условиями окислительного аммонолиза фракции 115—120°C бензина сурханской отборной нефти являются температура 420°C, время контакта 1,0 сек и мольное отноше-

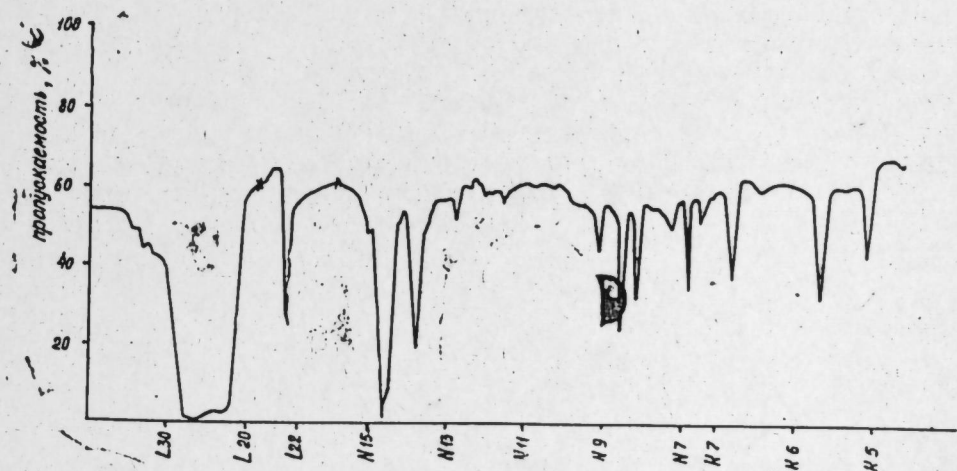


Рис. 3. ИК-спектр кристаллических продуктов реакции.

ние бензин : аммиак : кислород 1 : 10 : 10. Выход кристаллических продуктов при этих условиях составляет 21,8% вес. на пропущенный бензин.

Полученные кристаллические продукты, как показали их ИК-спектры (рис. 3), состояли из смеси тере- и изофталонитрилов, а также небольших количеств фталимида и фталонитрила.

Наряду с кристаллическими продуктами получаются также жидкие и газообразные продукты.

Газообразные продукты содержат азот, непрореагировавшие кислород и аммиак,  $\text{CO}_2$ , а также следы  $\text{CO}$  и  $\text{HC}$ , жидкие же продукты толунитрилы, бензонитрил, небольшие количества ксиолов и ненасыщенных нитрилов.

### Выводы

1. Исследована реакция окислительного аммонолиза фракции 115—120°C сурханской отборной нефти и установлены условия получения до 21,8% вес. фталонитрилов за счет содержащихся в этой фракции диметилциклогексанов.

2. В продуктах реакции окислительного аммонолиза указанных фракций установлено также наличие непредельных нитрилов.

### ЛИТЕРАТУРА

- Исмайлов Р. Г., Мехтиев С. Д., Магеррамова Р. Ю., Сулейманов Г. Н., Абдуллаев Я. Г., Магеррамова З. Ю. „Азерб. хим. журн.“, 3, 1970.
- Исмайлов Р. Г., Мехтиев С. Д., Магеррамова Р. Ю., Сулейманов Г. Н., Абдуллаев Я. Г., Магеррамова З. Ю. ДАН Азерб. ССР, № 8, 1970.

ИНХП

Поступило 21. I 1970

Р. Г. Исмаилов, С. Ч. Меҳдиев, Р. І. Мәһәррәмова,  
Г. Н. Сулејманов, Я. Һ. Абдуллаев, О. Е. Зејналова

Сурханы сечмә нефтинин 115—120°C  
бензин функциясының оксидләшмә аммонолизи  
реакциясының тәдгиги

### ХУЛАСӘ

Мәгаләдә Сурханы сечмә нефтинин 115—120°C бензин функциясының оксидләшdirичи катализаторун гајнар лајы үзәриндә оксидләшмә аммонолизи реакциясының иәтичәләри верилмишdir.

Тәдгигат заманы юхарыда көстәрилән реакцияны оптималь шәраити өјрәнилмишdir. Реакциядан алышан кристал маддәләр әсасән терефталнитрал вә изофталнитрildән ibarət олмушdur. Бунунла бәрабәр, реакция мәһсүлдарында алифагик нитрилләрин—асетонитрил вә акрилонитрилин олмасы да мүәյҗәнләшdirилмишdir.

АЗЭРБАЙЧАН ССР ЕЛМЛӘР АКАДЕМИЯСЫНЫН МӘРҮЗӘЛӘРИ  
ДОКЛАДЫ АКАДЕМИИ НАУК АЗЕРБАЙДЖАНСКОЙ ССР

ЧИЛД XXVI

№ 12

1970

УДК 543.70

АНАЛИТИК КИМЈА

И. Л. БАФБАНЛЫ, И. Г. ҚУСЕЙНОВ, А. Б. АБДУЛЛАЕВА

КАЛИУМ ҢЕКСАРОДАНОХРОМИАТЫН БИСМУТУН  
МИГДАРИ ТӘ'ЖИННИДӘ ТӘТБИГИ

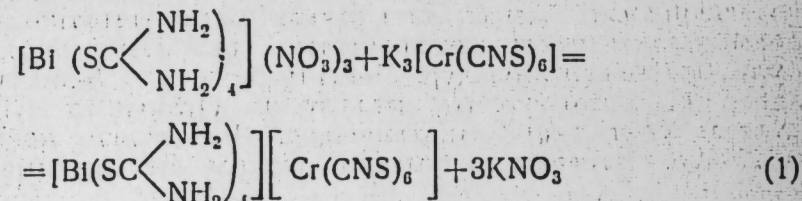
(Азәрбајҹан ССР ЕА академики Ի. Բ. Шահտахтински тәгдим етмишdir)

Бисмутун тетратиокарбамид комплексинә— $[\text{Bi}(\text{SC}\begin{array}{c} \text{NH}_2 \\ | \\ \text{NH}_2 \end{array})_4]^{3+}$  калиум ңексароданохромнатла— $\text{K}_3[\text{Cr}(\text{CNS})_6]$  тә'сир етдиңде суда чәтиң һәлл олан нарынчы рәнкли бирләшмә әмәлә қәлир.

Мәгаләдә бисмутун тиокарбамид иштиракы илә, калиум ңексароданохромнатла чөкдүрүләрәк мигдари тә'жини шәраитинин тәдгигиндән алышан иәтичәләр верилмишdir. Бисмут тетратиокарбамид комплекси чөкдүрүчүнүн 4%-ли мәһлүлү илә мүәյҗән шәраитдә чөкдүрүләрәк јујулмуш вә 110°-дә гурудулараг кимҗәви анализ едилмишdir. Чөкүнтүнүн тәркибиндәки бисмут, хром, роданид ионлары, тиокарбамид вә аммонjakын мигдары тә'жин олунмушdur. Анализләр көстәрирки, чөкүнтүнүн тәркибинә дахил олан компонентләрин иисбәти  $\text{Bi} : \text{Cr} :$

$\text{CNS} : \text{SC}\begin{array}{c} \text{NH}_2 \\ | \\ \text{NH}_2 \end{array} = 1 : 1 : 6 : 4$  кимидир ки, бу да ашағыда формула

уғынудур:  $[\text{Bi}(\text{SC}\begin{array}{c} \text{NH}_2 \\ | \\ \text{NH}_2 \end{array})_4][\text{Cr}(\text{CNS})_6]$ . Демәли, чөкүнтүнү бисмут тетратиокарбамидңексароданохромнат адландырмаг олар. Беләликлә, бисмутун чөкмә реакциясы белә ифадә өдилә биләр:



Бисмут тиокарбамид комплексинин тәркиби таразлығын јердәјишмә методу илә дә мүәйҗәнләшdirилмишdir (6).

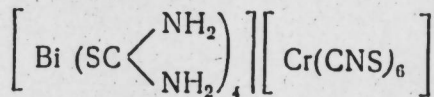
Бисмут тетратиокарбамиднекароданохромиат чөкүнтүсүнүн гуруудулмасы шәрәитинин өјрәнилмәси көстәрир ки, чөкүнтуңу 110—120°-дэгүрүтмагла сабит чәкијә кәтирмәк олар.

Комплексәмәләкәтиричинин тә'сирини мүәјжәнләшдирмәк мәгсәди илә апарылан тәчрүбәләрдән айдыналашмышдыр ки, тиокарбамид тәләб олунан стехиометрик (1:4) нисбәтдән 30 дәфә артыг көтүрүлдүкдә бисмутун чөкмәси мигдарча там кедир.

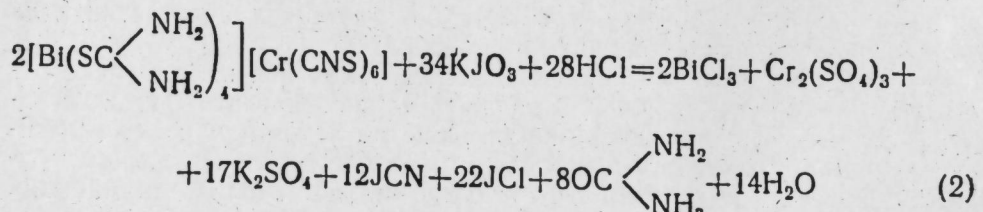
Бир сыра тәчрүби нәтичәләрә әсасен тәклиф едилән методла бисмутун тә'јин едилә биләчәк максимум вә минимум мигдары өјрәнилмешdir (чәдвәл).

Калиум һекароданохромиатла чөкмәзи ионларын бисмута нисбәти 50:1 вә 100:1 кими олдугда, ионлар бисмутун тә'јининә мане олмур. Хлор ионунун бисмута нисбәти исә 25:1-дән јүксәк олдугда бисмутун тә'јининә манечилик төрәдир.

Сонракы тәдгигатлар бисмутун һәчми методла тә'јини шәрәитинин өјрәнилмәсина һәср едилшишdir. Бисмутун һәчми методла тә'јини бисмут тетратиокарбамиднекароданохромиат чөкүнтүсүнүн —



тәркибиндәки роданид иону вә тиокарбамидин хлорид туршусу мүһиттә KJО<sub>3</sub>-лә титрләнмәси реаксијасына әсасланмышдыр. Чөкүнтуңу KJО<sub>3</sub>-лә титрләнмәси ашағыдақы реаксија илә ифадә едилшишdir.



Бу тәнликтән (2) көрүнүр ки, 1 атом бисмута 17 молекул KJО<sub>3</sub> екви-валентdir. Демәли, тәклиф олунан йодатометрија методу јүксәк һәсаслыға маликdir.

Бисмут һекароданохромиат чөкүнтуңу 5%-ли NaOH мәһлулу илә зәиф гыздырылмагла парчаланыр. Соңра мәһлула кечән роданид иону вә тиокарбамид хлорид туршусу мүһиттәнде, бензол иштиракы илә KJО<sub>3</sub> мәһлулу илә титрләнир.

Чәдвәлдән айдыналашыр ки, 0,12—15 мг бисмут тәклиф олунан йодатометрија методу илә гәнаэтләндирчи дәгигликләтә'јин едилir.

**Анализин кедиши.** Азот, яхуд перхлорат туршусу илә 0,5 н-а гәдәр туршулаштырылыш вә 0,12—15 мг бисмут иону олан мәһлула көзләнилән һәр 6 мг бисмута 4 мл 1 мол тиокарбамид мәһлулу әлавә едилшишdir. Алынан сары рәнкли бисмут тетратиокарбамид комплекси калиум һекароданохромиатын тәзә назырламыш 4%-ли мәһлулу илә чекдүрүлмүшшүр. Чөкүнту 3 вә ja 4 №-ли путадан сүзүләрәк 0,1 н азот туршусу мәһлулу илә јуулмуш вә 110° С-дә гуруудулараг сабит чәкијә кәтирилмишdir. Чөкүнтуңун чевиричи әмсалы 0,229-дур. Нәтичәләр ашағыдақы дүстүрла неслабланмышдыр.

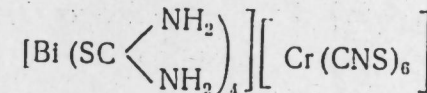
$$\% \text{ Bi} = \frac{\text{чек. } 0,229 \cdot 100}{\text{Нүм. чек}}$$

Бисмуту һәчми методла тә'јин етдиңдә чөкүнту көј золаглы сүзкәчдән сүзүлүр, 0,1 н азот туршусу мәһлулу илә јуулдугдан соңра сүзкәчлә бирликтә чекдүрмә апарылан стәканда кечирилир вә 5 мл 5%-ли NaOH мәһлулу илә зәиф гыздырылмагла парчаланыр. Мәһлул Ерлен-мејер колбасына кечириләрәк үзәринә о гәдәр гаты HCl әлавә едилir ки, титрләмәнин соңында мәһлуулда хлорид туршусунан гатылығы 4 н олсун. Соңра мәһлуул сојудулараг үзәринә 10 мл бензол әлавә едилшиш вә бензол тәбәгәси рәнкисизләшәнә гәдәр 0,1 н KJО<sub>3</sub> мәһлулу илә титрләнмишdir. Нәтичә ашағыдақы дүстүрла һесабланмышдыр:

$$\% \text{ Bi} = \frac{\text{Bi} \cdot \text{Tkjo}_3 \cdot V_{\text{Kjо}_3} \cdot 100}{17 \cdot \text{kjо}_3 \cdot \text{Нүм. чек}}$$

Апарылан тәчрүбәләрә әсасен ашағыдақы нәтичәләрә кәлмәк олар:

1. Мүәјжән едилшишdir ки, бисмуттетратиокарбамид комплексинә калиум һекароданохромиатла тә'сир етдиңдә нарынчы рәнкли,



тәркибли, суда аз һәлл олан бирләшмә алышыры.

Чәдвәл

Бисмутун һәчми-йодатометрија методла тә'јини

Көтүрүлән бисмут, мг-ла	0,1 н KJО <sub>3</sub> мәһлуулунун сәрфи, мл-лә		Тапылан бисмут		Нисби сәһв, %-лә
	не слабланмышдыр	сәрф олунмушшүр	мг-ла	%-лә	
15,23	49,56	49,50	15,21	99,89	-0,13
9,14	29,74	49,60 29,70 29,80	15,25 9,13 9,16	100,09 99,89 100,20	+0,065 -0,11 -0,22
6,09	19,81	19,80	6,085	99,92	-0,082
1,22	3,97	19,80 4,00	6,085 1,220	99,92 100,00	-0,082 0,00
0,12	0,395	3,95 0,40	1,214 0,121	99,50 100,83	-0,49 +0,83
.	.	0,40	0,121	100,83	+0,83

Бисмутун гравиметрија методла тә'јини

Көтүрүлән бисмут, мг-ла	тапылан бисмут		Нисби сәһв, %-лә
	мг-ла	%-лә	
15,23	15,26	100,20	+0,20
9,13	15,26 9,157 9,065	100,20 100,29 99,23	+0,20 +0,30 -0,71
6,09	6,089 6,089	99,97 99,97	-0,016 -0,016
2,44	2,430 2,440	99,60 100,00	-0,41 0,00
1,22	1,210 1,200	99,60 99,36	-0,82 -0,64
0,609	0,607 0,607	99,38 99,38	-0,33 -0,33
0,304	0,298 0,300	98,03 98,68	-1,07 -1,31

2. Жұхарыда көстәрілән реаксија әсасен, аз мигдар висмуту тә'жин етмәк үчүн жени гравиметрик және һәчми-йодатометрик метод тәклиф едилшишdir.

#### ӘДӘБИЙТА

1. Mahr. C. Leit anorgan und allgem chem. 208, 313 (1932). 2. Файғль Ф. Каульный анализ, ОНТИ (1937). 3. Бусев А. И. Аналитическая химия висмута. Издво АН СССР, 1953. 4. Багбанлы И. Л., Гусейнов И. К. ДАН Азерб. ССР, 14, № 7 (1958). 5. Лайтиен Г. А. Химический анализ. Изд-во „Химия“. М., 1966. 6. Гусейнов И. К., Багбанлы И. Л., Абдуллаева А. Б. Азерб. хим. журнал\* (в печати).

Геори-узви вә физики  
химја институту

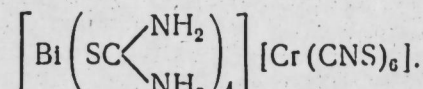
Алынмышдыры 5.IV 1969

И. Л. Багбанлы, И. К. Гусейнов, А. Б. Абдуллаева

Гексароданохромиат калия как реагент  
для количественного определения висмута

#### РЕЗЮМЕ

Тетратиомочевинный комплекс висмута при взаимодействии с гексароданохромиатом калия образует малорастворимое в воде кристаллическое соединение оранжевого цвета; состав осадка, по данным химического анализа, соответствует следующей формуле:



Изучены условия количественного определения висмута в виде тетратиомочевингексароданохромиата с последующим весовым и объемным окончанием анализа.

Для количественного осаждения висмута найдены оптимальные количества комплексообразователя тиомочевины, осадителя, необходимых для полного осаждения висмута; подобрана промывная жидкость, установлена температура сушки осадка и изучено влияние посторонних ионов на точность определения висмута.

Изучены условия объемно-йодатометрического определения висмута титрованием роданид-ионов и тиомочевины в составе осадка йодатом калия в солянокислой среде в присутствии бензола, играющего роль индикатора.

УДК 547. 581

ОРГАНИЧЕСКАЯ ХИМИЯ

М. Х. ШЕЛОМЕНОК, Ш. С. ЩЕГОЛЬ, С. Д. МЕХТИЕВ,  
М. М. ЛЮШИН, С. Н. ГУСЕЙНОВА

#### ИК-СПЕКТРЫ ТРЕТ-АЛКИЛЗАМЕЩЕННЫХ БЕНЗОЙНЫХ КИСЛОТ И ИХ КАЛИЕВЫХ СОЛЕЙ

Растущий интерес к алкилбензойным кислотам и их солям вызвал появление ряда работ, устанавливающих корреляции „частота—структура“ [1—5].

Нами проведено исследование закономерностей в ИК-спектрах некоторых алкилбензойных кислот повышенного молекулярного веса и их солей, сведений о которых мы не обнаружили в литературе.

#### ЭКСПЕРИМЕНТАЛЬНАЯ ЧАСТЬ

ИК-спектры кислот и их калиевых солей получены на двухлучевом спектрофотометре ИКС-14 в области  $5000-400 \text{ см}^{-1}$ . Пробы готовились в виде суспензии на вазелиновом масле между крышками из КВг для области  $2000-400 \text{ см}^{-1}$  и суспензии в гексахлорбутадиене между крышками из LiF для области  $5000-2000 \text{ см}^{-1}$ . В канал сравнения помещалась пленка вазелинового масла и гексахлорбутадиена между крышками КВг и LiF соответственно.

Исследованные кислоты синтезированы в соответствии с методикой [6—7], их калиевые соли—нейтрализацией исходных кислот 1 н. раствором едкого калия с последующей очисткой и высушиванием.

Суспензии солей готовились из свежеприготовленных проб, во избежание образования кристаллогидратов.

Нами рассматривались полосы поглощения, относимые [1—5] к колебаниям карбоксильной группы (таблица).

#### Обсуждение результатов

Как видно из таблицы, все исследованные кислоты имеют интенсивную полосу поглощения с частотой  $1695-1685 \text{ см}^{-1}$ , положение которой существенно не меняется с повышением молекулярного веса трет-алкильной группы и ростом количества заместителей в бензольном кольце.

Полоса с частотой  $1420 \text{ см}^{-1}$  наблюдается не во всех карбоновых кислотах [2]. В нашем случае полосы с частотами  $1420, 1320$  и  $1140 \text{ см}^{-1}$  с ростом количества заместителей в бензольном кольце становятся слабыми и малохарактеристичными. В области  $930 \text{ см}^{-1}$  все рассмотр-

Полосы поглощения трет-алкилбензойных кислот и их калиевых солей,  
обусловленные колебаниями групп  $\text{COOH}$  и  $\text{CO}_2^-$

Наименование кислот и их солей		Частота, $\text{см}^{-1}$									
		кислота	1690	—	—	—	1425	—	1320	1285	937
4-трет-бутилбензойная	К-соль	—	166	1660	1550	—	1390	—	—	—	—
4-трет-амилбензойная	кислота	1685	—	—	—	1420	—	1320	1285	935	—
2-метил-4-трет-бутилбензойная	К-соль	—	1660	1600	1540	—	1390	—	—	—	—
2-метил-4-трет-амилбензойная	кислота	1690	—	—	—	1420	—	1320	1280	935	—
2-метил-4-трет-октилбензойная	К-соль	—	1660	1610	1575	1530—1450	1400	1380	—	—	—
2-метил-4-трет-нонилбензойная	кислота	1695	—	—	—	1420	—	1320	1280	930	—
2,3-диметил-5-трет-бутилбензойная	К-соль	—	—	1640	1550	—	1400	—	—	—	—
2,3-диметил-5-трет-амилбензойная	кислота	1695	—	—	—	1410	—	—	1280	930	—
2,3-диметил-5-трет-октилбензойная	К-соль	—	—	1610	1570	1470	1400	—	—	—	—
2,3-диметил-5-трет-нонилбензойная	кислота	1695	—	—	—	1415	—	—	1280	930	—
2,3-диметил-5-трет-бутилбензойная	К-соль	—	—	1600	—	1480	1380	—	—	—	—
2,3-диметил-5-трет-амилбензойная	кислота	1685	—	—	—	—	—	1315	1280	930	—
2,3-диметил-5-трет-октилбензойная	К-соль	—	1640	1625	1560	1420	1395	—	—	—	—
	кислота	1690	—	—	—	1420	—	1315	1275	945	—
	К-соль	—	1640	—	1540	—	1405	—	—	—	—
	кислота	1685	—	—	—	1420	—	1315	1275	930	—
	К-соль	—	1660	1625	1550	—	1395	—	—	—	—

ренные кислоты дают широкую полосу средней интенсивности, которая мало изменяется при переходе от одной кислоты к другой.

В области  $3000—2500 \text{ см}^{-1}$  все кислоты дают ряд широких, малоинтенсивных полос.

В спектрах калиевых солей рассмотренных кислот перечисленные выше полосы исчезают, а в области  $1600—1300 \text{ см}^{-1}$  появляются широкие интенсивные полосы.

Как видно из таблицы, соли трет-алкилбензойных кислот дают в этой области три хорошо разрешенные полосы с частотами 1600, 1550 и  $1395 \text{ см}^{-1}$ , причем при переходе от соли трет-бутил- к трет-нонилбензойной кислоты ширина полосы около  $1390 \text{ см}^{-1}$  уменьшается.

Калиевые соли метил-трет-алкилбензойных кислот дают очень широкие, сильно перекрывающиеся полосы, которые выглядят как две, реже три полосы с частотами 1610, 1550 и  $1400 \text{ см}^{-1}$  и лишь в случае соли метил-трет-бутилбензойной кислоты наблюдаются шесть разных, хорошо разрешенных полос.

В спектрах солей 2,3-диметил-5-трет-алкилбензойных кислот четко наблюдаются три широкие полосы с максимумами при 1625, 1550 и  $1395 \text{ см}^{-1}$ .

Полосы поглощения в области  $1650—1300 \text{ см}^{-1}$  замещенных бензатов обусловлены валентными колебаниями  $\text{COO}^-$ -группы, которые дают две полосы поглощения в области  $1610—1550 \text{ см}^{-1}$  и  $1430—1300 \text{ см}^{-1}$  [3—5] и четырьмя частотами валентных колебаний ароматического кольца, которые, как показано Векслером [5], могут взаимодействовать между собой.

### Выходы

1. Изучены ИК-спектры моно- и поликалилбензойных кислот и их калиевых солей.

2. Показано, что полосы валентных колебаний  $\text{C=O}$  связей в области  $1700 \text{ см}^{-1}$  не меняют своего положения с увеличением молекулярного веса трет-алкильной группы и ростом количества заместителей в бензольном кольце.

3. С повышением степени замещения в бензольном кольце падает интенсивность и характеристичность полос  $1420$ ,  $1320$  и  $1140 \text{ см}^{-1}$ .

4. В спектрах калиевых солей алкилбензойных кислот взамен полос поглощения, обусловленных колебаниями карбоксильной группы, появляются полосы в области  $1620—1300 \text{ см}^{-1}$ , обусловленные колебаниями  $\text{COO}^-$  группы и ароматического кольца.

### ЛИТЕРАТУРА

- Беллами Л. Инфракрасные спектры сложных молекул. ИИЛ, 1963.
- Применение спектроскопии в химии под ред. Веста. ИИЛ, 1959.
- Бабко А. К., Евтушенко Н. П. Укр. хим. журн., XXXV, 3, 295; 1969.
- Sprinberg E. J. Chem. Soc. (B) 7, 847, 1967.
- Wexler A. C., Spectr. Acta, 23A, 5, 1319, 1967.
- Hearage G. W., Evans T. W., Buls J. W., Schwarter C. G. J. Eng. Chem., 47, 11, 230, 1955.
- Люшин М. М. Канд. дисс., 1967.

Азерб. институт нефти  
и химии им. М. Азизбекова

Поступило 11.XI 1969

М. Х. Шеломенок, Ш. С. Шегол, С. Д. Меидиев,  
М. М. Лужин, С. Н. Ысеинова

Үчлү алкил әвәзли бензој туршулары вә онларын  
калиум дузларынын ИГ-спектрләри

### ХУЛАСЭ

Тәдгигатларда бир нечә јүксәк молекул чәкиси олан алкилбензој туршуларынын вә онларын калиум дузларынын ИГ-спектрләрдә ганунаујунлуғу өјрәнилмишdir.

Туршуларын вә онларын дузларынын ИГ-спектрләри ИГС-14 спектрофотометрдә  $5000—400 \text{ см}^{-1}$  наһијәсіндә алымышдыр. Тәдгиг олунмуш туршулар  $1700 \text{ см}^{-1}$  тезликдә  $\text{C=O}$  рабитәсінин валентдәјишмә хәттинин күчлү удулмасына маликдир. Бунлар үчлү алкил груптарынын узуулугунун вә бензол һәлгесіндә әвәзедичиләрин мигдарынын артмасындан асылы олараг дәјишимир.

Б. К. ЗЕЙНАЛОВ, А. А. АХУНДОВ, А. М. МАМЕДОВ

**СИНТЕЗ ОКСИКИСЛОТ ПРЯМЫМ ОКИСЛЕНИЕМ  
ИНДИВИДУАЛЬНЫХ И. ПАРАФИНОВ**

(Представлено академиком АН Азербайджанской ССР Д. М. Гусейновым)

В предыдущих работах [1, 2] на примере окисления и. эйкозана были изложены результаты исследования по установлению оптимального режима получения оксикислот. В настоящем сообщении представляются результаты работ по изменению выхода и качества оксикислот в зависимости от длины цепи парафина. Окислению подвергались индивидуальные и. парафины с содержанием углеродных атомов от 15 до 25 в тех же оптимальных условиях, которые установлены для и. эйкозана [2].

Данные анализа окисленных парафинов, приведенные в виде кривых рис. 1 показывают, что в независимости от молекулярного веса ( $M_B$ ) парафина основными продуктами реакции являются эфираподобные соединения. Кислоты и спирты получаются в несколько раз меньше, чем эфиры. Кривые кислотного ( $K_C$ ) и гидроксильного ( $G_C$ ) чисел, показывают, что с увеличением  $M_B$  парафина  $K_C$  и  $G_C$  окисленного парафина уменьшаются. Противоположно этому увеличиваются эфирные ( $\mathcal{E}_C$ ) числа. Такая зависимость, очевидно, объясняется расходованием свободных карбоксильных и гидроксильных групп на образование эфиров. Однако аддитивность указанных "функциональных чисел" не позволяет предсказать выход и качество оксикислот, полученных окислением и. парафинов с различным содержанием углеродного атома (С).

Для получения подробных данных о выходе и качестве оксикислот, последние извлекались из окисленных парафинов и исследовались. Как показывают данные рис. 2, с увеличением  $M_B$  парафина выход оксикислот увеличивается и составляет 38–51% вес. на исходное сырье. Относительный прирост оксикислот в зависимости от  $M_B$  изменяется по кривой, представленной на рис. 3. Рассмотрение данных рис. 3 наглядно показывает, что между относительным приростом оксикислот и  $M_B$  парафинов имеется определенная закономерность. Так, например, относительный прирост оксикислот, полученный окислением парафина с нечетным числом С составляет больше, чем относительный прирост углеводородов с четным числом С. Данные, приведенные на рис. 4, показывают, что число С оксикислот находится в прямой

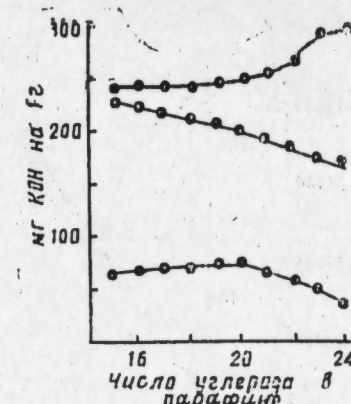


Рис. 1. Качество окисленного парафина в зависимости от длины цепи:  
1—кислотное число; 2—гидроксильное; 3—эфирное.

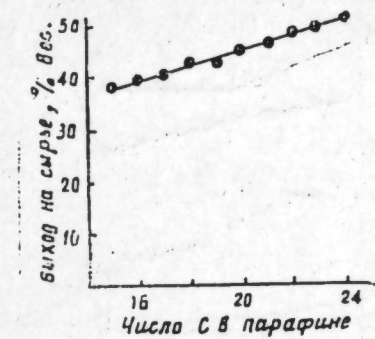


Рис. 2. Изменение выхода оксикислот в зависимости от цепи парафина.

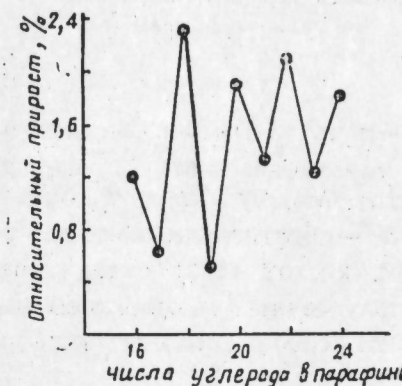


Рис. 3. Относительный прирост оксикислот в зависимости от  $M_B$  углеводорода.

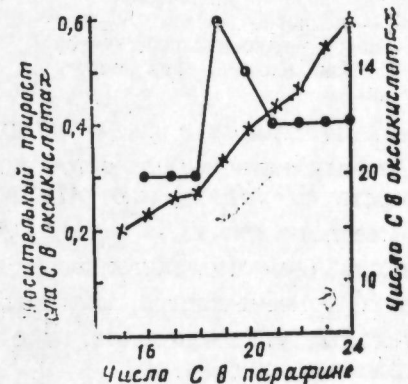


Рис. 4. Изменение числа С оксикислот, получаемых окислением парафинов: 1—относительный прирост; 2 — число С.

зависимости от числа С и. парафинов. Увеличение С в окисляемом парафина способствует увеличению С в молекуле оксикислот. Однако установленная зависимость между числами С парафинов и получаемых из них оксикислот позволяет ориентироваться в подборе исходного сырья для синтеза оксикислот с известным числом С.

Сравнительная оценка качества оксикислот, полученных окислением индивидуальных парафинов, дана на рис. 5. Анализ данных показывает, что независимо от исходного сырья, полученные оксикислоты в основном содержат свободные и преимущественно связанные карбоксильные группы. Причем числа свободных и связанных групп уменьшаются по мере увеличения С в цепи парафина. Это объясняется реакцией уплотнения оксикислот в зоне окисления.

Наряду с вышеуказанными оксикислоты имеют лактоновые и карбонильные числа.

Очевидно, эти числа получаются за счет кетокислот и продуктов конденсации, не растворимых в петролейном эфире. Из кинетических кривых рис. 6 нетрудно обнаружить некоторые закономерности между  $M_B$ ,  $n_D^{20}$  и  $d_4^{20}$  оксикислот. (На оси абсцисс показаны числа С окис-

## Фэрди *n*-парафинләрин бирбаша оксидләшдирилмәси илэ окситуршуларын синтези

### ХУЛАСЭ

Тәркибиндә 15-дән 25-э гәдәр карбону олан *n*-парафинләрин ейни шәрәндә оксидләшdirәрәк просесин кедиши этрафлы тәдгиг едилишдир.

Мүэлләшдирилмишдир ки, карбоидрокен молекулу бөјүдүкчә оксидләшмә даһа сүр'етлә кедир вә окситуршуларын чыхымы артыр. Окситуршуларын иисби артымы чүт карбонлу карбоидрокендә она гоңшу тәк карбонлу карбоидрокенә иисбәтән чох олур. Окситуршуларын молекулида карбоксил вә һидроксил группаларындан әлавә ефир, кетон, аз мигдарда лактон вә дојмамыш группалар да мүшәндиә едилир. Тәдгигатларда бу группаларын мигдары илә хаммалын молекул чәкиси арасында чидди асылылығын олдуғу мејдана чыхышыдыр.

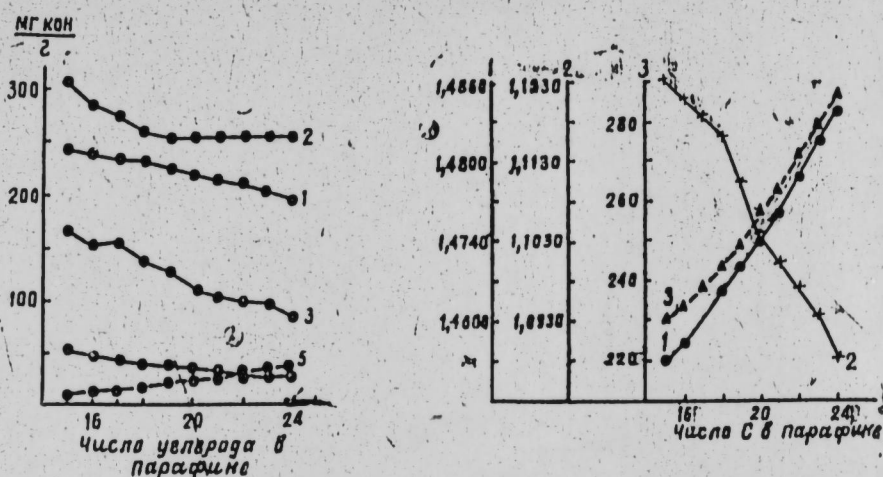


Рис. 5. Качество оксикислот, полученных окислением парафинов с различным С:  
1—кислотное число; 2—эфирное; 3—гидроксильное; 4—карбонильное; 5—лактоновое.

Рис. 6. Зависимость показателей оксикислот, полученных окислением парафинов с различным содержанием С:  
1— $n_D^{20}$ ; 2— $d_4^{20}$ ; 3—MB.

ляемых парафинов, а на осях ординат— $n_D^{20}$ ,  $d_4^{20}$  и MB оксикислот). Анализ данных наглядно иллюстрирует, что увеличение числа С в парафинае способствует увеличению MB оксикислот. Между MB и  $n_D^{20}$  оксикислот имеется прямая, а между MB и  $d_4^{20}$ —обратная зависимость, т. е. с увеличением молекулярного веса оксикислот их  $n_D^{20}$  увеличивается, а  $d_4^{20}$ —уменьшается. Оксикислоты, полученные окислением индивидуальных углеводородов, представляют собой комплекс кислородсодержащих соединений.

### Выходы

1. Прямым окислением индивидуальных парaffиновых углеводородов в жидкой фазе при периодическом режиме получить оксикислоты с содержанием лишь карбоксильной и гидроксильной групп не удается.

2. Показано, что по мере увеличения MB углеводородов выход полифункциональных оксикислот соответственно увеличивается; относительный выход у углеводорода с четным числом С больше, чем с соседним нечетным.

3. Показана прямая зависимость функциональных групп оксикислот от MB исходного сырья.

### ЛИТЕРАТУРА

- Зейналов Б. К., Насиров А. Б., Мамедов А. М. АНХ, № 10, 1966.
- Зейналов Б. К., Насиров А. Б., Мамедов А. М. Азерб. хим. журн., № 6, 1967.

ШАМХАЛ МАМЕДОВ, И. Л. НИЗКЕР, О. Б. ОСИПОВ,  
А. А. РЗАКУЛИЕВА, М. А. МУСАЕЛЯН.

### ХРОМАТОГРАФИЧЕСКИЙ АНАЛИЗ ПРОИЗВОДНЫХ $\beta$ -БУТИРОКСИЭТАНОЛА И 1-ФЕНИЛ-2-ИЗОБУТОКСИЭТАНОЛА-1

Производные  $\beta$ -бутироксиэтанола и 1-фенил-2-изобутоксиэтанола-1 были синтезированы с целью исследования их биологической активности [1]. В практике приготовления пестицидных препаратов, как правило, приходится иметь дело не с одним индивидуальным веществом, а со смесью, где содержание действующего вещества составляет величину от долей процента до нескольких процентов. Кроме того, к действующему веществу обычно добавляют различные добавки, обладающие синергетическим действием, увеличивающим адгезию препарата, и т. д. [2]. Поэтому методы анализа и идентификации соединений имеют как теоретическое, так и практическое значение.

В настоящее время для анализа такого рода препаратов применяются главным образом химические и спектроскопические методы. Успехи хроматографического исследования биологических объектов, особенно хроматографии на бумаге и в тонком слое (ТСХ), общеизвестны и давно применяются с этой целью.

При исследовании пестицидов и других биологически активных соединений в связи с достижениями газо-жидкостной хроматографии в последние годы достигнут большой успех, который позволяет анализировать сравнительно высококипящие соединения [3—4]. Настоящее краткое сообщение посвящено сопоставлению метода ГЖХ и хроматографии в тонком слое (ТСХ) для двух классов эфиров алифатического и ароматическо-алифатического рядов. Структурные формулы этих соединений приведены в таблице.

Для ГЖХ разделения изученных соединений применялся хроматограф марки ЛХМ-7А. Колонка из нержавеющей стали диаметром 6 мм и длиной 3 м заполнялась хромосорбом W, зернением 80—100 меш.

В качестве неподвижной фазы применялся полиэтиленгликоль (карбовакс) с молекулярным весом 20000, взятый в количестве 10% от веса хромосорба. Колонка продувалась гелием с постепенным повышением температуры до 250°C. Использовался пламенно-ионизационный детектор. В качестве газа-носителя применялся гелий со скоростью 40—60 мл/мин, объем вводимых проб составлял 1,5—2,5 мкл. Параллельно проводилась работа по тонкослойной хроматографии

№ пн.	Соединение	Мол. вес	T, кип. P, мм	$a_4^{20}$	$n_D^{20}$	Растворители	
						гексан—акетон (3:1)	петролейный эфир —уксусно-этил. эфир (9:1)
I	$C_3H_7COOCH_2CH_2OH$	132	87—89/7	1,0225	1,4264	0,65 : 0,64	
II	$C_3H_7COOCH_2CH_2Cl$	150,5	44—45/1	1,0689	1,4294	0,66 : 0,66	
III	$C_3H_7COOCH_2CH_2OCOC_2H_5$	174	71—72/2	1,0469	1,4200	0,53 : 0,50	
IV	$C_3H_7COOCH_2CH_2OCOC_2H_5$	188	77—79/2	1,0173	1,4228	0,52 : 0,50	
V	$C_3H_7COOCH_2CH_2OCOC_2H_7$	202	83—84/2	1,0030	1,4250	0,63 : 0,63	
VI	$C_3H_7COOCH_2CH_2OCCH_2OC_2H_7$	200	77—78/2	0,9852	1,4176	0,63 : 0,64	
VII	$C_3H_7COOCH_2CH_2OCCH_2OC_2H_7$	204	92—93/3	0,9758	1,4218	0,59 : 0,60	
VIII	$C_3H_7COOCH_2CH_2OCCH_2OC_2H_9$	218	101—102/2	0,9622	1,4235	0,59 : 0,60	
IX	$C_3H_7COOCH_2CH_2OCCH_2OC_2H_{11}$	232	105—106/2	0,9536	1,4252	0,66 : 0,67	
X	$C_3H_7COOCH_2CH_2OCCH_2CH_2OC_2H_5$	204	50—51/1	0,9398	1,4130	0,68 : 0,70	
XI	$C_6H_5CH_2OCCH_2OC_2H_6—l$ OH	194	107—108/3	0,9300	1,4964	0,37 : 0,38	
XII	$C_6H_5CH_2OCCH_2OC_2H_6—l$ OH	252	118—120/2	0,9739	1,4802	0,49 : 0,50	
XIII	$C_6H_5CH_2OC_2H_5$ $C_6H_5CHCH_2OC_2H_6—l$	266	140—142/2	0,9670	1,4742	0,55 : 0,55	
XIV	$C_6H_5OC_2H_7$ $C_6H_5CHCH_2OC_2H_6—l$	266	130—132/3	0,9575	1,4731	0,50 : 0,50	
XV	$C_6H_5OC_2H_7$ $C_6H_5CHCH_2OC_2H_6—l$	280	144—145/2	0,9520	1,4713	0,59 : 0,61	
XVI	$C_6H_5OC_2H_9$ $C_6H_5CHCH_2OC_2H_6—l$	280	138—139/2	0,9500	1,4713	0,61 : 0,62	

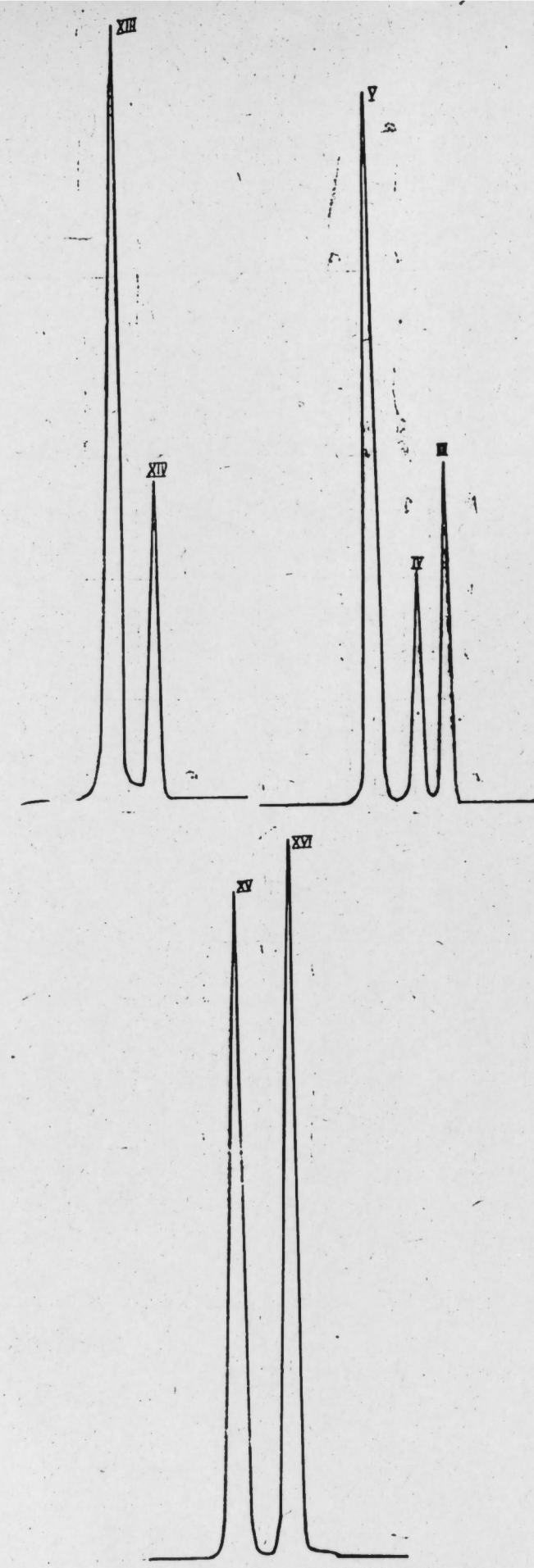


Рис.

этих же продуктов. Тонкослойная хроматография осуществлялась при помощи окиси алюминия (П активность), зернением в 100–150 меш толщиной 0,5 мм нанесенной на стеклянную пластинку размером 13×18 см, в качестве элюентов применялась смесь и-гексан–ацетон для производных  $\beta$ -бутироксигетанола и смесь петролейный эфир (т. к. 69–71°)–уксусноэтиловый эфир для производных 1-фенил-2-изобутилоксигетанола-1.

В качестве проявителя во всех случаях применялся йод. Полученные значения  $R_f$  приведены на рисунке.

Как видно, данные по тонкослойной хроматографии имеют самостоятельное значение для идентификации этих соединений. Хорошо делятся, например, смеси III–V, XI–XII, XI–XV. Однако, когда мы имеем смеси веществ, отличающихся  $-\text{CH}_2$  группой (III–IV, IV–V), а тем более смесь изомеров, например, (XIII–XIV, XV–XVI), у которых значение  $R_f$  весьма близки, то в данном случае выбранные условия ТСХ не позволяют достигнуть разделения смеси. Эта задача легко решается при помощи ГЖХ в найденных нами условиях, т. к. удерживаемые объемы этих соединений по гомологическому ряду заметно отличаются, что позволяет надежно разделять и идентифицировать подобные смеси. Такие же результаты достигнуты и при разделении искусственно составленных смесей продуктов (XIII–XIV, XV–XVI), отличающихся только тем, что один из радикалов этих соединений имеет разветвленное строение.

## Выводы

1. Найдены условия хроматографического анализа производных  $\beta$ -бутироксигетанола и 1-фенил-2-изобутилоксигетанола-1 при помощи ГЖХ и ТСХ.

2. Показано, что при анализе эфиров, имеющих близкие значения  $R_f$ , разделение и идентификация их лучше достигается при помощи ГЖХ.

## ЛИТЕРАТУРА

1. Мамедов Шамхал, Мамедов Э. Ш., Аванесян М. А., Рзагулиева А. А., Зейналова Р. Сб.: „Проблемы получения полупродуктов промышл. орг. синтеза“. Изд. „Наука“, 1967, № 90. 2. Мельников Н. Н. „Химия пестицидов“, М., 1968. 3. Берч菲尔д Г., Сторрс Э. Газовая хроматография в биохимии. Изд. „Мир“, 1964. 4. Ициксон Л. Б., Ициксон Т. М., Рапопорт И. Б. Химия и технология топлив и масел, № 10, 61, М., 1968.

## ИНХП

Поступило 12.XI 1969

Шамхал Мәммәдов, И. Л. Низкер, О. Б. Осипов,  
А. А. Рзагулиева, М. А. Мусајелjan

## $\beta$ -бутироксигетанол вә 1-фенил-2-изобутилоксигетанол-1 төрәмәләринин хроматографик анализи

## ХУЛАСӘ

Тәдгигатларда газ-маје вә назик тәбәгә хроматографијалары васитәсилә  $\beta$ -бутироксигетанол вә 1-фенил-2-изобутилоксигетанол-1 төрәмәләринин хроматографик анализләринин шәранти ёјрәнилмишdir.

Көстәрилән ефирләrin анализи заманы мүәјјәләшдирилмишdir.  $R_f$ -ләри бир-бирилә яхын оланларын айрылмасы вә идентификасијасы газ-маје хроматографијасы васитәсилә даһа яхшы нәтичә әлдә етмәjә имкан верир.

Б. Р. СЕРЕБРЯКОВ, О. К. ХАНМАМЕДОВ

## ОБ ОДНОЙ ЗАДАЧЕ СТАРЕНИЯ КАТАЛИЗАТОРА

(Представлено академиком АН Азербайджанской ССР М. А. Далинным)

Важной задачей в управлении каталитическими процессами является максимизация прибыли между двумя смежными сменами загруженного в реактор катализатора [1, 2].

При условии постоянства во времени расхода сырья это означает максимизацию некоторого функционала

$$\max_{T^{(1)}} I = \sum_{i=1}^q \mu_i \int_0^t (C_i(t) dt), \quad (1)$$

где  $\mu_i$  — постоянный коэффициент, учитывающий цену, конъюнктуру  $i$ -го продукта,  $C_i$  — выход  $i$ -го продукта.

Старение катализатора может быть описано дифференциальными уравнениями

$$\frac{dk_i}{dt} = k_{pi} \cdot k_i, \quad k_i(0) = k_{i0} \exp\left(-\frac{E_{ai}}{RT(0)}\right) \quad (2)$$

$$(i = 1, \dots, q)$$

$k_{pi}$  — константа скорости изменения  $i$ -й кинетической константы вследствие старения катализатора,  $k_i$ ,  $E_{ai}$  — константа скорости и энергия активации реакции образования  $i$ -го продукта,  $t$  — астрономическое время.

Уравнение связи между выходом  $C_i$  и кинетическими константами, при условии стабилизированности системы относительно всех прочих параметров, кроме температуры реакции  $T(t)$  имеет вид:

$$\frac{dC_i}{dt} = a \frac{dk_i}{dt} + b \frac{dk_\Sigma}{dt} \quad (3)$$

$$(i = 1, \dots, q),$$

где  $k_\Sigma$  — константа скорости суммарной реакции.

Из уравнения связи (3), проинтегрировав обе ее части, имеем,

$$C_i(t) = C_i(0) - ak_i(0) - bk_\Sigma(0) + ak_i(t) + bk_\Sigma(t) \quad (4)$$

$$(i = 1, \dots, q)$$

Тогда из (1) и (4) получаем,

$$\sum_{i=1}^q \mu_i \int_0^t C_i dt = \sum_{i=1}^q \mu_i \left\{ \int_0^t A_i dt + a \int_0^t k_i dt + b \int_0^t k_\Sigma dt \right\}, \quad (5)$$

где

$$A_i = C_i(0) - ak_i(0) - bk_\Sigma(0)$$

$$(i = 1, \dots, q).$$

Так как первый интеграл в правой части при условии фиксированности  $\theta$  — величина постоянная и в общем случае не зависящая от  $T(t)$ , то очевидно, что задача (1) сводится к эквивалентной задаче

$$\max_{T^{(1)}} I = \sum_{i=1}^{q+1} I_i \int_0^t k_i(t) dt, \quad (6)$$

где

$$k_{(q+1)} = k_\Sigma.$$

Однако в задачах (1), (6) рассматривается случай непрерывного управления каталитическим процессом. На практике управление таким процессом часто сводится к периодической коррекции температуры с учетом функции цели производства и фактически является многостадийным процессом управления.

Тогда с учетом сказанного, очевидно, функция цели (6) представляет в виде:

$$\max_{T^{(j)}} I = \sum_{j=1}^N \sum_{i=1}^{q+1} I_i \int_0^{t^{(j)}} k_i^{(j)}(t) dt, \quad (7)$$

$$0 \leq t \leq t^{(j)}$$

здесь  $j$ ,  $N$  — номер и число переключений соответственно.

В выражении (7)  $k_i^{(j)}(t^{(j)})$  есть конечное состояние системы, вызванное управляющим воздействием  $T^{(j)}$ , и целиком определяется выбором  $\Delta T^{(j)}$ , а также длиной отрезка  $[0, t^{(j)}]$ . Теми же параметрами  $\Delta T^{(j)}$ ,  $t^{(j)}$  определяется значение интеграла  $\int_0^{t^{(j)}} k_i^{(j)}(t) dt$ , т. е. совокупность точек  $k_i^{(j)}(t)$  может так же, как и совокупность интегралов (7), служить мерой оценки качества управления и, следовательно, имеем линейный критерий в виде

$$\max_{T^{(j)}} I = \sum_{j=1}^N \sum_{i=1}^{q+1} I_i \cdot k_i^{(j)}(t^{(j)}), \quad (8)$$

максимизация которого эквивалентна максимизации (7).

Для случая многостадийного процесса из (2) имеем [3, 4],

$$k_i^{(j)} = k_{i0} \exp \left[ -\frac{E_{ai}}{R(T^{(j-1)} + \Delta T^{(j)})} - \right.$$

$$\left. - k_{pi0} \sum_{n=1}^j t^{(n)} \cdot \exp \left( -\frac{E_{pi}}{R(T^{(n-1)} + \Delta T^{(n)})} \right) \right] \quad (9)$$

$$(i = 1, \dots, q + 1)$$

Необходимое условие оптимальности на  $j$ -м шаге управления получим из условия

$$\frac{\partial I}{\partial \Delta T^{(j)}} = 0.$$

Откуда с учетом (9) имеем

$$\sum_{i=1}^{q+1} k_i^{(j)} [E_{a_i} - k_{p_i}^{(j)} E_{p_i}] \frac{1}{R(T^{(j-1)} + \Delta T^{(j)})^2} = 0, \quad (10)$$

где

$$k_{p_i}^{(j)} = k_{p_i 0} \cdot t^{(j)} \cdot \exp\left(\frac{E_{p_i}}{R(T^{(j-1)} + \Delta T^{(j)})}\right) \quad (11)$$

$$(i = 1, \dots, q + 1).$$

Из уравнения (10) имеем необходимое условие оптимальности в виде:

$$\sum_{i=1}^{q+1} k_{p_i}^{(j)} = \sum_{i=1}^{q+1} \frac{E_{a_i}}{E_{p_i}}. \quad (12)$$

Подставив (11) в (12) и решая полученное уравнение относительно  $\Delta T^{(j)}$ , имеем выражение для управляющего воздействия на  $j$ -м шаге управления

$$\Delta T^{(j)} = - \sum_{i=1}^{q+1} \frac{E_{p_i}}{R \cdot \ln\left(\frac{E_{a_i}}{E_{p_i} \cdot k_{p_i 0} \cdot t^{(j)}}\right)} - T^{(j-1)}.$$

Из полученного последнего выражения ясно видно, что оптимальное управление на  $j$ -м шаге зависит от соотношения двух энергий активации: собственно химической реакции  $E_{a_i}$  и скорости старения катализатора  $E_{p_i}$ .

#### ЛИТЕРАТУРА

1. Робертс С. Динамическое программирование в процессах химической технологии и методы управления. «Мир», 1965.
2. Фан Лянь-Цэнь, Ван Чу-Сен. Дискретный принцип максимума. «Мир», 1967.
3. Хохлов В. А., Яблонский Г. С., Вепрева С. В. Хим. пром., № 10, 726, 1968.
4. Хохлов В. А., Лавров В. А. Хим. пром., № 1, 8, 1969.

ВНИИолефин

Поступило 15.VII 1969

Б. Р. Серебряков, О. К. Ханмамедов

Катализаторун көннелмәси һагында бир мәсәлә

#### ХУЛАСЭ

Мәгаләдә катализитик реакторла оптималь идарә етмәк мәсәләсіндән бәйс олунмушадур.

Тәдгигатда катализаторун көннелмәси нәзәрә алышараг оптималь идарәнин рекуррент ифадәси алышындыр.

АЗӘРБАЙЧАН ССР ЕЛМЛӘР АКАДЕМИЯСЫНЫН МӘРҮЗӘЛӘРИ

ДОКЛАДЫ АКАДЕМИИ НАУК АЗЕРБАЙДЖАНСКОЙ ССР

ТОМ XXVI

№ 12

1970

#### ГЕОЛОГИЯ НЕФТЯНЫХ И ГАЗОВЫХ МЕСТОРОЖДЕНИЙ

УДК 553.98

Я. А. ГАДЖИЕВ, М. Г. МУСТАФАЕВ

#### ГРЯЗЕВОЙ ВУЛКАН ХЫДЫРЗЫНДЫ И ЕГО СВЯЗЬ С НЕФТЕГАЗОНОСНОСТЬЮ МЕЗОЗОЙСКИХ ОТЛОЖЕНИЙ ЧАНДАГАР-ЗОРАТСКОЙ ПЛОЩАДИ

(Представлено академиком Азербайджанской ССР А. А. Якубовым)

О существовании грязевых вулканов в Прикаспийско-Кубинской области известно давно, но они исследованы еще очень мало и в литературе этот вопрос освещен слабо. М. Ф. Мирчинк, Е. Я. Дмитриев, А. Г. Поминов и Б. П. Ясенев [3] в 1931—1932 гг. провели двухгодичные полевые исследования и описали геоморфологию, стратиграфию, тектонику, нефтеносность Прикаспийско-Кубинского района, грифоны и сальзы грязевых вулканов. Описание отдельных грязевых вулканов мы находим у А. А. Али-заде, Б. П. Ясенева [1], А. А. Якубова [6] и других исследователей. Однако о грязевом вулкане Хыдырзынды самые ранние литературные сведения относятся к 1892 г., где в заметке А. Коншина о грозненских месторождениях кратко упоминается о нефтяной сопке Хыдырзынды.

Геологическое строение этой области изучено и описано А. А. Али-заде [2], С. Г. Салаевым [4], В. Е. Ханином и Ф. С. Ахмедбейли [5] и другими исследователями.

Грязевой вулкан Хыдырзынды расположен в головной части Чандагар-Зоратской структуры, которая сложена меловыми и палеоген-миоценовыми отложениями (рис. 1).

Верхнемеловые отложения литологически представлены неравномерным чередованием карбонатных глин, песчаников, известняков, мергелей, иногда с прослоями гравеллитов.

Палеоген-миоценовые отложения выражены в песчано-глинистой литофации.

В тектоническом отношении Чандагар-Зоратская площадь является юго-восточным окончанием Сиазанская моноклинали. Эта структура посредством продольных и поперечных нарушений разбита на отдельные блоки. Наиболее крупный продольный разрыв протягивается по простирианию пластов, являясь тектоническим контактом меловых и третичных отложений. К этому нарушению приурочены грязевулканические проявления (рис. 2). Поперечные нарушения имеют СЗ—ЮВ направление с амплитудой 200—400 м.

Грязевой вулкан Хыдырызынды расположен в 90 км к северо-западу от г. Баку и 6—8 км к северо-западу от железнодорожной станции Зорат. Район расположения вулкана в геоморфологическом отношении является северо-восточным склоном Тенгинско-Бешбармакского антиклиниория. Рельеф расположения вулкана представляет собой прибрежную равнину Каспийского моря, покрытую горизонтально лежащими террасами и современными отложениями.

На вулкане насчитывается 50 действующих и 10 бездействующих сопок, сальзы и грифонов (рис. 3). Все действующие сопки, сальзы и грифоны заполнены водой, покрытой пленками нефти; периодически выделяют газ и слабо переливают. Поверхность конуса действующей сопки и вся поверхность сопочного поля пропитаны нефтью. В центральной части сопочного поля расположена одна бездействующая сопка высотой 4—5 м и одна полуразрушенная сопка высотой 3,5—4 м, диаметр сальзы, расположенной на разрушенной части сопки, составляет 3—4 м, а диаметр основания—30—40 м. Эта сальза напоминает собой „кипящую

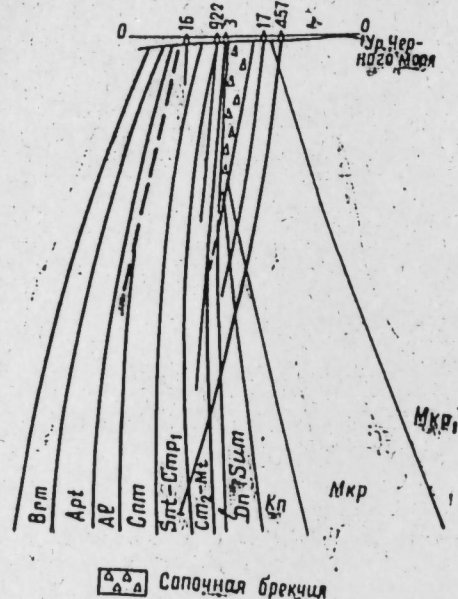


Рис. 1. Геологический профиль.

4—5 м и одна полуразрушенная сопка высотой 3,5—4 м, диаметр сальзы, расположенной на разрушенной части сопки, составляет 3—4 м, а диаметр основания—30—40 м. Эта сальза напоминает собой „кипящее

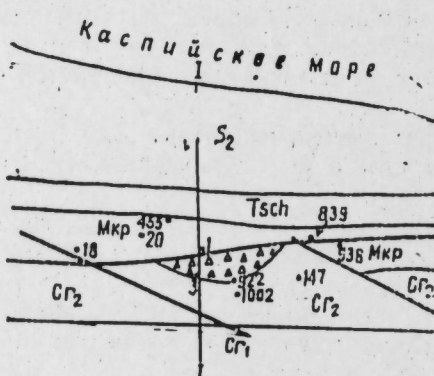


Рис. 2. Геологическая карта площади распространения грязевого вулкана Хыдырызынды.

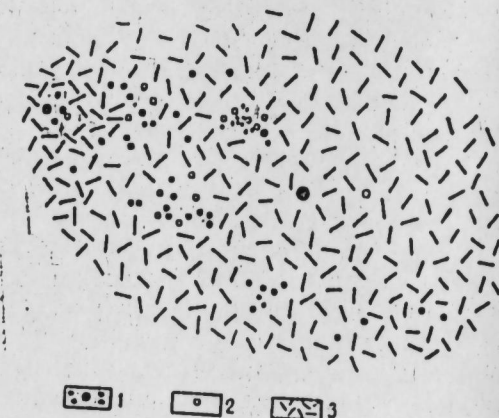


Рис. 3. Глазомерная съемка грязевого вулкана Хыдырызынды:  
1—действующие сопки, сальзы и грифоны;  
2—не действующие сопки, сальзы и грифоны;  
3—сопочная брекчия.

щее озеро“. Диаметр остальных сальз, сопок и грифонов не превышает 0,25—0,80 см. Большая сальза заполнена водой и грязью, покрыта тонким слоем пленки нефти. Слабое выделение газа через каждые 2—3 мин сменяется бурными выделениями его, сопровождающимися

большим шумом. Во время выхода газа уровень воды поднимается на 20—25 см выше уровня ее в спокойном состоянии, при этом из сальзы переливается в небольшом количестве вода с нефтью. На отдельных сопках встречаются свежие языки излияния сопочного ила, протягивающиеся на 15—20 м, а иногда и больше.

Об истории извержения грязевого вулкана Хыдырызынды никаких сведений в литературе нет. На вулкане также не обнаружено кратерного вала и следов древних покровов сопочной брекции. Вероятно, они в результате эрозии потеряли свой первоначальный облик. Поэтому можно считать, что данный вулкан очень давно не имел бурных извержений, а весь покров его является результатом непрерывного и медленного излияния многочисленных сопок, сальз и грифонов.

Одним из основных компонентов, указывающих на деятельность (в спокойном состоянии) грязевых вулканов, является газ. Поэтому изучение его дебита, химического состава<sup>1</sup> и генезиса представляет большой интерес. Газ, отобранный нами из отдельных сальз и грифонов, в основном состоит из метана—83,47%, этиана—1,16, пропана—0,63%, изобутан и н-бутан соответственно равны 0,09 и 0,08%, изопентан и н-пентан присутствуют в виде следов, а процентное содержание CO<sub>2</sub> соответственно равно 6,5 и 8,0.

В результате замера дебита газа было установлено, что из одного выхода на площади грязевого вулкана Хыдырызынды в среднем за 20 сек выделяется 1 л газа; а в сутки это составляет 4320 л. Таких выходов на грязевом вулкане насчитывается около 40. Если принять во внимание периодически действующие выходы, то общий дебит газа, выделяемый вулканом, составит 63,246 м<sup>3</sup> в год.

Нами также впервые были отобраны пробы воды из действующих сопок, сальз и грифонов. Как показали анализы<sup>2</sup>, воды грязевого вулкана Хыдырызынды в основном хлорнатриевые, щелочные и они сходны с водами нефтяных месторождений. Характерным для этих вод является наличие растворенного органического вещества — нафтеновых кислот, йода и бора, которые являются непременными геохимическими элементами вод нефтяных месторождений. Кроме того, изменение содержания SO<sub>4</sub> в водах грязевого вулкана тождественно колебаниям его в водах нефтяных месторождений. Как видно из таблицы, эти воды характеризуются гидрокарбонато-натриевым типом с небольшой степенью минерализации<sup>3</sup> (114,04—137,8 мг/экв).

В сопочной брекции твердых пород очень мало. Собранный нами обломочный материал состоит из серых мергелей, серых, темно-серых глин, среди которых имеются мелко-среднезернистые песчаники. Некоторые образцы вскипают с соляной кислотой.

Петрографические анализы<sup>4</sup> образцов пород, взятые из сопочной брекции, состоят в основном из глины и мергелей светло-серого цвета. Гранулометрические анализы показали, что они на 61—64% состоят из частиц <0,01 мм. Карбонатность этих образцов равняется 4,2%. По минералогическому составу эти породы характеризуются незначительным (до 1,0%) содержанием тяжелой алевритовой фракции. Основными породообразующими минералами являются обломки глинистых пород (80—82%) и полевые шпаты (10—12%). Содержание кварца до 8%. Тяжелая фракция содержит глауконит, лейкопсени, а из устойчи-

<sup>1</sup> Анализы газа произведены в лаборатории природного газа Ин-та геологии АН Азербайджанской ССР.

<sup>2</sup> Анализы воды произведены в лаборатории геохимии и промысловых вод АзНИИ ДН и в ЦНИИле треста „Азморнефтеразведка“.

<sup>3</sup> Петрографический анализ пород произведен в ЦНИИле треста „Азморнефтеразведка“.

вых прозрачных минералов циркон, турмалин и рутил (единицами). Среди рудных минералов преобладает пирит (66—78%). Содержание магнетита, ильменита в породах колеблется в пределах 1,5—9,5%, а лимонита—0,5%.

В сопочной брекции грязевого вулкана была определена следующая микрофауна:

- Globigerina aptica* Ag. sp. p.
- Patellina aptica* Ag.
- Cornuspira bulloides* Ag.
- Glomospira charoides* (Pet. Sak.)

Следовательно, стратиграфический корень грязевого вулкана Хыдырызынды можно связать с отложениями нижнего мела.

Исследование грязевого вулкана Хыдырызынды и изучение продуктов его деятельности позволяет высказать мнение о связи последнего с нефтегазоносными залежами на глубине. На это же указывают и пробуренные глубокие разведочные скважины. Результаты разведочных работ (скв. №№ 717, 648, 922 и др.), проведенных в пределах Чандагар-Зоратской площади, свидетельствуют о перспективности мезозойских отложений. Так, скважина № 922 вступила в эксплуатацию из верхнемеловых отложений с начальным дебитом до 10 т нефти в сутки фонтанным способом.

На основе изложенного, можно сказать, что Чандагар-Зоратская площадь имеет большую перспективность на поиск залежей нефти и газа в мезозойских отложениях.

Таблица

Ве-										$\Sigma a+K$ , мг·экв
	Na+Ka	Ca++	Mg++	Cl'	$SO_4^{'}$	$CO_3^{'}$	$HCO_3^{'}$	$RCOO'$	$HBO_7^{'}$	
3,5	63,5	1,6	1,3	62,0	0,2	Нет	3,80	0,4	—	132,8
3,5	61,0	1,9	5,4	64,5	0,2	—	3,70	0,5	—	137,8
3,2	54,87	1,15	1,0	52,95	0,2	—	3,74	0,2	0,29	114,04
3,2	55,5	1,5	1,03	54,13	0,2	—	3,60	Нет	0,88	116,06

Характеристика воды по Палмеру				Коэффициенты Сулина				Данные, мг·л	
$S_1$	$S_2$	$A$	$a$	$Na/Cl$	$Na-Cl/SO_4$	$Cl-Na/Mg$	$Ca/Mg$	$J$	$Br$
93,88	0	1,92	4,38	1,02	7,5	—	1,23	—	—
89,40	4,48	0	6,12	0,96	—	0,54	0,35	—	—
92,92	0	3,30	3,78	1,03	96,0	—	1,15	20,4	87,3
93,32	0	2,32	4,36	1,02	6,85	—	1,15	20,4	86,5

## ЛИТЕРАТУРА

- Али-заде А. А., Ясенев Б. П. Грязевой вулкан Кайнарджа. ННГ, № 1, 1935.
- Али-заде А. А. Нефтяные месторождения Прикаспийского района. Труды геол. совещания Азнефти. Азнефтениздат, 1945.
- Мирчин М. Ф., Дмитриев Е. Я., Поминов А. Г., Ясенев Б. П. Прикаспийский нефтепосыпный район (Кильзи—Хыдырызынды). Труды Азерб. нефт. геол. разведочного треста, вып. 8, ОНТИ—Азнефтениздат, 1934.
- Салав С. Г. Олигоцен-миоценовые отложения юго-восточного Кавказа и их нефтегазоносность. Изд-во АН Азерб. ССР, 1961.
- Хани В. Е., Шарданов А. Н., Ахмедбейли Ф. С. Материалы по геологии северо-восточного Азербайджана. Изд-во АН Азерб. ССР, 1957.
- Якубов А. А. Грязевые вулканы Азербайджана. Изд-во АН Азерб. ССР, 1948.

Институт геологии

Поступило 14. X 1969

Ж. А. Һачыјев, М. Г. Мустафајев

Хыдырызынды палчыг вулканы вә онун Чандагар-Зорат саһесинде Мезозој чөкүнүләринин нефт-газлылығы илә элагәси

## ХУЛАСЭ

Хыдырызынды палчыг вулканы Бакы шәһериндән 90 км вә Зорат дәмирjол стансијасындан 6—8 км шымал-гәрбдә јерләшмишdir.

Хыдырызынды палчыг вулканының пүскүрмәси нағында әдәбијатда неч бир мә'лумат жохдур. Вулканда, һәмчинин гәдим сопка брекчијасының өртүйү дә жохдур. Бүтүн брекчија өртүйү сопка, салза грифонларын фәалиjјети нәтичесинде әмәлә кәлмишdir. Белә ки, сопка, салза, вә грифонлар үзәриндә нефт гаты олан су вә палчыгла долмушшур. Онлар аз. мигдарда газ аյырга даышылар. Газ әсасән, метандан (83, 47%), естандан (1,16%), пропандан (0,63%) вә с. компонентләрдән ибарәтdir.

Вулканы сују гәләви олуб, аз мигдарда минераллашмаја маликдир (114,04—137,8 мг. екв). Бу сулар нефт јатагларының сулары илә еjnидир.

Хыдырызынды палчыг вулканы вә онун пүскүрмә мәһсулларының өјрәнилмәси көстәрмишdir ки, нефт вә газ јатагларының ахтарышы вә кәшfiйjаты чәhәтдән Мезозој чөкүнүләри Чандагар-Зорат саһесинде олдугча бөjүк перспективлиjә маликдир.

Г. В. МУСТАФАЕВ

**О ГЕНЕТИЧЕСКОЙ СВЯЗИ ОРУДЕНЕНИЯ С МЕХМАНИНСКИМ ГРАНИТОИДНЫМ ИНТРУЗИВОМ (М. КАВКАЗ)**

(Представлено академиком АН Азербайджанской ССР Ш. А. Азизбековым)

Мехманинский интрузивный комплекс по геологическому положению, петрографическим и металлогеническим особенностям занимает несколько обособленное положение среди других интрузивных комплексов Малого Кавказа, приурочиваясь к осевой части Агдамского антиклиниория Сомхито-Агдамской тектонической зоны.

Мехманинский интрузивный комплекс состоит из собственно Мехманинского, главного массива, ряда мелких выходов—сателлитов и многочисленных даек разного состава. С мехманинским интрузивным комплексом пространственно ассоциирует медно-полиметаллическое оруденение.

На генетическую связь оруденения с главным, Мехманинским массивом указывали Л. К. Канющевский, И. В. Баркалов, А. Н. Соловкин, А. Д. Керимов и др. Однако существует и другая точка зрения на связь оруденения с Мехманинским массивом. Некоторые геологи (Зайцева, Рафибейли, 1962; Бабазаде, Ситковский, 1967) полиметаллическое оруденение генетически связывают с дайками и сателлитами главного массива, считая их самостоятельными малыми интрузивами.

В связи с отсутствием единого мнения на генезис сателлитов и даек, а также на связь оруденения с конкретными интрузивными телами, нами было проведено минералого-геохимическое исследование пород мехманинского интрузивного комплекса. Характеристика и количественное содержание минералов сведены в табл. 1 и 2.

Как общность пордообразующих и акцессорных минералов, так и детали морфологии минералов позволяют утверждать, что сателлиты и дайки являются не самостоятельными образованиями, а апофизами и дайками, производными магмы Мехманинского интрузива.

К мехманинскому интрузивному комплексу пространственно тяготеет медно-полиметаллическое оруденение двух типов: вкрапленное и жильное. Большинство геологов оруденение генетически связывает с главным Мехманинским массивом, основываясь на следующих данных.

1. Устанавливается тесная возрастная и пространственная связь оруденения с мехманинским интрузивным комплексом, отвечающим нижнему мелу (А. Д. Керимов, 1965).

Таблица 1

**Характерные особенности минералов пород мехманинского интрузивного комплекса**

Характерные особенности минералов пород мехманинского интрузивного комплекса	Д а й к и		Гранодиорит-порфириты № 43	Диорит-порфириты № 39	Кварцевые диорит-спессартиты № 35	Спессартиты № 60	Гранозин- рован. кв. диорит-пор- фирыты № 37
	Главный массив (Мехманинский)	Апофизы					
Состав плагиоклазов: 1) вкрапленников	Тоналиты, кварц-диориты и др.	Кварцевые диорит-порфириты (Монастырская горка, № 40; Н-Оратаг, № 58)					
2) основной массы	Нет	Зональные кристаллы	Выражено в волнистом погасании				
Наличие зональных крист. плагиоклаза							
Главный темноцветный минерал		Роговая обманка, обыкновенная	Роговая обманка обыкновенная				
Кварц		Оплавленные кристаллы	Оплавленные кристаллы				
Видовой состав акцессорных минералов		Ксеноморфный	Магнетит, ильменит, апатит, циркон, эпидот, пирит, ортит, ортит и реже др.				
Характерные габитусные формы циркона		Магнетит, ильменит, апатит, циркон, эпидот, пирит, ортит и реже др.	Слаборазвитая пирамида (100), острая дипирамида (311)				
Характерные формы апатита		Слаборазвитая пирамида (100), острая дипирамида (311)	Слаборазвитая пирамида (100), острая дипирамида (311)				
		Оплавленные кристаллы	Оплавленные кристаллы				
		Базальниконид в поздних выделениях. Мелкие прозрачные кристаллы в ранних выделениях, газово-жидкими включениями	Базальниконид в поздних выделениях. Мелкие прозрачные кристаллы в ранних выделениях, газово-жидкими включениями				

Таблица 2

## Аксессорные минералы пород межманинского интрузивного комплекса

Породы	Главный массив (Мехманинский)						Апофизы			Дайки				
	Тоналиты			Кварцевые диориты			Кварц. диорит-порф.		Гранит-порфир.		Кв. диорит-спессартит с руди-поли		Грейзен-изир. кв. диорит-порф.	
	№ образца	57	41	34	54*	50	51	55	40	43	39	35	60	37
Орбит	Ед. зн.	199,8	46,5	—	10,83	—	—	—	—	—	—	—	—	—
Циркон	2205,0	801,0	737,1	2290,8	184,44	31,9	115,2	218,5	246,1	27,70	16,40	—	17,01	—
Апатит	—	—	—	7222,4	951,8	—	961,5	487,2	259,08	27,75	622,21	4,50	4,86	—
Гранат	—	—	—	—	1,2	—	12895,6	7665,0	—	55,40	600,21	14,58	—	33,92
Флюорит	—	—	—	—	—	—	—	—	—	—	—	—	—	—
Турмалин	Ед. зн.	—	—	—	—	—	—	—	—	—	—	—	—	—
Халькопирит	3619,7	553,6	141,6	—	—	—	—	—	—	—	—	—	—	—
Ильменит	—	—	—	—	—	—	—	—	—	—	—	—	—	—
Лейкоксен	—	—	37,5	—	—	34,11	—	3796,3	160,0	83,82	11,08	2006,8	1677,5	—
Сфен	—	—	—	—	—	—	—	—	—	—	—	—	—	—
Рутил	—	—	—	—	—	—	—	—	—	—	—	—	—	—
Анатаз	—	—	—	—	—	—	—	—	—	—	—	—	—	—
Магнетит	10350,0	14420,0	6387,7	4931,7	870,2	—	—	—	—	—	—	—	—	—
Гематит	—	—	—	871,46	—	—	—	—	—	—	—	—	—	—
Пирит	—	—	—	—	0,18	—	55,7	—	—	—	—	—	—	—
Лимонит	—	—	—	93,8	—	—	9,58	—	—	—	—	—	—	—
Азурит	—	—	—	676,2	—	—	—	—	—	—	—	—	—	—
Хромит	—	—	—	—	—	—	—	—	—	—	—	—	—	—

Примечание. Ед. зн.—единичные знаки;

\* Минералы определены Арсеньевой в ИМГРЭ.

2. Оруденение и мехманинский интрузивный комплекс обусловлены единым циклом тектонического развития Агдамского антиклинария, приурочиваясь к сводовой его части, пересечению сбросо-сдвига по оси антиклинария с поперечным поднятием (Э. Ш. Шихалибейли, 1966).

3. Зональное расположение различных типов руд от контакта главного Мехманинского массива и в ореоле некоторых мелких выходов с последовательной сменой высокотемпературных рудных образований низкотемпературными (И. В. Барканов, 1935).

4. Связь оруденения от петрохимического состава пород—медно-пиритовых и пиритовых от гранитондов кислого состава, а свинцово-цинковых от пород среднего состава (А. Д. Керимов, 1965).

5. Многостадийность рудообразования, изученная Н. В. Зайцевой и Р. Х. Рафибейли (1962), также служит одним из генетических признаков оруденения с главным массивом, поскольку пульсационный характер внедрения растворов при возобновлении трещинообразования подразумевает достаточно длительный период существования питающего очага (Л. Н. Овчинников, 1967), чему дайковые образования не отвечают.

Генетическая связь оруденения с главным Мехманинским массивом доказывается также идентичностью минерального состава высокотемпературных вкрапленных медно-пиритовых руд в экзоконтакте массива и медно-пиритовых руд в гидротермальных жилах, близких во времени, но различных генетических типов руд, указывающих на общность источника обоих рудоносных растворов. Это подтверждается также общностью элементов-примесей из одноименных минералов Мехманинского массива и свинцово-цинковых жил (табл. 3), которая

Таблица 3  
Элементы-примеси минералов главного массива и рудных жил

Элемен-ты	Магнетит		Кварц	
	из интрузива	из руды	из интрузива	из руды
Cu	0,0075	0,16	0,0003	0,0027
Pb	0,0003	0,0001	0,0009	0,0032
Zn	0,005	1,0	—	0,24
Sn	—	—	0,0005	—
Ni	0,0078	0,0051	—	0,0032
Mo	—	0,0004	—	0,0001
Co	—	—	—	—
Ag	—	—	—	—

криSTALLизации оторвана от главного массива значительным интервалом времени. Магнетит и кварц Мехманинского массива и рудной жилы характеризуются наличием рудообразующих элементов Pb, Zn, Cu, максимальные количества которых приурочены к минералам рудных жил, ввиду кристаллизации последних в обогащенной указанными элементами среде, наличием Ni, отсутствием Co и др.

Приведенные данные показывают, что главный Мехманинский массив, сателлиты-апофизы и изученные дайки являются производными единого магматического очага, а медно-полиметаллическое оруденение, пространственно тяготея к дайковым образованиям, генетически связано с гранитондным Мехманинским массивом.

## ЛИТЕРАТУРА

1. Барканов И. В. Геолого-минерал. очерк Мехманинской группы полиметаллических месторожд. Изд. Азгеолбюро Закгеголреста. 2. Бабазаде В. М., Ситковский И. Н. Уч. зап. АГУ, серия геол.-геогр. наук", №4, 1967. 3. Зайцева Н. В., Рафибейли Р. Х. Тез. III Всес. совещ. по законом. разм. эндогенных месторожд. Изд. АН Азерб. ССР, 1962. 4. Керимов А. Д. Петрография ирудоносность Мехманинского интрузива. Изд. АН Азерб. ССР, 1965. 5. Овчинников Л. Н. "Геологиярудных месторождений", № 5, 1967. 6. Шихалибейли Э. Ш. Геологическое строение и история тектонического развития вост. части М. Кавказа, т. II. Изд. АН Азерб. ССР, 1966.

Институт геологии

Поступило 8. XII 1969

h. B. Мустафаев

### Филизләшмәнин Меһмана гранитоид интрузиви илә кенетик әлагәси Ыагында (Кичик Гафгаз)

ХУЛАСЭ

Сүхуртөрәдән аксессор минераллар вә минераллардакы элемент гарышыларының өјрәнилмәси көстәрмишdir ки, Меһмана интрузиви, онун йаҳынлығында олан кичик интрузивләр вә дајкалар бирмагматик очагын тәрәмәләриди. Филизләшмәдә дајкаларын йаҳынлыгда јерләшмәсинә баҳмајараг, бунлар кенетик сүрәтдә Меһмана интрузиви илә әлагәдарды.

АЗӘРБАЙЧАН ССР ЕЛМЛӘР АКАДЕМИЈАСЫНЫН МӘРУЗӘЛӘРИ

ДОКЛАДЫ АКАДЕМИИ НАУК АЗЕРБАЙДЖАНСКОЙ ССР

ТОМ XXVI

№ 12

1970

УДК 551. 243 (479.24)

ТЕКТОНИКА

С. Г. САЛАЕВ, Н. С. КАСТРИОЛИН

### О ВАЖНОЙ РОЛИ РАЗРЫВНЫХ ДЕФОРМАЦИЙ В ФОРМИРОВАНИИ ТЕКТОНИКИ ЮГО-ЗАПАДНОГО КОБЫСТАНА

(Представлено академиком АН Азербайджанской ССР Ш. Ф. Мехтиевым)

Важнейшими элементами тектоники Юго-Западного Кобыстана являются тектонические разрывы, установленные во всех стратиграфических единицах, обнажающихся на дневной поверхности и вскрытых пробуренными скважинами.

Наиболее важное место в тектонике рассматриваемого региона занимают субширотные региональные разрывы, четко расчленяющие палеоген-миоценовые антиклинальные пояса (Гиджаки-Сулейманский, Сунди-Чеилдагский, Адживели-Умбакинский и Арзани-Клычский) на северные и южные крылья. При этом северные крылья структур по сместителям разрывов взброшены и надвинуты на южные с вертикальными амплитудами от 400—600 до 2000 м и более. В результате в региональном плане образовалась структура типа чешуйчатых взбросов и надвигов, характеризующаяся почти параллельным падением сместителей в северном направлении и последовательным взбросом и надвигом северных крыльев на южные (рис. 1).

По нашим представлениям субширотные региональные разрывы сыграли важную роль в формировании антиклинальных поясов, определив не только их морфологию, но и направление осевых линий. При этом считается, что наряду с деформациями, обусловленными субширотными разрывами, определенную роль в формировании антиклинальных поясов сыграли и складкообразующие деформации.

Для оценки роли различных видов тектонических деформаций, обусловивших образование современных структурных форм Юго-Западного Кобыстана, нами использован региональный геологический профиль, построенный вкрест простирания антиклинальных поясов (рис. 1). На этом профиле особо выделены отложения чокракского горизонта, как наиболее надежно прослеживаемые в обнажениях и разрезах скважин и поэтому являющиеся маркирующими.

На указанном профиле довольно четко можно проследить, что северные крылья структур взброшены относительно южных, причем с продвижением с севера на юг вертикальные амплитуды взбросов

закономерно увеличиваются и роль разрывных деформаций становится все более значительной.

На основе измерений в профиле нами составлена таблица амплитуд роста (в метрах) Восточно-Адживелинской, Ильхичинской, Восточно-Сундинской и Нардаран-Ахтарминской структур.

В таблице указаны видимая вертикальная амплитуда взброса ( $A$ ), замеренная как разница между гипсометрическими отметками высшей на (северном крыле) и низшей (на южном крыле) точек пересечения кровли чокракского горизонта со сместителем разрыва\*, и видимые высоты структуры по южному ( $B_1$ ) и северному ( $B_2$ ) крыльям, замеренные в крыльях как разность между отметками высшей и низшей точек кровли чокракского горизонта.

По геологическому и физико-механическому смыслу амплитуда  $A$  с некоторыми допущениями может считаться величиной, на которую произошел рост структуры непосредственно в результате вертикального перемещения (взброса) северного крыла относительно южного под действием вертикальных тектонических сил, а амплитуды  $B_1$  и  $B_2$  — величинами, на которые произошел рост структуры при складкообразном изгибе слоев, обусловленном тангенциальными сжимающими силами.

Ввиду того, что наибольшая общая высота рассматриваемых структур слагается (вследствие взброса северных крыльев) главным образом из амплитуд взброса ( $A$ ) и

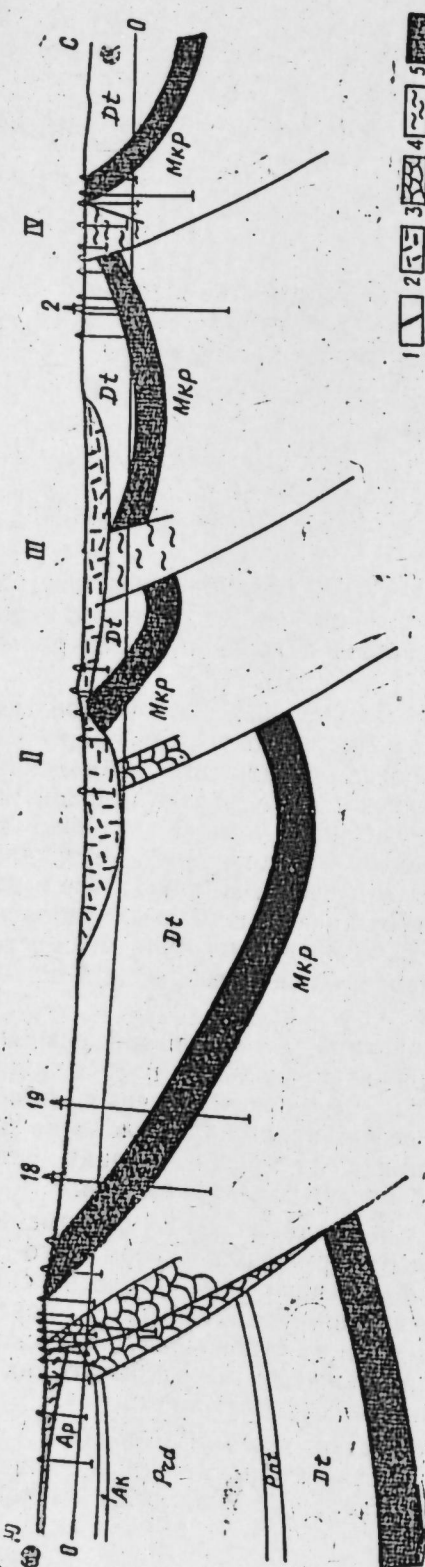


Рис. 1. Региональный осевопоперечный геологический профиль Юго-Западного Казахстана:

1 — тектонические разрывы; 2 — сопочные брекции; 3 — тектонические брекции; 4 — перемянутые породы; 5 — чокракский горизонт.

Структуры: I — Восточно-Адживелинская; II — Ильхичинская; III — Восточно-Сунданская; IV — Нардаран-Ахтарминская.

\* В случае выхода чокракских отложений на дневную поверхность за высшую точку принимается пересечение кровли чокракского горизонта с дневной поверхностью.

Структура	$A$	$B_1$	$B_2$	$A+B_1$	Превышение $A$ над $B_1$	Отношение, %	
						$\frac{A}{B_1}$	$\frac{(A+B_1)}{(A+B_1)}$
Восточно-Адживелинская	2 950	900	2 150	3 850	+2 050	76,6	23,4
Ильхичинская	1 850	250	650	2 100	+1 600	88,1	11,9
Восточно-Сунданская	400	75	250	475	+325	84,2	15,8
Нардаран-Ахтарминская	100	450	950	550	-350	18,2	71,8

амплитуд складкообразного изгиба южного крыла ( $B_1$ ), при анализе характера деформаций, обусловивших рост этих структур, достаточно учитывать амплитуды  $A$  и  $B_1$ .

Как видно из таблицы и рис. 2, в котором по оси абсцисс отложены горизонтальные размеры крыльев по профилю, а по оси ординат — вертикальные амплитуды роста структур, видимая вертикальная амплитуда взброса ( $A$ ) Восточно-Адживелинской структуры на 2050 м больше

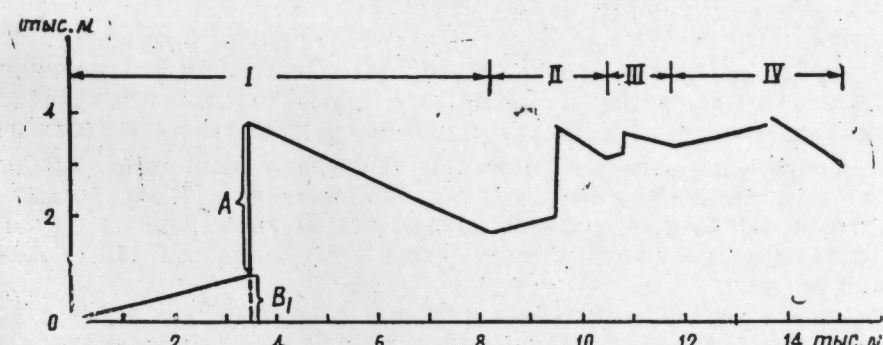


Рис. 2. График амплитуд роста структур:  
I — Восточно-Адживелинская; II — Ильхичинская; III — Восточно-Сунданская;  
IV — Нардаран-Ахтарминская.

видимой высоты структуры по южному крылу ( $B_1$ ). Если же при этом считать, что общая высота структуры, слагаемая из амплитуд  $A$  и  $B_1$ , равна 3850 м, то на долю роста структуры за счет перемещений крыльев по сместителю приходится 76,6 %, а на долю роста за счет складкообразного изгиба — 23,4 %.

Подобным же образом определено, что рост Ильхичинской и Восточно-Сунданской структур произошел соответственно на 88,1 и 84,2 % за счет перемещений крыльев по сместителю разрыва и на 11,9 и 15,8 % за счет складкообразного изгиба слоев.

Исключением среди рассматриваемых структур является лишь самая северная Нардаран-Ахтарминская, в которой видимый на профиле рост ее произошел на 71,8 % за счет изгиба слоев и лишь на 18,2 % за счет перемещений крыльев по сместителю разрыва.

Таким образом, в результате проведенного анализа устанавливается, что разрывные деформации в формировании структур Юго-Западного Казахстана сыграли весьма важную роль, а складчатые имели подчиненный характер.

Кстати, в данном случае можно отметить необоснованность пози-

ций, учитывающих, что рассматриваемые разрывы явились завершающим циклом в развитии складкообразования, когда на смену пластическим деформациям приходят разрывные. Если исходить с этих позиций, то надо представить, что образовавшиеся складки должны иметь очень крутые крылья (до  $80-90^\circ$ ) с резко выраженным антиклинальными перегибами. На самом деле изученные структуры Юго-Западного Кобыстана не отличаются резко выраженной изогнутостью пластов, так как их углы падения колеблются от 15 до  $30^\circ$ , изредка до  $40-50^\circ$ , а высота структур, обусловленная изгибами, в большинстве случаев значительно меньше вертикальной амплитуды взброса.

На важную роль субширотных региональных разрывов в формировании тектоники региона указывают также факты длительности и непрерывно-прерывистого развития разрывов, установленные на основе палеотектонического анализа [2].

Так, по имеющимся материалам, отмечено, что эти разрывы существовали уже в верхнемайкопское время и продолжали развиваться одновременно с осадкообразованием в верхнемиоценовое, плиоценовое и четвертичное время. Судя по периодически повторяющимся землетрясениям и грязевулканической деятельности, их развитие продолжается и в настоящее время.

Имея в виду, что в выбросах грязевых вулканов, приуроченных к субширотным региональным разрывам, отмечены обломки пород верхнемелового возраста [3], а также учитывая, что данные геофизических исследований указывают на развитие крупных тектонических разрывов в нижнепалеогеновых отложениях и дают основание предположить их развитие и в мезозойских образованиях [1], можно допустить, что субширотные разрывы начали развиваться раньше верхнемайкопского времени: по-видимому, они были заложены еще в мезозойский период.

Поскольку субширотные региональные разрывы существуют и развиваются длительно, можно сказать, что они еще до седиментации палеоген-миоценовых отложений образовали мобильные тектонические зоны, оставшиеся подвижными до настоящего времени. Несомненно, что в указанных зонах формирование тектонических структур происходило параллельно с осадконакоплением на фоне периодически повторяющихся подвижек тектонических блоков.

Большое влияние на тектонику Юго-Западного Кобыстана оказали субмеридиональные региональные тектонические разрывы, пересекающие антиклинальные пояса почти под прямым углом. Все установленные субмеридиональные региональные разрывы параллельны западному борту Джейранкемской депрессии и имеют восточные погружения сместителей, по которым восточные тектонические блоки сброшены в сторону депрессии с вертикальными амплитудами от 300—500 до 600—800 м. В результате в региональном плане образовалась структура ступенчатых сбросов, а антиклинальные пояса разделились на локальные тектонические структуры, отличающиеся одна от другой по тем или иным особенностям.

Определенное влияние на тектонику региона оказали и локальные разрывы, дробящие крылья структур на тектонические блоки, смещенные относительно друг друга с вертикальными амплитудами от 50—200 до 800 м и более.

Обобщая вышесложенное, можно констатировать, что тектонические разрывы в Юго-Западном Кобыстане определили основные черты тектоники; а разрывные деформации сыграли весьма важную роль в ее формировании.

## ЛИТЕРАТУРА

1. Леви В. А., Ригер Р. Р. Опыт применения методики МПЗ для изучения глубинной тектоники Юго-Западного Кобыстана. "Азерб. нефт. хоз.", № 4, 1962. 2. Салаев С. Г., Кастрюлин Н. С. О времени образования тектонических разрывов Юго-Западного Кобыстана. "ДАН Азерб. ССР", № 7, 1967. 3. Султанов Р. Г., Салаев С. Г., Кастрюлин Н. С. О связи грязевых вулканов Юго-Западного Кобыстана с тектоническими разрывами. "Уч. зап. АГУ, серия геол.-географ.", № 6, 1966.

Институт геологии

Поступило 21. II 1969

С. И. Салаев, Н. С. Кастрюлин

Чәнуб-гәрби Гобустаның тектоникасының јаранмасында  
позулма деформасијаларының мүһүм ролу һагында

## ХУЛАСЭ

Чәнуб-гәрби Гобустаның тектоник позулмалары тектониканың эн мүһүм элементләри. Онларың ичәрисиндә эн эсас йөр инники структурларын морфологиясина, һәмчинин онларың ох хәтләринин истигамәтини мүәյҗән едән субенинә-рекионал позулмалара мәхсусдур.

Гырылыб-дүшмәләри шагули амплитудларының вә структурларының ганадларының гырышывары әжилмәләри амплитудларының анализи эсасында мүәյҗән едилмишdir ки, Чәнуб-гәрби Гобустаның мүасир структурларының јаранмасында позулма деформасијалары мүһүм рол ојнајыр, гырышыг деформасијалары исә табелик характеристики дашијыр.

ПАЛЕОНТОЛОГИЯ

С. Б. КУВАЕВА

ПАЛИНОЛОГИЧЕСКАЯ ХАРАКТЕРИСТИКА ВЕРХНЕАПТСКИХ  
ОТЛОЖЕНИЙ В РАЙОНЕ р. АТАЧАЙ

(Представлено академиком АН Азербайджанской ССР М. М. Алиевым)

Аптские отложения широко распространены в пределах юго-восточного окончания Большого Кавказа и отличаются однообразным литологическим составом. Лишь нижняя пачка нижнего апта представлена зеленовато-серыми глинами. Выше по всей области следует свита пестроцветных глин, в нижней части которых наблюдается обилие нижнеаптских видов белемнитов, в верхней части свиты присутствует менее многочисленный верхнеаптский комплекс видов.

В связи с тем, что из пестроцветных пород путем обычной мацерации споры и пыльца не выделяются, палинологически до сих пор были охарактеризованы только отложения нижнего апта (С. Б. Куваева, М. М. Алиев, Р. А. Алиев, 1964). Теперь нам удалось выделить споры и пыльцу из образцов, отобранных на месте нахождения верхнеаптских аммонитов *Euphyllloceras vellelade* Mich., *Crioceratites elegans* Огб., *Epicheloniceras martini caucasica* Apt., *E. martini orientalis* Jas., *E. subnodosocostatum* Sinz., *E. tschernyschewi* Sinz. и др., характеризующих отложения нижней зоны верхнего апта (Р. А. Алиев, Х. Ш. Алиев, Л. А. Порошина, 1964).

Образцы были любезно предоставлены Х. Ш. Алиевым, за что автор выражает ему свою глубокую признательность.

Пачка, в которой была собрана фауна аммонитов, пелеципод и белемнитов с обильной микрофауной в основном планктоидных фораминифер, а также спорой и пыльцой, представляет собой чередование зеленовато-серых, реже серых и красноватых глин с прослойками зеленовато-серых, реже серых алевролитов.

Большинство образцов из этих отложений не содержали спор и пыльцы. Только в четырех из них был обнаружен довольно богатый комплекс спор и пыльцы.

Этот комплекс характеризуется значительным содержанием (30—56, в среднем 40 %) и видовым разнообразием спор семейства *Gleicheniaceae*. Встречены следующие виды этого семейства: *Gleichenia delicata* Bolch., *G. conflexa* Chl., *G. rara* Chl., *G. laeta* Bolch., *G. stel-*

*lata* Bolch., *G. umbonata* Bolch., *G. nigra* Bolch., *Gleicheniidae dicarpoides* Grig., *G. granulatus* Grig. Споры этого семейства были широко распространены в аптское время на территории Индо-Европейской палеофлористической области.

Прочие споры немногочисленны и не слишком разнообразны. Это споры сфагновых мхов; *Sphagnum suflatum* Bolch.—0—2 %, *S. europaeum* Bolch.—0—1 %; осмундовых — *Osmunda* sp.—0—2 %, ужовниковых — *Ophioglossum* sp.—0—0,5 %, птеридиевых — *Coniopteris* sp., *Adiantum* (?)—1—4 %.

Споры схизейных малочисленны (0—3 %, в среднем 1 %) и неразнообразны. Это *Pelletieria minutaestriata* Bolch., *P. tertia* K.-M., *Anemone tripartita* Bolch., *A. caucasica* Bolch.

Немногочисленны также споры неопределенного систематического положения; *Leiotriletes gradatus* (Mal.) Bolch., *Lophotriletes* sp., *Taurocusporites reduncus* (Bolch.) Stover.

Пыльца голосемянных растений занимает заметное место в комплексе. Особенно многочисленны *Pinaceae* (8—40, в среднем 23 %) и *Cupressaceae* — *Taxodiaceae* (6—13, в среднем 9 %).

Пыльца *Classopollis* sp., доминирующая в комплексах барриас-баррема и нижнего апта этой области, представлена здесь небольшим количеством — всего 2—4 %.

Во всех образцах встречаются *Caytonia oncodes* (Harris) Bolch. (2—8 %), *Ginkgocladophytus* sp. (1—3 %), *Podocarpaceae* (1—4 %).

Следовательно, для спорово-пыльцевого комплекса отложений верхнего апта р. Атакай характерно следующее:

1. Значительное количественное содержание и богатый видовой состав спор семейства глейхениевых (30—56 %).

2. Споры прочих папоротников, а также мхов, плаунов немногочисленны и не отличаются разнообразием.

3. Среди пыльцы наиболее распространены сосновые (6—40 %), а также кипарисовые и таксодиевые (6—13 %).

4. Содержание пыльцы *Classopollis* sp., гинкговых и цикадовых, кейтониевых, подокарпусовых незначительно.

Этот комплекс явно отличается от нижнеаптского, описанного нами (1964) из отложений нижнего апта в районе гор Дибрар и Келевудаг, а также изученного из отложений нижнего апта по рекам Тудар, Чикильчай (близ с. Чистые Ключи) и Пирсагат (близ с. Зорат-Хейбери).

Комплекс нижнего апта этих районов отличается от верхнеаптского меньшим содержанием в нем спор глейхениевых (11—30, в среднем 26 %), пыльцы *Pinaceae* (0,5—6, в среднем 2,5 %), отсутствием пыльцы *Cupressaceae* — *Taxodiaceae* и значительно большим распространением и разнообразным видовым составом спор схизейных (2—9, в среднем 4 %), пыльцы *Classopollis* sp. (24—53, в среднем 37 %) и *Ginkgocladophytus* sp. (3—12, в среднем 8 %).

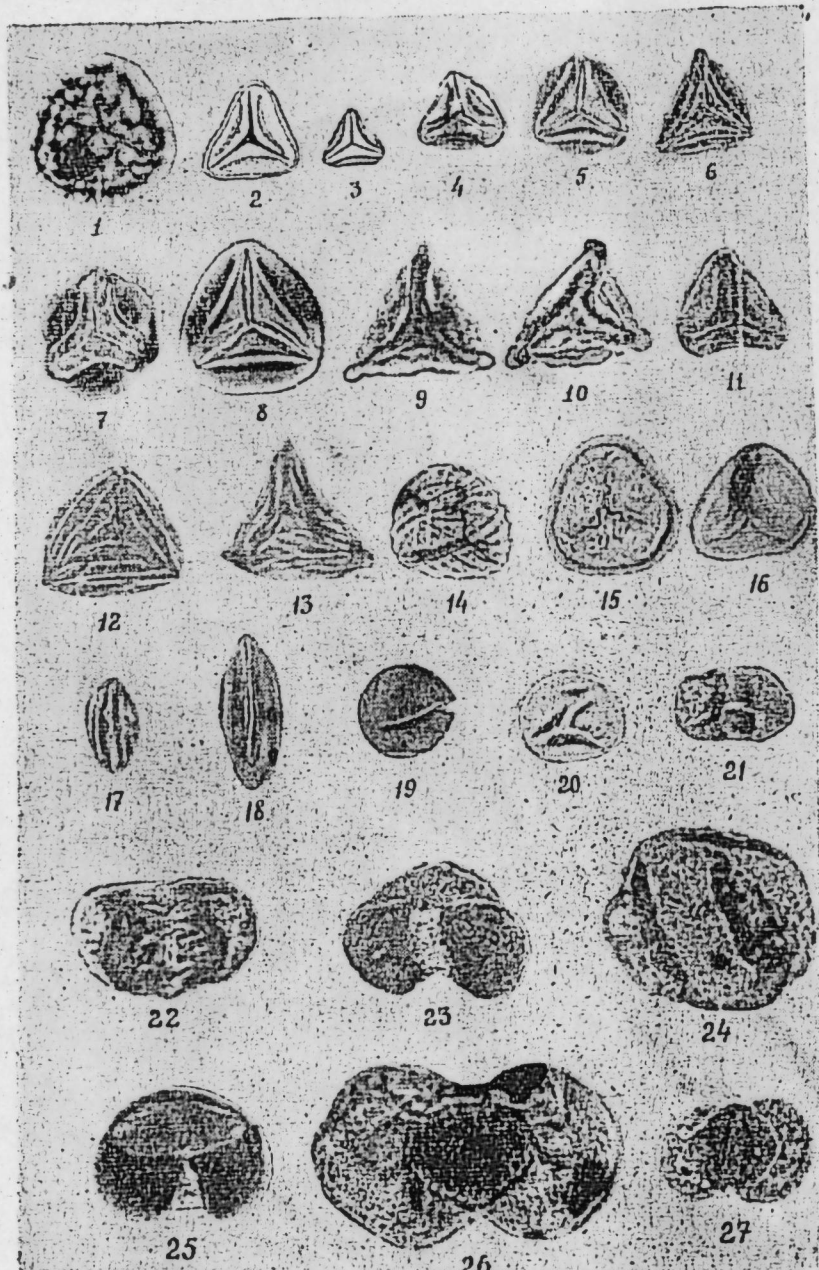
Кроме того, среди пыльцы в нижнеаптском комплексе разнообразна "эфедроидная" пыльца (род *Gnetaceaerollenites*), а также довольно многочисленна пыльца неопределенного систематического положения типа *Sphaeropollenites* Coeruleg.

Следовательно, комплексы нижнего и верхнего апта значительно различаются как по видовому составу, так и по количественным соотношениям входящих в комплекс компонентов. Это имеет большое значение при стратиграфическом расчленении отложений по данным спорово-пыльцевого анализа.

Спорово-пыльцевые комплексы верхнего апта северо-восточного

Предкавказья (И. А. Конюхов, И. А. Назаревич, С. Б. Кубаева и др., 1967) и северо-западного Кавказа (О. П. Ярошенко, 1965) отличаются от атчайского подавляющим содержанием в них спор глейхениевых (более 80%). Соответственно прочие споры и пыльца глейхениевых растений представлены небольшим количеством.

Различия в количественных соотношениях основных компонентов спорово-пыльцевых комплексов сравниваемых районов наблюдаются



1—*Lycopodium* sp.; 2—*Gleichenia delicata* Bolch.; 3—*G. laeta* Bolch.; 4—5—*G. stellata* Bolch.; 6—*G. umbonata* Bolch.; 7—*G. rasilis* Bolch.; 8—*G. carinata* Bolch.; 9—10—*G. triplex* Bolch.; 11—*G. lelichenoides granulatus* Grig.; 12—*Anemone pseudoaurifera* Bolch.; 13—*A. silvestris* Bolch.; 14—*Pelletiera tera* (K.—M.) Bolch.; 15—*Pteridaceae*; 16—*Goniopteris* sp.; 17—18—*Ginkgocycadophytus* sp.; 19—20—*Cupressaceae—Taxodiaceae*; 21—*Caytonia oncodes* (Harris) Bolch.; 22, 23, 24, 25—*Pinaceae*; 26—27—*Podocarpaceae*.

и в неокоме. Это объясняется, очевидно, различиями физико-географических условий в этих районах, что в свою очередь влияло на характер растительности, продуцирующей споры и пыльцу.

Спорово-пыльцевой комплекс из отложений верхнего апта р. Атчай имеет большую ценность не только потому, что впервые описан из верхнеаптских отложений юго-восточной части Большого Кавказа, но и потому, что этот комплекс является эталонным, т. к. отложения, из которых он изучен, охарактеризованы фауной аммонитов.

К сожалению, мы не можем сказать, что этот комплекс изучен в достаточной степени, т. к. проанализировано было небольшое количество образцов и лишь из одного разреза. Но все же наши данные дают представление о характере изменения аптского комплекса при переходе от нижнего апта к верхнему.

#### ЛИТЕРАТУРА

- Алиев Р. А., Алиев Х. Ш., Порошина Л. А. О присутствии зоны *Erythelonicas subnodosocostatum* на юго-восточном Кавказе. ДАН Азерб. ССР, т. XX, № 8, 1964.
- Конюхов И. А., Назаревич И. А., Кубаева С. Б. и др. Литологические и палинологические особенности нижнемеловых отложений газоконденсатного месторождения Северный Русский хутор. В кн. «Стратиграфия и палеогеография меловых отложений Восточного Кавказа и прилегающих районов Волго-Уральской области». «Наука», 1967.
- Кубаева С. Б., Алиев М. М., Алиев Р. А. Нижнемеловые спорово-пыльцевые комплексы юго-восточного Кавказа и их стратиграфическое значение. В кн.: «Биостратиграфия и палеогеография мезокайнозоя нефтегазоносных областей юго-востока СССР». «Наука», 1964.
- Ярошенко О. П. Спорово-пыльцевые комплексы юрских и нижнемеловых отложений Северного Кавказа и их стратиграфическое значение. «Наука». 1965.

Институт геологии

Поступило 21. III 1968

С. Б. Кубаева

Атчај һөвзәсиндә Уст Апт чөкүнгүләринин  
палинологи сәчијәси

ХУЛАСЭ

Бу вахта гәдәр Чәнуб-шәрги Гафгазын Уст Апт чөкүнгүләринин палинологи сәчијәси өјрәнилмәшидир. Атчај һөвзәсинин Уст Апт чөкүнгүләриндәки спор вә тозчугларын арашдырылмасы нәтичәсindә мәлум олмушдур ки, бу чөкүнгүләриндә чохлу мигдарда *Gleicheniaceae* спорунун, *Pinaceae* тозчугунун олмасы, *Cupressaceae-Taxodiaceae*-нин иштиракы, аз мигдарда мухтәлиф *Schizaeaceae* спорларынын, *Classopollis* sp. вә *Ginkgo-cusadophytus* sp. тозчугларынын варлығы илә фәргләнир.

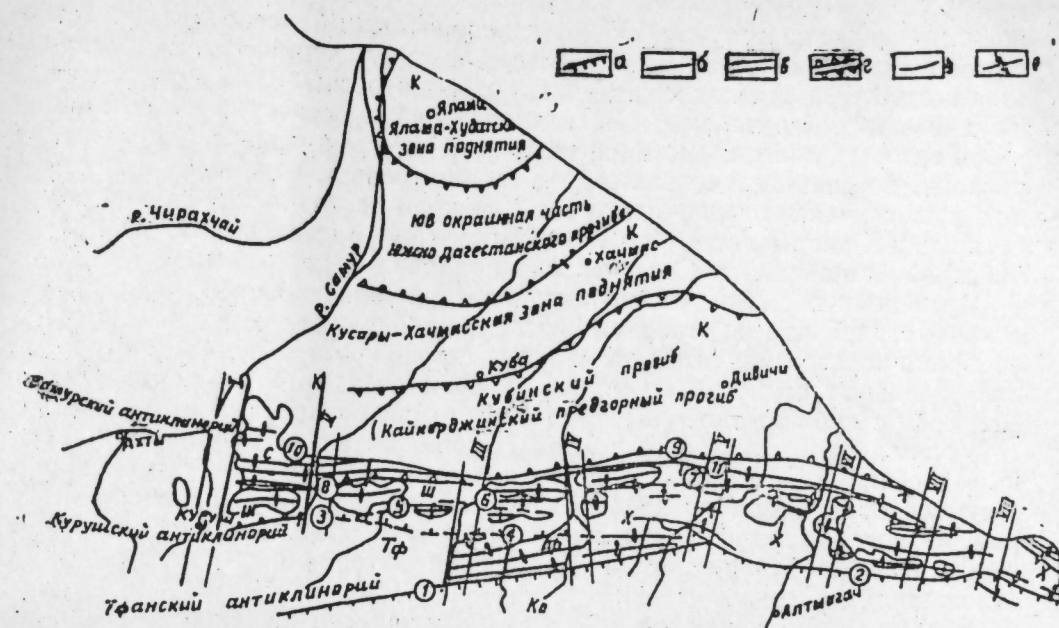
А. М. СУЛЕЙМАНОВ, С. А. АЛИ-ЗАДЕ, Г. А. ГУЛИЕВ,  
Р. А. АБДУЛЛАЕВ

## О РОЛИ КОНСЕДИМЕНТАЦИОННЫХ РАЗРЫВОВ В ФОРМИРОВАНИИ СОВРЕМЕННОГО СТРУКТУРНОГО ПЛАНА СВ ЧАСТИ ЮВ КАВКАЗА

(Представлено академиком АН Азербайджанской ССР А. А. Ализаде)

Анализ распределения лиофаций и мощностей верхнеюрских и меловых отложений СВ части ЮВ Кавказа указывает на конседиментационное развитие Малькамуд-Гермианского, Южно-Шахдагского, Ерфинского, Будугского, Карабулагского, Северо-Шахдагского (Казма-Крызского) и Сиазанского разрывов. Эти разрывы в большинстве своем имеют до-титонское заложение и значительно отличаются друг от друга по интенсивности проявления тектонических подвижек. Последнее обстоятельство приводит к различиям в лиофациальном облике, распределении мощностей и характере складчатости на отдельных тектонических участках, ограниченных в продольном направлении вышеперечисленными разрывами. В современном положении зеркала складчатости этих тектонических участков находятся на различном гипсометрическом уровне, в результате чего создается ступенчатое строение исследуемой области. В связи с этим такие тектонические участки в геологической литературе (А. М. Шурыгин, А. В. Вихерт, Б. В. Григорьянц и др.) стали называться ступенями. „Ступени“ указанными исследователями на ЮВ Кавказе выделяются в качестве основного структурного элемента, а все антиклиниории, синклиниории и тектонические зоны, выделенные предшествующими исследователями, укладываются в понятие „ступени“, а в ряде случаев рассматриваются в качестве структурных подразделений, подчиненных ступеням.

А. В. Вихерт и др. [1966], анализируя гипсометрическое положение зеркала складчатости по определенному ярусу, в пределах СВ части ЮВ Кавказа выделяют Тфансскую, Шахдагскую, Хизинскую и Кусарскую ступени. Авторы считают, что Тенгинский (Тенги-Бешбармакский антиклиниорий, по В. Е. Хани) и Гермианский антиклинальные перегибы, ограничивающие Хизинскую ступень с СВ и ЮЗ, по своему внутреннему строению не являются антиклиниориями, а всего лишь гребневидными антиклиналями большой высоты, и предлагают назвать такие складки „мегантиклиналями“.



Ступени: К—Кусарская; С—Судурская; Ш—Шахдагская; Т—Тенгинская; Х—Хизинская; Тф—Тфанская; Ко—Ковдагская.

а—Разрывы, разграничающие отдельные ступени:

1—Малькамудский; 2—Гермианский; 3—Южно-Шахдагский; 4—Ерфинский; 5—Будугский; 6—Согюбский; 7—Карабулагский; 8—Северо-Шахдагский (Казма-Крызский); 9—Сиазанский (фронтальный надвиг); 10—Судурская флексура.

б—Разрывы внутри отдельных ступеней:

11—Клитский; 12—Кызылканский; 13—Бегимдагский.

в—Поперечные перегибы:

I—Усухчайский; II—Кусарчайский; III—Карачайский; IV—Вельвеличайский; V—Кызылчайский; VI—Атачайский; VII—Зоратский; VIII—Ситалчайский.

г—Поднятие палеозойского фундамента.

д—Антиклинальные складки.

е—Наложенные синклинали.

Б. В. Григорьянц [1964], указывая на ступенчатый переход от Тенги-Бешбармакского антиклиниория к Хизинской зоне (по Карабулагскому разрыву), СВ часть Хизинской ступени А. В. Вихерта выделяет в качестве самостоятельной ступени и называет ее Тенгинской. К Тенгинской ступени автор относит Тенги-Бешбармакский антиклиниорий В. Е. Хани и южнее расположенную Сегюб-Гемюр-Угахскую антиклинальную зону с заключенными между ними Чульгезидагской и Афурджинской синклиналями. Для проверки этого положения нами проанализированы геологическое строение и уровень зеркала складчатости Шахдаго-Хизинского синклиниория и Тенги-Бешбармакского антиклиниория. Полученные результаты подтвердили правильность мнения Б. В. Григорьянца. Что касается строения Тенги-Бешбармакской части Тенгинской ступени, отметим, что она на большем своем протяжении состоит из двух параллельно простирающихся антиклиналей, в результате чего ее строение больше приближается к антиклиниорию, нежели к „мегантиклинали“, и поэтому мы считаем, что Тенги-Бешбармакский антиклиниорий нельзя ставить в один ряд с Гермианской мегантиклиналью, которая представляет собой обычную надразломную складку.

Таким образом, на территории исследуемой области нами принимается наличие Тфанской, Шахдагской, Хизинской, Судурской, Тенгинской и Кусарской ступеней. Указанные ступени в продольном на-

правлении отделяются друг от друга поперечными перегибами, в связи с чем в строении исследуемой области наряду с продольной создается поперечная зональность. К числу таких перегибов нами относятся: Усухчайский, Карабулакский, Вельвелчайский и Зоратский перегибы.

Некоторые поперечные перегибы, хотя не ограничивают отдельные ступени, но значительно влияют на их внутреннее строение, а в отдельных случаях ограничивают тот или иной тектонический элемент ступеней. К таким перегибам нами относятся Кусарчайский, Кызылчайский, Атасайский и Ситалчайский поперечные перегибы.

Проведенный нами палео-тектонический анализ показывает, что основы ступенчатого строения исследуемой области были заложены во время образования вышеупомянутых продольных разрывов и строение отдельных ступеней во многом зависит от взаимоотношения этих разрывов с субширотно ориентированными среднеюрскими складками.

Установлено, что к началу верхней юры мегантиклиниорий Б. Кавказа в сечении р. Ахтычай и восточнее был расчленен на Самурский (антиклиниорий Бокового хребта), Курушский и Тфанская антиклиниории, из которых роль центрального поднятия выполнял гипсометрически наиболее приподнятый Курушский антиклиниорий, сложенный отложениями аалена и тоара.

В течение верхнеюрской эпохи на тектоническом участке, ограниченном Южно-Шахдагским, Будугским разрывами с ЮЗ и Северо-Шахдагским—с СВ, образуется Шахдагский прогиб, который замыкался у Карабайского перегиба на ЮВ. В этом относительно узком прогибе в течение верхнеюрской эпохи накапливаются известняки мощностью до 800 м, в то время как севернее, в пределах Судурской ступени отлагались песчано-глинистые образования, мощностью 100 м. Шахдагская ступень унаследовала строение указанного прогиба и имеет синклинальное строение. Она ограничена на СЗ Усухчайским, а на ЮВ Карабайским перегибами и является наложенной на СВ крыло и на далее ЮВ погружение Курушского антиклиниория. ЮЗ часть ЮВ погружения этого антиклиниория нами относится к Тфанская ступени, поскольку уровень зеркала складчатости ее близок к уровню зеркала складчатости Тфанская антиклиниория. Тфанская ступень с ЮЗ ограничена Малькамудским, а с СВ—Южно-Шахдагским и Ерфинским разрывами. Последний разрыв срезает под острым углом субширотно ориентированные складки Тфанская антиклиниория, объединяется на СЗ с Южно-Шахдагским, а на ЮВ протягивается до бассейна р. Кызылчай, где сливается с Германским разрывом и определяет СВ ограничение Коджинского тектонического участка. Резкое погружение (по Вельвелчайской фиксуре) среднеюрских отложений под верхнеюрским и неокомским указывает, что к началу верхней юры была определена и ЮВ граница Тфанская ступени, т. е. мы Коджинский тектонический участок относим к Хизинской ступени, поскольку в нем элементов унаследованности меньше, чем элементов наложенности.

В пределах Хизинской и Тенгинской ступеней элементы унаследованности преобладают в зонах поперечного поднятия, а в зонах поперечного погружения развиты наложенные синклинали и граница между указанными ступенями выражается нечетко.

Строение Тенгинской ступени осложняется Клитским разрывом, который делит ее на две части. ЮЗ часть ступени, между Клитским и Карабулакским разрывами, имеет синклинальное строение (здесь выделяются Чульгезидагская и Афурджинская синклинали), а СВ часть ее, ограниченная Клитским и Сиазанским разрывами, характеризуется очень крутым падением и даже опрокидыванием меловых и

палеогеновых отложений. Между Кызылчайским и Зоратским перегибами строение Тенгинской ступени приближается к антиклиниорному, в связи с чем этот участок совместно с СЗ частью ступени в геологической литературе носит название Тенги-Бешбармакского антиклиниория. Зоратский перегиб (впервые выявлен А. М. Сулеймановым) является ЮВ границей Тенгинской ступени. Следовательно, ЮВ продолжение Тенги-Бешбармакской зоны поднятий надо отнести к Хизинской ступени, аналогично тому, как ЮЗ часть ЮВ погружения Курушского антиклиниория относили к Тфанская, а Коджинский тектонический участок к Хизинской ступеням.

Тенгинская ступень на СЗ отделена от Шахдагской и Судурской ступеней Карабайским поперечным перегибом. Судурская ступень по Северо-Шахдагскому разрыву была отделена от Шахдагской ступени еще в верхней юре и в течение мелового периода испытала меньшее погружение, чем последняя, а в современном сечении она располагается гипсометрически на 1000 м ниже Шахдагской. Граница Судурской ступени с Кусарской проходит по крутой флексуре, на смыкающем крыле которой нижнемеловые отложения Судурской ступени перекрываются третичным комплексом Кусарской ступени. По этой флексуре коробчатые антиклинали Судурской ступени один за другим резко погружаются под третичный комплекс Кусарской ступени. Лишь Лазинская антиклиналь протягивается до Карабайского перегиба.

Описанный характер СВ границы Судурской ступени и характер распределения мощностей меловых отложений указывают, что Судурская ступень в течение верхнеюрской и нижнемеловой эпох являлась СЗ окраинной частью Кубинского перегиба, от которой она отделилась в среднемеловой тектонической фазе. В тектоническом отношении Судурская ступень является наложенной на ЮВ погружение Самурского антиклиниория.

Кусарская ступень является наиболее опущенной и ограничивается на СЗ Самурским разломом, на ЮЗ Сиазанским надвигом и Судурской флексурой; а восточная граница ее условно проводится по берегу Каспия. Эта ступень в геологической литературе описывалась под названием Кусаро-Дивичинского синклиниория. А. А. Али-заде впервые указал, что понятие „синклиниорий“ не отвечает строению ее ни по мезозойским, ни тем более по третичным отложениям.

По верхнеплиоценовым отложениям Кусарская ступень имеет региональный СВ наклон, а по нижележащим комплексам С. А. Али-заде выделяет здесь Кайнарджинский предгорный прогиб (Кубинский прогиб) и Кусаро-Дивичинскую наложенную мульду. Формирование последней происходило с начала сарматского века, хотя зачатки ее были заложены еще в барреме. Следует отметить, что в сарматском веке происходит интенсивное развитие разрывов (Самурский и Сиазанский), ограничивающих Кусарскую ступень, и они в большей степени контролируют проявление складкообразовательных движений.

Резюмируя вышеизложенное, можно отметить, что конседиментационные разрывы СВ части ЮВ Кавказа являются ведущими элементами тектоники, создают ступенчатое строение ее и предопределяют характер складчатости в пределах отдельных ступеней.

#### ЛИТЕРАТУРА

1. Али-заде А. А., Джадаров Х. Д., Соломонов Б. М. Тектоника мезозойских отложений Прикаспийского района по новейшим данным геолого-геофизических исследований. „Вопросы геологии и нефтегазоносности мезозойских отложений Азербайджана“. „Недра“, 1966. 2. Вихерт А. В., Лебедева Н. Б.,

Башилов В. И. Типы, история и механизм образования складчатости Юго-Восточного Кавказа. "Недра", 1966. З. Григорьянц Б. В. Поперечная зональность в структуре Юго-Восточного Кавказа. Сб. "Очерки по геологии Азербайджана". Изд. АН Азерб. ССР, 1964. 4. Шурыгин А. М. Условия формирования структур Юго-Восточного Кавказа. Изд. АН СССР, 1961.

АЗНИИПИ нефть,  
Управление геологии,  
трест "Азнефтегеология"

Поступило 4.III 1970

Э. М. Сүлејманов, С. Э. Элизадә, Г. Э. Гулиев, Р. А. Абдуллаев

Ч.-Ш. Гафгазын Шм.-Ш. һиссәсинин мұасир структур  
планының формалашмасында конседиментасион  
гырылмаларының рөлү һағында

ХҮЛАСӘ

Мәгаләдә Ч.-Ш. Гафгазын Шм.-Ш. һиссәсіндә Үст Жура вә Тәбашир чөкүнгүләринин литофасија вә галынлыгларының пајланмасының мұфәс-сәл тәһлили, Малкамуд—Кермиан, Җәнуби Шаһдағ, Ерғи, Будуг, Гарабулаг, Шимали Шаһдағ (Газма—Грыз), Сијәзән гырылмаларының конседиментасија хұсусијәттері олдуғу көстәрилмешdir. Бу гырылмалар арасында յерләшеш тектоник саһәләр гырышыглыг хұсусијәтләrinә вә еңи адлы чөкүнгүләр үзрә гырышыглыг күзкүсүнүн һипсометрик сәвијјәләринә көрә бир-бириндән кәскин фәргләнир. Мәнз бу хұсусијәтләр мұасир дөврдә Ч.-Ш. Гафгазын Шм.-Ш. һиссәсінин пилләвары структур гурулуша малик олдуғуну сүбүт едір. Өңрәнилән кеоложи әразидә Туфан, Шаһдағ, Хызы, Судур, Тәнкә, Гусар кими мұстәгил структур пилләләрин варлығы вә бу пилләвары гурулушун әсасының Үст Жура дөврүнүн әввәлләрindә ғојулдуғу мүәжжәнләшдирилмешdir.

АЗЭРБАЙЖАН ССР ЕЛМЛӘР АКАДЕМИЯСЫНЫН МӘРҮЗӘЛӘРИ  
ДОКЛАДЫ АКАДЕМИИ НАУК АЗЕРБАЙДЖАНСКОЙ ССР

ТОМ XXVI

№ 12

1970

ПОЧВОВЕДЕНИЕ

Г. А. САЛАМОВ

О НЕКОТОРЫХ ЗАКОНОМЕРНОСТЯХ РАСПРЕДЕЛЕНИЯ  
КРЕМНИЯ ( $\text{SiO}_2$ ) В БУРЫХ ГОРНО-ЛЕСНЫХ ПОЧВАХ  
ЮЖНОГО СКЛОНА БОЛЬШОГО КАВКАЗА  
АЗЕРБАЙДЖАНСКОЙ ССР

(Представлено академиком АН Азербайджанской ССР Г. А. Алиевым)

Каждый почвенный тип имеет свои закономерности распространения и распределения по профилю различных элементов, которые являются основными показателями почвообразовательного процесса.

Будучи природным естественно-историческим образованием, почва состоит из органической и минеральной (выветрившейся вторичной) части "окислов"  $\text{SiO}_2$ ,  $\text{Al}_2\text{O}_3$ ,  $\text{Fe}_2\text{O}_3$ ,  $\text{CaO}$ ,  $\text{MgO}$ ,  $\text{Na}_2\text{O}$ ,  $\text{K}_2\text{O}$ ,  $\text{TiO}_2$ ,  $\text{MnO}$ ,  $\text{SO}_3$ ,  $\text{P}_2\text{O}_5$ , гумуса, азота, ряда микроэлементов и других веществ.

Особое внимание в последние годы уделяется роли отдельных элементов в почвообразовании, а также условиям их образования. Данная статья посвящена характеристике некоторых закономерностей распределения кремнезема в бурых горно-лесных почвах Южного склона Большого Кавказа Азербайджанской ССР и их сравнительной характеристике в сопоставлении с аналогичными почвами других областей СССР.

Бурые горно-лесные почвы исследуемой территории распространены под буковыми, буково-грабовыми и грабовыми лесами на высоте 1100—1200—2000—2200 м и выше. Основная роль в их развитии принадлежит продуктам выветривания горных пород, биомассе буковых и грабовых лесов и другим факторам почвообразования.

Распад этого материала тесно связан с гидротермическими условиями (воздуха и почвы), деятельностью микроорганизмов, населяющих почвы, а возможно, и с промывным режимом ее, определяющим степень разложения лесной подстилки.

Различное содержание кремния в исследуемых бурых горно-лесных почвах зависит от направления почвообразования, а также степени распространения соединений кремния в почвах различных ландшафтных зон Большого Кавказа.

В результате анализа собранных нами материалов и литературных данных ряда исследователей бурых лесных почв Малого и Большого Кавказа оказалось, что валовое содержание кремния ( $\text{SiO}_2$ ) в бурых

горно-лесных почвах Южного склона Большого Кавказа колеблется от 51—54 до 65—68%. Причем количество  $\text{SiO}_2$  с глубиной иногда постепенно, а то и заметно повышается, что у коричневых лесных почв носит обратный характер.

В некоторых случаях такая закономерность может нарушаться, в зависимости от гидротермических условий почвообразования на стыке коричневых и горно-луговых почв ландшафтных зон отдельных горных систем и областей.

Если содержание кремния, входящего в состав простых и сложных силикатов, вторичных почвенных минералов и глин в верхних горизонтах исследуемых почв окажется больше 69—70%, то эти почвы постепенно изменяют свои морфологические свойства, реакцию среды, возникает белесоватость, а иллистые частицы и органо-минеральные вещества перемещаются в нижележащие горизонты и т. д.

Эти почвы постепенно переходят в слабооподзоленные бурые лесные почвы, возможно, в последующие периоды будут приобретать облик оподзоленных лесных почв.

Но этот вопрос другого направления и требует особых исследований и обоснований.

Повышение  $\text{SiO}_2$  по профилю описываемых почв можно объяснить, по-видимому, некоторой аморфностью свежеобразующегося кремнезема в результате разложения лесной биомассы, наличием промывного режима почв, а возможно, крутизной склонов гор, боковыми стоками и т. д.

Кремниевая кислота является относительно высокогидрофильным коллоидом, который насыщает почвенный раствор коллоидными частицами кремния. Они же иногда образуют гели кремния, которые покрывают поверхность почвенных частиц, агрегатов, комков как лесных, так и лесо-степных почв.

Высокая увлажненность профиля исследуемых бурых лесных почв в весенне-осенние периоды тесно связана со степенью и характером покрытия лесного полога, водопроницаемостью способностью подстилки, поглотительной способностью почв, препятствующей испарению подстилки, экспозицией склона, мощностью корнеобитаемого слоя древесных пород, требовательностью буково-грабовых лесов к почвенной влаге, питательно-зольным веществам и т. д.

Перечисленные особенности способствовали постепенному и заметному поглощению выпадающих атмосферных осадков. Эти процессы хорошо освещены в трудах В. Р. Вильямса, А. А. Роде, В. В. Пономаревой и др.

Условия высокой увлажненности профиля этих почв по мере проникновения почвенных растворов вниз обеспечили частичную миграцию коллоидных частиц кремния в нижележащие горизонты.

В результате проведения ряда стационарных наблюдений установлено, что водный режим почв под буковыми, грабовыми и влаголюбивыми дубовыми насаждениями Южного склона Большого Кавказа благоприятствует их произрастанию. Немалое значение для этого процесса имеют питательные вещества и зольные элементы, как  $\text{SiO}_2$ ,  $\text{CaO}$ ,  $\text{Al}_2\text{O}_3$ ,  $\text{Fe}_2\text{O}_3$  и др.

Результаты обобщения многочисленных данных по бурым лесным почвам различных областей и районов СССР, а также анализов по одному из характерных разрезов и по Азербайджану представлены в таблице.

Исследованиями Б. А. Джагарова (1961) и Х. Н. Гасанова (1966) установлено, что бурые лесные почвы Закатал и Пиркулей относятся к числу хорошо обеспеченных влагой, а леса требовательны к органо-

Распределение кремния ( $\text{SiO}_2$ ) в бурых горно-лесных почвах Южного склона Большого Кавказа и ряда горных областей СССР

№ разреза	Глубина, см.	% на абс. с. п.	Месторасположение	Исследователь
3042	2—7 7—26 26—74 74—106 106—134	53,98 57,28 66,67 65,38 69,38	Южный склон Большого Кавказа Буковый лес; высота 1700—1900 м Куткашенский район	Г. А. Саламов
2568	2—25 25—52 52—82 82—170	53,15 55,68 60,66 61,82	Исмаиллинский район; буково-грабовый лес Высота 1500—1700 м	Г. А. Саламов
3172	2—10 10—24 24—58 58—75 75—92 92—136	56,27 61,12 59,89 60,54 58,84 57,94	Шемахинский район Буково-грабовый лес Высота 1500 м	Г. А. Саламов
1748	2—17 17—48 48—99 99—120	60,72 63,52 63,54 66,20	Сев.-вост. скл. Большого Кавказа	Г. А. Алиев
523	3—18 18—37 37—50	66,00 67,16 67,10	Малый Кавказ Кельбаджарский район; буково-грабовый лес, высота 1700 м	М. Э. Салаев
2	2—7 7—23 23—37 37—54 54—76 76—105 Порода	47,90 56,01 60,14 58,90 56,99 56,71 61,36	Сев.-вост. часть Малого Кавказа, высота 1600—1800 м	А. Р. Ахундова
	0—3 6—14 32—40 92—100	67,06 69,03 66,78 75,64	Грузия «Бакуриани» Смешанный лес, высота 1700 м	М. Н. Сабашвили
10a	0—4 6—14 18—26	61,02 68,10 64,77	Сев. Кавказ Пихтовый лес, высота 1800 м	С. В. Зонн
	2—4 10—20 30—40 50—60	50,04 68,33 67,20 67,94	Восточный Тибет Березняково-дубовый, пихтово-словы леса, высота 3000—4000 м	С. В. Зонн

минеральным элементам, питательным веществам (N. P. K.),  $\text{SiO}_2$ ,  $\text{CaO}$ ,  $\text{MgO}$ ,  $\text{Al}_2\text{O}_3$ ,  $\text{Fe}_2\text{O}_3$  и т. д., и их количество повышается по мере разложения лесной подстилки и накопления продуктов распада в этих почвах.

По данным Г. А. Алиева (1964), в бурых лесных почвах северо-восточного склона Б. Кавказа не обнаруживается повышения  $\text{SiO}_2$  по профилю. А в слабооподзоленных бурых лесных почвах это явление выражено в обратном порядке, т. е.  $\text{SiO}_2$  возрастает книзу.

Результаты нашего исследования (1962—1965 гг.) свидетельствуют о том, что в бурых лесных почвах Южного склона Большого Кав-

каза наблюдается повышение количества кремния ( $\text{SiO}_2$ ) по профилю; а в слабооподзоленном подтипе повышения кремния книзу не наблюдается.

Из материалов исследования М. Э. Салаева (1966) вытекает, что в бурых горно-лесных почвах Малого Кавказа, содержание  $\text{SiO}_2$  по профилю постепенно повышается.

Аналогичная картина также наблюдается в исследованиях А. Р. Ахундовой (1967), где ясно выражено повышение  $\text{SiO}_2$  по профилю бурых лесных почв сев.-вост. части Малого Кавказа.

По-видимому, этот процесс является закономерной генетической особенностью бурых лесных почв Малого Кавказа.

Аналогичные данные, подтверждающие сказанное по бурым лесным почвам Грузии, содержатся в работах М. Н. Сабашвили (1948), по Северному Кавказу и Восточному Тибету—С. В. Зонна (1950, 1964) и других исследователей (см. таблицу).

На основании вышеперечисленных литературных данных и материалов нашего исследования можно сделать следующее заключение:

а) постепенное повышение содержания кремния ( $\text{SiO}_2$ ) и некоторых других элементов ( $\text{R}_2\text{O}_3$  и илистой фракции) по профилю, является одной из основных генетических особенностей и диагностическим показателем бурых горно-лесных почв Азербайджана;

б) увеличение содержания кремнезема ( $\text{SiO}_2$ ) по профилю исследуемых бурых лесных почв происходит в результате распада подстилки, при этом их поглощающий комплекс почв не успевает вступать в реакцию со свежеобразовавшимися окислами кремния, и они постепенно уносятся вместе с почвенными растворами (по-видимому, фульватами) вниз;

в) при выделении „типа“ бурых лесных почв наряду с учетом морфологических особенностей, условий образования почв и химических свойств следует обратить особое внимание на характер распределения в них кремнезема ( $\text{SiO}_2$ ).

## ЛИТЕРАТУРА

1. Элиев Н. Э. Бејук Гафгазын шимал-шәрг һиссәсинин мешә вә мешә-бозыр торпаглары. Бакы, 1964.
2. Ахундова А. Р. О бурых горно-лесных почвах Малого Кавказа. Труды Ин-та почвоведения и агрохимии, т. XIII. Баку, 1965.
3. Гасанов Х. Н. Генетическая характеристика бурых горно-лесных остаточно-карбонатных почв юго-восточной оконечности лесной зоны Большого Кавказа. „Изв. АН Азерб. ССР“, № 4, 1956.
4. Джографов Б. А. Влияние буковых лесов на изменение почвообразовательного процесса и производительность почв Закатальского заповедника. Баку, 1951.
5. Сабашвили М. Н. Буроземные лесные почвы Грузии. „Почвы Грузии“. Тбилиси, 1948.
6. Салаев М. Э. Горно-лесные бурые почвы Малого Кавказа. „Почвы Малого Кавказа“. Баку, 1953.
7. Саламов Г. А. Бурые горно-лесные почвы Исмаиллинского района Большого Кавказа. Львов, 1963.
8. Саламов Г. А. Географические закономерности распределения горно-лесных почв Юго-Восточной части Большого Кавказа. Баку, 1965.
9. Зонн С. В. Горно-лесные почвы Северо-Западного Кавказа. М., 1950.
10. Зонн С. В. Высокогорные лесные почвы Восточного Тибета. М., 1964.
11. Пономарева В. В. О роли гумусовых веществ в образовании бурых лесных почв. „Почвоведение“, № 12, 1962.

К. А. Саламов

Бејук Гафгазын өңүб јамачынын ғонур дағ-мешә торпагларында  $\text{SiO}_2$ -нин пајланмасынын бә'зи ғанунаујғуилуғы һағында

## ХУЛАСӘ

Тәдгиг етдијимиз ғонур дағ-мешә торпагларында силиснум оксидинин ( $\text{SiO}_2$ ) профил боју тәдричән чохалмасы мешә хәзәлиниң вә дәшәмәснин парчаланмасы нәтичәсіндә торпагларда гида маддәләри-нин, минерал бирләшмәләрин топланмасы илә әлагәдардыр. Үмумиј-јәтлә, бу торпаглар յуулма режиминә маликдир. Парчаланма заманы жени әмәлә қәлмиш силиснум оксиди ( $\text{SiO}_2$ ) аморф һалында олур. Белә һалда  $\text{SiO}_2$ -нин коллондал һиссәчикләри торпаг мәһилулу васитә-силә тәдричән ашағы гатлара дөгру миграция едир. Бу процесе յағ-мурларын бејук тә'сири вардыр. Силиснум оксидинин ( $\text{SiO}_2$ ) ғонур дағ-мешә торпагларында профил боју тәдричән чохалмасы мұхтәлиф тәдгигатчыларын әсәрләріндә дә гејд едилшишdir (чәдвәлә бах).

$\text{SiO}_2$  илә бирликдә  $\text{R}_2\text{O}_3$ , лил фраксијасы вә бир чох элементләрин торпаг профили боју чохалмасы ғонур дағ-мешә торпагларынын әсас кенетик хүсусијәтләріндән вә диагностик көстәричиләріндән һесаб олунур.

Ғонур дағ-мешә торпагларынын бир „тип“ кими тә'жининде, мор-фологи хүсусијәтләри, торпагемәләкәлмә шәрәнтини, кимҗәви тәр-киби нәзәрә алдыгда, силиснум оксидинин ( $\text{SiO}_2$ ) торпаг профили боју пајланма хүсусијәтинә дә хүсуси фикир верилмәлидир.

ФИТОХИМИЯ

УДК 547.581.972.9—3

М. А. РАГИМОВ, А. А. НАСУДАРИ

ИССЛЕДОВАНИЯ ПЛОДОВ ОБВОЙНИКА,  
ПРОИЗРАСТАЮЩЕГО В АЗЕРБАЙДЖАНЕ

(Представлено академиком АН Азербайджанской ССР А. И. Каравым)

Обвойник — *Periploca graeca* L. — многолетний вьющийся кустарник из семейства ластовицовых — *Asclepiadaceae*. Стебли ветвистые, обвивая другие деревья, достигают 25 м длины. Листья супротивные, молодые ланцетные, а более старые овальные или яйцевидные. Цветы обоеполые, на концах ветвей в рыхлых полузонтиках. Обвойник в диком виде произрастает в южной Европе, умеренных краях Азии и в тропических районах Африки, в СССР. Он распространен в южной части Украины, на Кавказе, в Молдавской ССР и Средней Азии. Обвойник культивируется в Испании, Франции, Германии, Греции, Японии, Индии, Китае, Северной Африке, СССР и других местах как декоративная лиана.

В 1897 г. из коры обвойника выделен гликозид „периплоцин“ ( $C_{30}H_{56}O_{13}$ ). Его агликон „периплогенин“ ( $C_{23}H_{21}O_5$ ) близок к строфантину [1, 9].

М. Д. Машковский [5] указывает, что периплоцин является активным сердечным средством; по фармакологическим свойствам приближается к строфантину, однако уступает ему по скорости и силе действия. Применяют периплоцин преимущественно больным с недостаточностью кровообращения II—А и II—Б степени.

Для получения лекарства используется кора его стебля. Кору обвойника заготовляют в период сокодвижения растений. Кусты обвойника до 3 лет бывают маленькие, а побеги тонкие, поэтому последнее можно заготовить, начиная с 5 года жизни растений. Использованные кусты повторно можно собрать только через 3 года.

К. С. Муджири указывает, что в листьях обвойника также содержится гликозид — периплоцин [6]. Наши опыты показали, что сбор коры обвойника не рентабелен.

В наших условиях обвойник обильно плодоносит, сбор плодов его не представляет трудности и не влияет на дальнейший нормальный рост и развитие растения. Однако о химической природе плода обвойника в литературе нам необходимых сведений найти не удалось. Поэтому мы подвергли плоды обвойника частичному химическому исследованию и пришли к выводу, что они парные, редко одиночные,

70

листья длиной 8—12 см. Семена веретеновидные, 10—12 мм длины с хохолком на концах. Для исследования плоды обвойника собирались с кустов, выращенных в Ботаническом саду Института ботаники АН Азербайджанской ССР. В плодах обвойника мы определили наличие сердечных гликозидов, флавоноидов и сапонинов.

Для определения сердечного гликозида навеску (10 г) экстрагировали 30%-ным этиловым спиртом. Экстракцию проводили настаиванием в течение двух суток, изредка перемешивая. Затем экстракт фильтровали. После фильтрации для осаждения балластных веществ к фильтрату добавляли насыщенный раствор ацетата свинца. Раствор взбалтывали и оставляли, после стояния раствор отделяли от осадка путем фильтрования. Избыток ионов свинца удаляли путем прибавления насыщенного раствора сернокислого натрия с последующим фильтрованием.

Из водного раствора гликозиды извлекали несколько раз (пять раз) смесью хлороформа и спирта (3:1) порциями по 25 мл. Хлороформо-спиртовое извлечение объединяли, обезвоживали безводным сульфатом натрия, фильтровали и растворитель отгоняли досуха.

С полученным гликозидным остатком мы проводили характерные для сердечных гликозидов качественные реакции Келлер—Кильiani и Легаля [4]. Данные реакции дали положительные результаты, что указывает на наличие сердечных гликозидов в исследуемом объекте.

Для обнаружения флавоноидов в данном материале предварительно обезжириенную петролейным эфиром навеску в 10 г экстрагировали 96% этиловым спиртом. Экстракция производилась при нагревании на водяной бане. Спиртовый экстракт фильтровали и концентрировали под вакуумом до 20 мл. В концентрированном растворе наличие флавоноидов определяли специфическими реакциями [2, 4, 8].

В всех случаях получены положительные результаты, что свидетельствует о наличии флавоноидов в плодах исследуемого вида обвойника.

Далее нами были проведены опыты на том же материале, в результате которых обнаружены сапонины. Для этого мы использовали общепринятый метод пенообразования.

В основе данного метода лежит способность сапонинов образовывать при встряхивании водных растворов стойкую пену. Водные вытяжки из плодов обвойника приготовляли по ГФ СССР, IX изд. При встряхивании вытяжка давала стойкую обильную пену, что указывало на наличие сапонинов в данном материале.

Кроме того, нами была определена химическая природа сапонинов плодов обвойника [4]. Установлено, что сапонины плодов обвойника относятся к тритерпеновой группе.

Обвойник в Азербайджане распространен на Большом Кавказе, в низовых лесах Худат-Хачмасского массива, в Шеки-Закатальской зоне, на Малом Кавказе — в лесах Зангеланского, Кубатлинского, Гадрутского районов и в Ленкоранской зоне. Самые большие заросли обвойника сосредоточены в Худат-Хачмасском, Астара-Ленкоранском, и Закатало-Белоканском массивах.

Обвойник в Азербайджане в культуре встречается в Сальянах, Сабирабаде, Али-Байрамлах, Мингечеяре, Сумгаите и в других городах. В Баку он имеется в Ботаническом саду АН Азербайджанской ССР, парк ах им. С. М. Кирова, им. Дзержинского и др.

Обвойник размножается семенами, делением куста, черенкованием и отводками. Выращенное из семян годичное растение имеет один побег. Двухлетний куст имеет 3 побега и т. д. Обвойник начинает цветти с 3-летнего возраста. После увядания цветка, через 25—35

дней, плоды обвойника достигают своей нормальной величины. Они долгое время (20—25 дней) остаются зелеными. С наступлением осени плоды обвойника начинают созревать. Созревшие плоды становятся сначала светлыми, а затем темно-коричневыми. Плоды обвойника на побегах сидят долго, примерно до декабря.

В Азербайджане обвойник цветет с середины мая до конца июня. На побегах образуется очень много цветов, однако большая часть их опадает. Во время цветения необходим обильный полив один раз в неделю и внесение 5 кг навоза в приствольный круг обвойника. Это на 50% увеличивает образование плодов по сравнению с контрольными кустами. Заметное плодоношение у обвойника наступает на четвертом году жизни и с каждым годом оно увеличивается. Например, с одного куста обвойника, выращенного на Ашхероне, можно собрать (в граммах) воздушно-сухие плоды в среднем от 4-летнего—55 г, 5-летнего—180 г, 6-летнего—250 г, 7-летнего—370 г, 10-летнего—800 г и т. д.

Урожай плодов в два раза превышает урожай коры стебля, собранной из одновозрастных растений [7]. Самым эффективным при этом является то, что после сбора коры с куста обвойника в течение последующих трех лет этот куст урожая не дает, а плоды обвойника с одного и того же куста собираются каждый год.

### Выводы

1. В результате частичного изучения гликозидного состава плода обвойника нами обнаружено наличие сердечных гликозидов, флавонидов и сапонинов, которые подлежат глубокому химическому исследованию.

2. Необходимо выяснить фармакологическое действие препаратов, получаемых из плодов обвойника, и при положительном результате следует заменить сбор коры сбором плодов.

3. Плоды обвойника (после тщательного исследования) можно рекомендовать как новое дополнительное местное сырье для промышленного получения различных сердечно-сосудистых препаратов.

### ЛИТЕРАТУРА

1. Атлас лекарственных растений СССР. Медгиз, 1962.
2. Гейсман Т. Антоцианы, халконы, аураны, флавоны и родственные им водорастворимые растительные пигменты. Биохимические методы анализа растений. М., 1960.
3. Государственная фармакопея СССР, IX, изд. М., 1961.
4. Лазурский Г. В., Терентьева И. Е., Шамшири А. А. Определение гликозидов сердечного действия в растениях. Практические работы по химии природных соединений. М., 1966.
5. Машковский М. Д. Лекарственные средства. М., 1957.
6. Муджири К. С. О получении сердечного средства периплоцина и о его физико-химических свойствах. Сб. трудов НИ фармацевтического ин-та, кн. 1. Тбилиси, 1937.
7. Рагимов М. А., Кязимова Т. Г. Обвойник в природе и в культуре Азербайджана. Изв. АН Азерб. ССР, биол. серия, № 5, 1967.
8. Теслов С. В. Флавониды среднеазиатских термопсисов. Труды Ташкентского фарм. ин-та, т. III, Ташкент, 1962.
9. Энциклопедический словарь лекарственных, эфиромасличных и ядовитых растений. М., 1951.

Институт ботаники

Поступило 16. IV 1968

М. Э. Рәһимов, Э. Э. Нәсудәри

Азәрбајҹанда битән һөјәмәниң мејвәләринин тәдгиги

### ХУЛАСӘ

Һөјәмә чохиллик сармашан колдур. О, Авропа, Асија вә Африка да битир. ССРИ-дә Украина, Гафгас, Молдавија вә Орта Асијада йајылмышдыр. Һөјәмә сох гәдимдән дәрман биткиси кими истифада

едилице. Франса, Испанија, Јапонија, Чин, Һиндистан, ССРИ-дә исә бәзәк биткиси кими бечәрилир.

1897-чи илдә һөјәмәниң габығындан „периплосин“—үрәк глукозиди алышынышдыр. Бу глукозиддән мұхтәлиф үрәк хәстәлікләринин мәденичәси үчүн дәрманлар һазырланыр. Биткисинин габығыны топлајанда һөјәмә колу тәләф олдуғуна көрә онун башга органларындан истифадә етмәк зәрурийети ортаға чыхыр. Бу мәгсәдә һөјәмәниң мејвәләрини тәдгиг едиб, онун тәркибинде үрәк глукозиди, флавоноид вә сапониннеләри олдуғуны мүәлләштирдидик.

Һөјәмәниң 4 јашлы колундан 55 г, ониллик колундан исә 800 г гуру дәрман мәңсулу—мејвә топламаг олар. Бу мигдар ејни јашлы коллардан топланан габығдан ики дәфә өткөрді.

Һөјәмәниң мејвәсіндән дәрман препаратлары һазырламаг үчүн ондан алышынан биологи актив маддәләри кимәлеви вә фармакологи чәнәттән дәриндән өткөрмәк лазымыдыр.

ФИЗИОЛОГИЯ РАСТЕНИЙ

Р. М. МЕХТИЗАДЕ, Д. Х. ЛЯТИФОВ, Л. А. БАНИШЕВСКАЯ, Н. А. ГАДЖИЕВА

ИСПЫТАНИЯ ХЛОРХОЛИНХЛОРИДА В ПОСЕВАХ ОЗИМОЙ  
ПШЕНИЦЫ В УСЛОВИЯХ БЕЛОКАНО-ЗАКАТАЛЬСКОЙ ЗОНЫ  
АЗЕРБАЙДЖАНСКОЙ ССР

(Представлено академиком АН Азербайджанской ССР И. К. Абдуллаевым)

В борьбе с полеганием пшеницы большая работа проведена селекционерами многих стран, в результате которой зерновое хозяйство получило немало сортов, отличающихся высокой устойчивостью к полеганию. Однако до настоящего времени не удалось путем подбора сортов полностью ликвидировать это явление.

Многие непревзойденные сорта озимой и яровой пшеницы при больших нагрузках обнаружили склонность к полеганию.

В настоящее время мировое зерновое хозяйство ежегодно теряет до 25 и более процентов урожая из-за полегания хлебных злаков.

В нашей республике наблюдаются также значительные потери урожая за счет полегания пшеницы. В этом отношении отличаются районы с обильными атмосферными осадками и орошением.

В связи с тем, что в настоящее время зерновому хозяйству республики предъявляются большие требования в повышении урожая с единицы площади, то, как правило, он достигается в большинстве случаев внедрением высокоурожайных и устойчивых к полеганию сортов, применением высоких доз минеральных удобрений, в частности азота, и поливов.

Как известно, в условиях обильного увлажнения и удобрения в основном все сорта пшеницы в той или иной мере проявляют склонность к полеганию.

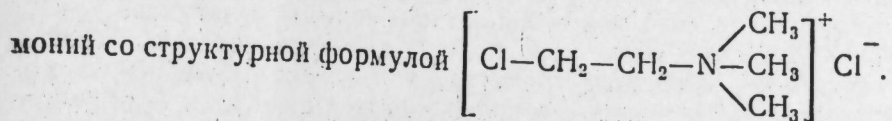
Следовательно, применяемые мероприятия не полностью разрешают задачу повышения урожайности озимой пшеницы.

Во многих районах возделывания пшеницы, особенно в условиях интенсивного земледелия, вопрос борьбы с полеганием приобретает весьма важное значение.

В связи с этим возникает необходимость поиска новых дополнительных средств в борьбе с полеганием. Одним из эффективных и перспективных средств борьбы с полеганием растений являются химические регуляторы роста.

За последние годы химиками синтезировано много новых веществ,

обладающих способностью задерживать рост растений в длину. Среди этих веществ, особый интерес представляет открытый Тольбертом [10] ретардант хлорхолинхлорид-хлористый (2-хлорэтил)триметилам-



Хлорхолинхлорид (сокращенно ССС) обладает широким спектром действия. Он задерживает рост стебля в длину, вызывает утолщение стебля, усиливает формирование механических и проводящих тканей нижних междуузлий. Обработка этим препаратом приводит к увеличению ширины листьев, увеличению содержания хлорофилла в них, усилению интенсивности фотосинтеза и дыхания растений, способствует уменьшению содержания ауксинов и гиббереллинов в растениях и оказывает существенное влияние на эти процессы, косвенным образом влияет на продуктивность пшеницы [1, 2, 3, 4, 5, 6, 7, 8, 9, 10].

Ряд работ, проведенных за последние 8 лет во многих странах (США, Австрия, ФРГ, Польша, Франция, Италия, Чехословакия, ГДР и др.), показал, что с помощью этого препарата можно эффективно бороться с полеганием пшеницы в условиях интенсивного земледелия.

Следует отметить, что главными факторами, определяющими эффективность этого препарата в борьбе с полеганием зерновых культур, являются сроки, дозы и способы обработки.

Эти вопросы до настоящего времени недостаточно изучены в различных почвенно-климатических условиях СССР. В нашей республике впервые к испытанию этого препарата приступили 1966 г. Прежде всего была поставлена задача установить дозы, сроки и разработать наиболее рациональные способы применения препарата ССС.

Опыты были заложены на полях Закатальской зональной опытной станции на больших делянках (каждая делянка 625 м<sup>2</sup>).

Применялся отечественный препарат хлорхолинхлорид производства Кемеровского азотнотукового завода, имеющий фирменное название ТУР, содержащий 70% действующего вещества.

Посев был произведен во второй половине октября 1967 г. на фоне полного минерального удобрения (N<sub>90</sub>P<sub>90</sub>K<sub>60</sub>) с последующим внесением подкормки (N<sub>90</sub>P<sub>60</sub>) в период кущения.

Обработка посевов препаратом хлорхолинхлорида производилась в период начала выхода растений в трубку (1. IV 1968) из расчета 4, 6, 8, 12 кг действующего вещества на 1 га. Опрыскивание производилось тракторным опрыскивателем.

Результаты проведенных работ (табл. 1) с озимой пшеницей на сорте Бол-Бугда показали, что все применяемые дозы ССС оказали положительное влияние на укорачивание стебля. Укорачивание длины стебля у обработанных растений достигает 15—25 см или 13,1—21,9% по сравнению с контролем. Наибольшее укорачивание происходит при обработке 8—12 кг ССС на 1 га. Если обратить внимание на относительные данные, то можно заметить, что наибольшее укорачивание происходит в нижних междуузлиях. Так, при обработке препаратом в количестве 6—8—12 кг на 1 га укорачивание нижних междуузлий (4—1) составляет 20—33,4%, а верхних (4 и 5)—9,3—20%.

Однако по абсолютной величине верхние междуузлия во всех случаях укорачиваются в больших пределах (5—8 см), чем нижние (1—2 см).

При обработке препаратом ССС у растений увеличивается диаметр

стебля. Так, диаметр нижних междуузлий при дозе 6 кг на 1 га увеличивается на 2,9%, при 8 кг—9,1, при 12 кг—9,1% по сравнению с необработанными растениями. Как свидетельствуют литературные данные, утолщение стебля озимой пшеницы в данном случае происходит главным образом за счет образования склеренхимы и лигнина.

Из приведенных данных очевидно, что активное подавление роста в длину у озимой пшеницы Бол-Бугда под влиянием CCC происходит в основном за счет ингибирования роста междуузлий, одновременно с этим происходит и утолщение стебля. Эти изменения приводят к увеличению механической прочности стебля, вместе с тем и к повышению устойчивости растений к полеганию. Последнее подтверждается данными, полученными при определении устойчивости опытных растений к полеганию.

Данные, приведенные в табл. 2, показывают, что при сильном полегании контрольных растений опытные растения, обработанные 4 кг CCC на 1 га, полегли в значительно меньшей степени, а растения, обработанные 6—8—12 кг на 1, га не обнаружили никакого признака полегания.

Отсюда очевидно, что озимая пшеница Бол-Бугда проявляет высокую отзывчивость на действие CCC. И эффективность этого препарата в определенной мере зависит от применяемой концентрации. Наши исследования показали, что CCC оказывает также существенное влияние на отдельные элементы продуктивности озимой пшеницы. Выяснилось, что под влиянием этого препарата озерненность колоса заметно увеличивается при норме 8 и 12 кг на 1 га—на 9,3 и 12,5%, вес зерна с одного колоса увеличивается соответственно на 16—20%. Эти данные свидетельствуют о том, что увеличение веса зерна главным образом осуществляется за счет увеличения числа зерен в колосе и, как видно из наших данных, частично и за счет повышения абсолютного веса зерна.

Положительное влияние препарата на элементы продуктивности пшеницы выразилось в повышении урожайности. Наибольшее увеличение урожая зерна наблюдается при обработке CCC 8 и 12 кг на 1 га, при этом прибавка урожая соответственно составляла 8,56 и 13,6 ц на 1 га. Урожай соломы у обработанных растений снизился на 7%.

Как было отмечено выше, в контрольных посевах наблюдалось сильное полегание, вследствие чего абсолютный вес зерна у этих растений был меньше, чем у обработанных. Таким образом, увеличение урожая зерна у обработанных растений в основном шло за счет повышения озерненности колоса и некоторого возрастания абсолютного веса зерна. Так как у обработанных растений полегания не наблюдалось, прибавка урожая в этом случае была более высокая по сравнению с урожаем необработанных растений.

В наших исследованиях также было обращено внимание на изменение хлебопекарного свойства зерна у растений, обработанных хлорхолинхлоридом.

Результаты этих работ показали, что по хлебопекарным качествам наилучшим вариантом по сравнению с контролем оказался вариант, где применялся хлорхолинхлорид 12 кг на 1 га\*.

Данные, приведенные в табл. 3, указывают на то, что обработка хлорхолинхлоридом не приводит к ухудшению хлебопекарного качества

\* Хлебопекарные свойства были изучены в лаборатории зерна Института генетики и селекции АН Азерб. ССР канд. техн. наук А. Г. Гусейновым, которому авторы выражают глубокую благодарность.

Таблица 1

Варианты опыта (CCC, кг/га)	Длина стеблей		Длина междуузлий									
	см	% от контр.	I		II		III		IV		V	
			см	% от контр.	см	% от контр.	см	% от контр.	см	% от контр.	см	% от контр.
0	124	100	3,5	100	6,0	100	10	100	23,0	100	30	100
4	109	87,9	3,4	97,1	6,0	100	10	100	18,0	84,0	26	86,0
6	106	85,5	3,6	102,9	5,0	83,3	8	80	18,4	80,0	24	80,0
8	99	79,0	3,8	109,1	3,7	63,3	8	80	17,0	76,0	24	80,0
12	99	79,0	3,8	109,1	3,9	66,6	7	70	18,4	80,0	24	80,0

Таблица 2

Варианты опыта (CCC, кг/га)	Длина колоса		Вес				Количество зерен в колосе				Урожай, ца		Оценка устойчив. к полеган. в баллах	
	см	% от контр.	зерн. с од. колоса, г	1 000 зерен, г	солом. с 1 га растен.	шт.	% от контр.	шт.	100	2,8	32	20,64		
			см	% от контр.	см	% от контр.	шт.	% от контр.	шт.	% от контр.	шт.	% от контр.		
0	8,3	100	2,5	1,25	45,6	2,8	2,8	31	96,8	24,64	100	100	2	
4	8,4	101	2,8	1,40	46,1	2,8	3,0	33	103,1	25,20	119,3	119,3	4	
6	8,5	103	2,7	1,47	46,8	2,6	3,5	35	109,3	28,56	122,0	122,0	5	
8	8,5	103	2,9	1,55	47,0	2,6	3,6	36	112,5	33,60	138,2	138,2	5	
12	8,7	105	3,0	1,60	47,8	2,6					162,3	162,3	5	

Влияние CCC на рост стебля пшеницы

Таблица 3

## Хлебопекарные свойства

Вариант	Цвет хлеба	Поверх- ность хлеба	Форма хлеба	Эластич- ность мя- киша хлеба	Пористо- сть, %	Объемный вход хлеба из 100 г муки, мл	Общая хле- бопекарная оценка по 5-балльной системе
Контроль	Белая	Сл.бул.	2	Удовлетв.	70	540	5
CCC-4	-	-	-	-	70	550	5
CCC-5	-	-	-	-	70	520	4
CCC-6	-	-	-	-	65	500	4
CCC-12	Розов.	Розов.	3	Хорошая	75	570	5

зерен, в отдельных случаях оказывает даже положительное влияние. Эти факты свидетельствуют о том, что CCC как дополнительное средство в борьбе с полеганием пшеницы имеет большие перспективы. Он может быть использован широко в зерновом хозяйстве, особенно в тех районах, где природные условия и применение высокой агротехники приводят к сильному полеганию пшеницы. Именно в этих условиях препарат CCC дает чрезвычайно высокий эффект.

В условиях Закаталя для Бол-Бугда наиболее эффективными являются дозы CCC 8–12 кг на 1 га.

Для выяснения причины задержки роста растений в длину при обработке CCC нами было изучено изменение содержания гиббереллиноподобных веществ (ГПВ) в листьях под влиянием этого препарата.

Содержание ГПВ изучалось по методу, предложенному сотрудническими лаборатории роста и развития растений Института растений АН СССР.

Таблица 4

## Содержание гиббереллиноподобных веществ в листьях пшеницы

Вариант	Дата опыта	Лабораторные		Варианты	Дата опыта	Полевые	
		мкг на 100 г сырого веса	мкг на 100 г сырого веса			в мкг на 100 г сырого веса	в мкг на 100 г сырого веса
Контроль	Март	116,0	Контроль	Май		40,2	
CCC-0,5%	.	76,6	CCC-4 кг/га	.		40,0	
CCC-1,0%	.	30,0	CCC-6	.		40,2	
CCC-1,5%	.	25,0	CCC-8	.		36,6	
CCC-2,0%	.	30,0	CCC-12	.		16,6	

Сравнение данных табл. 4 и 1 показало, что между ростом растений и накоплением ГПВ в листьях имеется прямая зависимость.

Как правило, наибольшее количество ГПВ наблюдается в листьях растений контрольного варианта. По мере увеличения применяемой дозы хлорхолинхлорида сильно задерживается рост в длину, при этом обнаруживается резкое уменьшение ГПВ в листьях пшеницы.

Наименьшее его содержание отмечено в условиях применения высоких доз CCC.

Как известно, одной из ответных реакций растений на условия обильного увлажнения и азотного питания является образование большого количества ГПВ, что в этих условиях обеспечивает интенсивный рост растений.

Наши данные показывают, что введение в растения хлорхолин-

хлорила задерживает синтез и накопление ГПВ в них, тем самым предотвращает чрезмерно усиленный рост растений в этих условиях.

Отсюда можно полагать, что ингибирующее действие хлорхолинхлорида на рост растений в основном осуществляется через задержку синтеза гиббереллиноподобных веществ в растениях.

## ЛИТЕРАТУРА

- Зенищева Л. С., Бездек В. И. О возможности применения ССС хлорхолинхлорида в борьбе с полеганием хлебных злаков. "Агрохимия", № 9, 1967.
- Королев Л. И., Гулидов А. М. Изучение возможности применения хлорхолинхлорида для предотвращения полегания озимой пшеницы и ячменя. "Агрохимия", № 1, 1967.
- Петербургский А. В., Куюкин А. Н. Действие хлорхолинхлорида на рост и развитие проростков пшеницы. "Изв. ТСХА", вып. 1, 1967.
- Прусакова Л. Д. Физиологическое обоснование применения хлорхолинхлорида. "Химия в сельском хозяйстве", № 9, 1967.
- Чайлехян М. Х. Влияние ретардаторов на рост и цветение растений. "Физиол. раст.", вып. 5, 1967.
- Черемисинов Г. А. Хлорхолинхлорид, его эффективность против полегания пшеницы и условия рационального применения. "Химия в сельском хозяйстве", № 4, 1967.
- Штрауб И. Винхус Ф., Удачин Р. А. Действие хлорхолинхлорида на озимую пшеницу. "Вестник с/х наук", № 8, 1967.
- Linsig H., Maug H. H., Bodo E. Über die Wirkung von chlorcholinchlorid auf Sommer-Weizen Boden Kultur; A. 12, 1961.
- Cathey H. M., Stuart N. W. Comparative plant growth retarding activity of AMO-1618 phosphon and CCC. Bot. Gaz., v. 123, № 1, 1961.
- Tolberg N. E. (2-chloroethyl) trimethylammonium chloride and related compounds as plant growth substances. I. chemical structure and bioassay. J. Biol. chem. v. 235, 1960.

Институт ботаники

Поступило 27. XII 1968

Р. М. Мейдизадэ, Ч. Х. Латифов, Л. А. Банишевская Н. А. начыјева

Азэрбајҹанын Балакэн-Загатала зонасында  
хлорхолинхлоридин гышлыг буғдаларынын  
јатмасына гарши мүбаризәдә ишләдилмәси

## ХУЛАСӘ

Хлорхолинхлорид бир чох биткиләрин көвдәсинин узунуна бөјүмәсина ләнкиди, көвдәни галылашмасына мүсбәт тә'сир көстәрир, ашагы буғумаларында механики вә кечиричи тохумаларын әмәлә кәлмәсими сур'этләндирir. Белә биткиләрдә јарлагларын ени артыр, онларда хлорофилин мигдары чохалыр, фотосинтез вә тәнәффүс просесләринин интенсивлиji јүксәлир.

Хлорхолинхлорид гышлыг буғдаларынын јатмасыны гарши алыр. Одур ки, сон вахтлар бу препарат дүијанын бир чох өлкәләриндә тахыл биткиләрини јатмасына гарши мүбаризәдә кениш мигјасда тәтбиғ олунмага башламышдыр.

Загатала зонасында апардығымыз тәчрүбәләрдән мүәјјән едилмишdir ки, нектара 8–12 кг хлорхолинхлорид чиләдикдә. Бол-Бугда сортунун саһәләриндә тахылын јатмасы мүшәнидә едилир вә һәммән саһәләрдә мәһсүлләрләгәр һәр һектарда 8,6–13,1 сент-ә гәдәр артыр.

Тахыл биткиләринин јатмасына гарши мүбаризәдә хлорхолинхлоридин тәтбиғ едилмәси олдугча кениш перспективә маликдир.

А. А. АЛИЕВ, З. М. МАМЕДОВ

**РЕЗУЛЬТАТЫ ИССЛЕДОВАНИЙ ПО ИЗУЧЕНИЮ  
ЭНТОМОФАГОВ ВРЕДИТЕЛЕЙ САДА В АЗЕРБАЙДЖАНЕ**

(Представлено академиком АН Азербайджанской ССР Д. М. Гусейновым)

Плодоводство является важнейшей отраслью сельского хозяйства, которая имеет больше значение в экономике республики. В Азербайджане плодоводство сосредоточено преимущественно в следующих зонах: Шеки-Закатальской, Куба-Хачмасской и Нахичеванской АССР. Последние две зоны являются основными поставщиками плодов для республики. Несмотря на то, что в этих зонах применяется большой комплекс химических мероприятий по истреблению вредителей, расходуются огромные средства, однако подавить массовое размножение вредителей не удается, они по-прежнему размножаются в больших количествах и имеют первостепенное экономическое значение. В связи с этим мы и задались целью изучить энтомофаги вредителей сада в указанных зонах.

Изучение паразитов и хищных насекомых—основных вредителей имеет важное практическое значение для применения их в дальнейшем в биометоде защиты растений.

Работа по изучению энтомофагов вредителей плодовых культур в Азербайджане проводилась в 1960—1968 гг. В результате многолетних исследований, проведенных в различных зонах, выявлен 51 вид первичных паразитов и 31 вид хищников, регулирующих численность вредителей в различных фазах развития. В основном выявлены энтомофаги следующих основных вредителей: яблонная моль, яблонная плодожорка, плодовая моль, фруктовая полосатая моль, сливовая плодожорка, непарный шелкопряд, розаная и почковая листовертка. Из сосущих: кровяная тля, тетраниховые клещи. Выявленные нами паразиты относятся к 6 семействам перепончатокрылых, к 3 семействам двукрылых и др. Среди выявленных паразитов также имелось 4 вида вторичных паразитов.

В таблице приводится список выявленных энтомофагов с указанием хозяев, распространенности по зонам и т. д. Как видно из таблицы, 19 видов являются паразитами фруктовой полосатой моли, 18—паразитами яблоневой моли, 13—паразитами яблонной плодожорки, 8—паразитами сливовой плодожорки, 14—паразитами непарного шелкопряда, 5—паразитами листоверток. Из приведенных паразитов мно-

Энтомофаги вредителей садов в Азербайджане

№ п. п.	Виды	Хозяева								Зоны		
		1	2	3 фруктовая полосатая молль	4 яблоневая моль	5 плодовая моль	6 яблонная плодожорка	7 сливовая плодожорка	8 непарный шелкопряд	9 розаная листовертка	10 нахичеванская АССР	11 Шеки-Закатальская
<b>BRACONIDAE</b>												
1	<i>Habrobracon hebetor</i> Say.	+	—	—	—	—	—	—	—	—	—	—
2	<i>Habrobracon variegator</i> Spin.	++	—	—	—	—	—	—	—	—	—	—
3	<i>Habrobracon</i> sp. <sub>1</sub>	++	—	—	—	—	—	—	—	—	—	—
4	<i>Habrobracon</i> sp. <sub>2</sub>	++	—	—	—	—	—	—	—	—	—	—
5	<i>Agathis malvacearum</i> Lart.	++	—	—	—	—	—	—	—	—	—	—
6	<i>Microdus dimidiatus</i> Nees.	++	—	—	—	—	—	—	—	—	—	—
7	<i>Baeognata armeniaca</i> Tel.	++	—	—	—	—	—	—	—	—	—	—
8	<i>Ascogaster quadridentata</i> Wesm.	++	—	—	—	—	—	—	—	—	—	—
9	<i>Ascogaster</i> sp.	++	—	—	—	—	—	—	—	—	—	—
10	<i>Apanteles solitaricus</i>	++	—	—	—	—	—	—	—	—	—	—
11	<i>Apanteles filipes</i>	++	—	—	—	—	—	—	—	—	—	—
12	<i>Apanteles</i> sp.	++	—	—	—	—	—	—	—	—	—	—
13	<i>Orgilus laevigator</i> Nees.	++	—	—	—	—	—	—	—	—	—	—
14	<i>Oncophanes lanceolator</i> Nees.	++	—	—	—	—	—	—	—	—	—	—
15	<i>Meteorus confinius</i> Ruthe.	++	—	—	—	—	—	—	—	—	—	—
16	<i>Meteorus versicolor</i> Wesm.	++	—	—	—	—	—	—	—	—	—	—
17	<i>Meteorus</i> sp.	++	—	—	—	—	—	—	—	—	—	—
<b>ICHNEUMONIDAE</b>												
18	<i>Therohja atlantae</i> R.	—	—	—	—	—	—	—	—	—	—	—
19	<i>Nythobia (-A-) armillata</i> Grav.	—	—	—	—	—	—	—	—	—	—	—
20	<i>Nythobia</i> sp.	—	—	—	—	—	—	—	—	—	—	—
21	<i>Pimpla turionella</i> L.	—	—	—	—	—	—	—	—	—	—	—
22	<i>Pimpla spuria</i> F.	—	—	—	—	—	—	—	—	—	—	—
23	<i>Pimpla examinator</i> F.	—	—	—	—	—	—	—	—	—	—	—
24	<i>Pimpla instigator</i> F.	—	—	—	—	—	—	—	—	—	—	—
25	<i>Itoplectis europeator</i> Fu b.	—	—	—	—	—	—	—	—	—	—	—
26	<i>Itoplectis alternans</i> Grav.	—	—	—	—	—	—	—	—	—	—	—
27	<i>Agrupon stenostigma</i> Thoms.	—	—	—	—	—	—	—	—	—	—	—
28	<i>Herpestomus brunneicornis</i> Grav.	—	—	—	—	—	—	—	—	—	—	—
29	<i>Schizopyga</i> sp.	—	—	—	—	—	—	—	—	—	—	—
30	<i>Chorinacus tricarinatus</i> Holmg.	—	—	—	—	—	—	—	—	—	—	—
31	<i>Pristomerus vulnerator</i> Grav.	—	—	—	—	—	—	—	—	—	—	—
32	<i>Scambus (Epiurus) sp.<sub>1</sub></i>	—	—	—	—	—	—	—	—	—	—	—
33	<i>Scambus (Epiurus) sp.<sub>2</sub></i>	—	—	—	—	—	—	—	—	—	—	—
34	<i>Scambus (Epiurus) sp.<sub>3</sub></i>	—	—	—	—	—	—	—	—	—	—	—
35	<i>Hemiteles fulvipes</i> sp.	—	—	—	—	—	—	—	—	—	—	—
<b>CHALCIDOIDAE</b>												
36	<i>Brachymeria intermedia</i> Nees.	—	—	—	—	—	—	—	—	—	—	—
<b>EULOPHIDAE</b>												
37	<i>Tetrastichus</i> sp.	—	—	—	—	—	—	—	—	—	—	—
38	<i>Tetrastichus evonymella</i>	—	—	—	—	—	—	—	—	—	—	—
<b>ENCYRTIDAE</b>												
39	<i>Ageniaspis fuscicollis</i> Dalm.	—	—	—	—	—	—	—	—	—	—	—
40	<i>Paralitomastix varicornis</i> Nees.	—	—	—	—	—	—	—	—	—	—	—

Окончание таблицы

1	2	3	4	5	6	7	8	9	10	11	12
BETHYLIDAE											
41	<i>Perisierola</i> sp.	+	-	-	+	+	-	-	+	-	-
42	<i>Bethylus</i> sp.	-	-	-	+	+	-	-	+	-	-
TACHINIDAE											
43	<i>Apotelia innoxia</i> Meig.	-	-	-	+	+	-	-	+	-	+
44	<i>Nemorilla floralis</i> Fall.	+	+	-	+	+	-	-	+	-	+
SARCOPHAGIDAE											
45	<i>Pseudosarcophaga mamillata</i> Pand.	-	+	-	-	-	-	+	-	-	-
46	<i>Parasarcophaga portchinskyl</i> R.	-	-	-	-	-	+	-	+	-	-
LARVAVORIDAE											
47	<i>Exorista noctuarum</i> Rond.	-	-	-	-	-	+	-	-	+	+
48	<i>Carsiella exica</i> Tlin.	-	-	-	-	-	+	-	+	-	-
49	<i>Carsiella</i> sp.	-	-	-	-	-	+	-	+	-	-
50	<i>Phorosera silvestris</i> R.	-	-	-	-	-	+	-	+	-	-
51	<i>Sturmia seutellata</i> M.	-	-	-	-	-	+	-	+	-	-
COCCINELLIDAE											
52	<i>Lygus gemellatus</i> H. S.	+	-	-	-	-	-	-	-	-	+
53	<i>Comptobrochis punctulatus</i> Fall.	+	+	-	-	-	-	-	-	-	+
54	<i>Chilocorus bipustulatus</i> L.	-	-	+	-	-	-	-	-	-	+
55	<i>Exochomus quadripustulatus</i> L.	-	-	-	-	-	-	-	-	-	+
56	<i>Adalia bipunctata</i> L.	-	-	-	-	-	-	-	-	-	+
57	<i>Adalia decimpunctata</i> L.	-	-	-	-	-	-	-	-	-	+
58	<i>Coccinella septempunctata</i> L.	-	-	-	-	-	-	-	-	-	-
59	<i>Calvia decimquattata</i> L.	-	-	-	-	-	-	-	-	-	+
60	<i>Adonia variegata</i> Goeze	-	-	-	-	-	-	-	-	-	+
61	<i>Coccinella 14-punctata</i> L.	-	-	-	-	-	-	-	-	-	+
62	<i>Synharmonia conglobata</i> L.	-	-	-	-	-	-	-	-	-	+
63	<i>Propylea 14-punctata</i> L.	-	-	+	-	-	-	-	-	-	-
64	<i>Vibidia guodeclimguttata</i> Poda.	-	-	-	-	-	-	-	-	-	-
65	<i>Halyzia sedecimguttata</i> L.	-	-	-	-	-	-	-	-	-	-
66	<i>Scymnus frontalis</i> F.	-	-	-	-	-	-	-	-	-	-
67	<i>Pullus subvillucus</i> Goeze.	-	-	-	-	-	-	-	-	-	-
68	<i>Stethorus punctillum</i> Ws.	-	-	-	-	-	-	-	-	-	-
69	<i>Harmonia quadripunctata</i> Pont.	-	-	-	-	-	-	-	-	-	-
70	<i>Semiadalia undecimnotata</i> Schneid.	-	-	-	-	-	-	-	-	-	-
71	<i>Hyperaspis</i> sp.	-	-	-	-	-	-	-	-	-	-
72	<i>Oxynychus</i> sp.	-	-	-	-	-	-	-	-	-	-
PHYTOSEIIDAE											
73	<i>Typhlodromus (-A-) aberrans</i> Oud.	-	-	-	-	-	-	-	-	-	+
74	<i>Typhlodromus (-N-) soleiges</i> Rib.	-	-	-	-	-	-	-	-	-	+
75	<i>Typhlodromus (-A-) similis</i> Koch.	-	-	-	-	-	-	-	-	-	+
76	<i>Typhlodromus finlandicus</i> Oud.	-	-	-	-	-	-	-	-	-	+
77	<i>Phytosetulore plumifer.</i>	-	-	-	-	-	-	-	-	-	-
78	<i>Typhlodromus</i> sp.	-	-	-	-	-	-	-	-	-	+
STATHYLINIDAE											
79	<i>Oligata pusillima</i> Grav.	+	-	-	-	-	-	-	-	-	-
THIRPIDAE											
80	<i>Scolothrips longicornis</i> Pris.	-	-	-	-	-	-	-	-	-	-
RAPHIDNATHIDAE											
81	<i>Mediolata</i> sp.	+	-	-	-	-	-	-	-	-	+
REDUNIDAE											
82	<i>Rhinocoris nigriceps</i> Kti.	+	-	-	-	-	-	-	-	-	+

гочисленными и заметно регулирующими численность хозяев оказались 7 видов — *Habrobracon* sp., *Nythobia (=A=) armillata* Grav., *Pimpla turionella* L., *Ageniaspis fuscicollis* Dal'm., *Paralitomastix varicornis* Nees., *Perisierola* sp., *Pseudosarcophaga mamillata* Pand.

По эффективности и встречаемости среднее место занимают следующие виды: *Ascogaster quadridentata* West., *Itoplectis curopeator* Fub., *Herpestomus brunneicornis* Grav., *Apotelia innoxia* Meig., *Nemorilla floralis* Fall.). Остальные паразиты оказались малочисленными.

Исследования, проведенные за последние годы, показали, что в регуляции численности непарного шелкопряда основная роль принадлежит паразитическим насекомым двукрылым — мухам (сем. *Larvovoridae* и *Sarcophagidae*). Так, процент зараженности ими непарного шелкопряда составляет 34,5—45,0, тогда как на долю других паразитов приходится всего лишь 1,0—8,0%. В условиях Нахичеванской АССР и Куба-Хачмасской зоны *Ageniaspis fuscicollis* Dal'm. заражают яблоневую моль на 70—75%, а *Nythobia armillata* — 40—45%. Выявленные виды хищников, живущих за счет тлей, червецов, тетраховых клещей и в некоторых случаях яиц некоторых листогрызущих вредителей, распространены почти во всех плодовых массивах республики. Среди хищников более распространенными из жуков является *Chilocorus bipustulatus*, *Adalia bipunctata*, *Stethorus punctillum*, *Semiadalia undecimnotata*, *Exochomus 4-pustulatus*, а среди хищных клещей — *Typhlodromus (A) aberrans* Oud., *Typh. finlandicus* Oud. Следует отметить, что некоторые жуки отличаются по своей прожорливости от других видов. Так, например, установлено, что *Chilocorus bipustulatus* в течение суток поедает 40 особей тлей, *Adalia bipunctata* L. — 47, *Adalia decimpunctata* L. — 57, *Coccinella 7-punctata* — 86 особей.

Таким образом, выявление энтомофагов и изучение биологических особенностей представляет нам возможность выделить перспективные виды и пути применения их в биологическом методе борьбы с вредителями плодовых культур в Азербайджане.

Институт зоологии

Поступило 28.I 1970

А. Э. Элијев, З. М. Маммэдов

Азәрбајҹанда бағ зијанверичиләри ентомофагларының өјрәнилмәси

#### ХУЛАСӘ

Азәрбајҹанда бағ зијанверичиләринин ентомофагларының өјрәнилмәк мәгәдилә Губа—Хачмаз, Шәки—Загатала вә Нахчыван М҃ССР-дә апарылыш елми-тәдгигат ишләри нәтиҗәсindә һәмии зијанверичиләри мүхтәлиф инкишаф мәрхәләләrinin мәһів едән 51 нөв паразит миничи вә 31 нөв јыртычи мүәjjән едилмишdir. Һәмии миничиләрдән 19-у золаглы мејвә күвәсини, 18-и алма күвәсини, 13-у алма мејвәјәнини, 8-и кавалы мејвәјәнини, 14-у дәжишик ипексарыјаны, 5-и ярнагбүкәнләри, јыртычылардан исә 7-си мәнәнә вә зијанкар кәнәләри мәһів етмәклә мәһсулуни зәдәләнмә фазиини ашалыр.

Көстәрилән ентомофаглар арасында ба'зи нөвләр даһа эффектли олдугуна көрә, онларын биоеколожи хүсусијәтләри, саһиби мәһиетмә дәрәчәси вә башга мәсәләләр дә өјрәнилмишdir.

МИКРОБИОЛОГИЯ

Д. МАМЕДОВ, С. ЭФЕНДИЕВ

ИЗУЧЕНИЕ ДЕЙСТВИЯ НЕКОТОРЫХ АНТИБИОТИКОВ  
И АНТИМИКРОПЛАЗМЕННОЙ СЫВОРОТКИ ПРИ  
ДЕКОНТАМИНАЦИИ ПЕРЕВИВАЕМЫХ  
КЛЕТОЧНЫХ КУЛЬТУР

(Представлено академиком АН Азербайджанской ССР М. К. Ганиевым)

За последние годы в литературе пишется о микроплазме контаминации. Многих исследователей заинтересовали источники загрязнения и пути избавления от этой инфекции. До настоящего времени был предпринят ряд попыток для нахождения надежного метода деконтаминации перевиваемых клеточных культур. Но еще не разработан вполне надежный метод лечения. Нами проделана большая работа с целью нахождения более эффективного метода деконтаминации клеточных культур.

Процесс деконтаминации в вирусологической практике играет важную роль.

Установлено, что при взаимодействии микроплазмы на клетку последняя разрушается.

Мы в своей практике применяли из числа антибиотиков канамицин и тилозин.

Прежде чем начать деконтаминацию, определяли чувствительность микроплазмы к этим антибиотикам, после чего приступали к лечению клеточных культур. Курс лечения продолжался до трех недель. К этому времени клетки освобождались от инфекции. Стерильность клеток продолжалась до трех месяцев.

В связи с этим представляют особый интерес данные [2], которые применяли специфические иммунные сыворотки для освобождения линий перевиваемых клеток от микроплазм — контаминаций. Авторы сообщили, что специфическая иммунная сыворотка в 1%-ной концентрации подавляет рост микроплазм, а 10% спец. иммунная сыворотка полностью деконтиаминирует клеточные культуры. Авторы указывают, однако, на некоторое отрицательное влияние специфической иммунной сыворотки на рост клеточных культур.

Целью нашего исследования явилось изучение возможности применения метода, предложенного Поллоком для деконтаминации не-

которых клеточных линий, культивируемых в Советском Союзе. Исследования проводили в Институте полиомиелита и вирусных энцефалитов АМН ССР и в Институте ВМиГ Азербайджанской ССР.

В настоящем исследовании мы использовали штамм микроплазм, изолированный И. В. Раковской (в лаборатории ИЭМ им. Гамалея, зав. проф. Г. Я. Каган), из клеток Hela. Для первичного выделения чистой культуры микроплазм применяли 0,3%-ный агар, приготовленный на триптическом переваре сердечной мышцы крупного рогатого скота с 10%-ной лошадиной сывороткой и 100% *ед/мл* пенициллина. На этой среде микроплазмы вырастали в виде мелких нежных ватовидных взвешенных в среде колоний с плотным центром.

Спустя 3—4 пассажа в бесклеточной среде рост становился обильным. Тогда зону роста отсасывали пастеровской пипеткой, переносили ее в бульон — триптический перевар сердечной мышцы быка с 10%-ной лошадиной сывороткой и 100 *ед/мл* пенициллина.

Для приготовления антигена 3—4-дневные бульонные культуры микроплазмы центрифугировали в течение 30 мин при 10000 оборотах в 1 мин, осадок трижды отмывали физиологическим раствором, затем вновь взвешивали в физиологическом растворе в 1/250 оригинального объема. Приготовленный таким образом антиген (концентрированный 250 раз) хранили при 20°C до использования. Для иммунизации животных антигены разводили физиологическим раствором до концентрации миллиард микробных тел в *мл* (по бактериальному стандарту мутности ГКИ им. Тарасевича).

С целью получения специфической иммунной сыворотки, нами иммунизировано 12 кроликов весом 3 кг. Перед началом иммунизации у каждого кролика из сердца брали 10 *мл* крови, чтобы получить контрольную нормальную сыворотку.

Кроликов иммунизировали по методу Кляинберга (1954).

Процесс иммунизации продолжался в течение 8 недель. Ежедневно 3 дня подряд кроликам делали внутривенные инъекции антигена. Дозу антигена для иммунизации постепенно повышали. Первая инъекция составляла 0,5 *мл*, последняя — 2,5 *мл*.

После 5-й недели производили контрольное взятие крови и определяли титр полученной сыворотки с помощью РСК. Через нуль дней после последней инъекции всех кроликов обескровливали. Окончательный титр сыворотки определяли при помощи РСК. Полученную сыворотку использовали для деконтаминации клеточных культур Hela, Нер-2, ВНК-21, полученных из Института полиомиелита и вирусных энцефалитов АМН ССР.

Для деконтаминации клеток Hela отбирали 3 флакона с клетками объемом 100 *мл*. Титр иммунных сывороток колебался от 1:256 до 1:512. В культурную среду первого флакона добавляли 2% специфической сыворотки и 8% нормальной сыворотки крупного рогатого скота.

Во второй флакон — 5% специфической иммунной сыворотки и 5% сыворотки крупного рогатого скота. В третий флакон вносили 10% специфической иммунной сыворотки. Сыворотку крупного рогатого скота из состава среды исключали.

Каждый день флаконы слегка покачивали, чтобы среда с иммунной сывороткой равномерно распределялась по всей поверхности монослоя.

Лечение продолжалось от одной до трех недель. Среду система-

тически меняли через каждые 3 дня. При смене среды каждый раз вводили специфическую иммунную сыворотку.

Из каждого флакона периодически брали культурную жидкость и высевали на 0,3%-ном агаре указанной выше прописи. Для деконтаминации клеток Нер-2, ВНК-21 в культурную среду вводили антисыворотки к микоплазме из клеток Hela. В среду добавляли от 1 до 10% специфической иммунной сыворотки. Лечение продолжалось от 10 до 21 дня, при постоянной смене среды через каждые три дня.

Сыворотка в концентрации 2% подавляла рост микоплазмы в культуре клеток Hela. Количество микоплазм в культурной среде значительно уменьшалось.

Сыворотка в концентрации 10% полностью деконтаминировала клетки Hela. В течение 3 месяцев в культурах снова были обнаружены микоплазмы.

Сыворотка в концентрации 4% незначительно подавляет рост микоплазмы в культурах клеток Нер-2 и ВНК-21, в концентрации 10% подавление было более значительным, но не полным.

Это подавление в культурах Нер-2 и ВНК-21 позволяет заключить о наличии в них того же вида микоплазм, который был выделен из культур клеток Hela.

С целью улучшения деконтаминации мы провели комплексное лечение клеточных культур Hela с помощью иммунной сыворотки с добавлением канамицина (25 мкг/мл) и мономицина (250 ед/мл).

При комплексном лечении клетки Hela оставались свободными от инфекции более 4 месяцев.

Проведенное исследование в основном подтвердило сообщение Поллока (1963 г.) о возможности деконтаминации перевиваемых клеточных культур от микоплазм с помощью добавления к среде культур гипериммунной антимикоплазменной сыворотки. Но эффект был неполным, так как после 3-месячного отсутствия микоплазмы в лечебных культурах они снова были обнаружены. В этом случае все же нельзя исключить возможность повторного заражения культур микоплазмами, хотя это маловероятно. Применение антимикоплазменных сывороток в комбинации с антибиотиками кажется наиболее перспективным.

Одним из возможных методов использования антимикоплазменных иммунных сывороток могло бы быть их применение для очищения от микоплазм бесклеточных субстратов вирусов, подлежащих размножению на перевиваемых культурах клеток.

## Выводы

1. Изготовлены гипериммунные кроличьи сыворотки против штамма микоплазм, выделенного из спонтанно инфицированной культуры перевиваемых клеток Hela.

2. С помощью гипериммунной антимикоплазменной сыворотки удалось деконтаминировать от микоплазмы перевиваемые культуры клеток Hela, однако эффект держался только около 3 месяцев.

В перевиваемых культурах Нер-2 и ВНК-21 удалось получить значительное, но не полное подавление микоплазм.

3. Комбинация антисыворотки и некоторых антибиотиков вызвала более продолжительное подавление микоплазмы в культурах клеток Hela, чем одно применение антисыворотки.

4. Наиболее перспективным является использование гипериммун-

ной антимикоплазменной сыворотки для очищения от микоплазм бесклеточных субстратов штаммов вирусов, подлежащих размножению в перевиваемых клеточных культурах при условии, если последние заведомо свободны от микоплазм.

## ЛИТЕРАТУРА

1. Раковская И. В. Вестник АМН СССР, 8, 1965. 2. Pollock M. E. et al. Proc. Soc. Exp. Biol. Med., 1963.

Мединститут им. Нариманова

Поступило 1.III 1969

Д. Һ. Мәммәдов, С. С. Эфәндиеев

Өз инкишафыны тәкрапән давам етдиран тохума културасыны антибиотикләрни вә антимикоплазма серума тә'сири илә деконтаминасијаетмә һагында

## ХУЛАСӘ

Сон заманлар әдәбијатда микоплазмаконтоминат һагында чохлу мә'лумата раст кәлирик. Бу вахта гәдәр күман едилир ки, тохума културалары харичдән дүшмүш микроорганизмләр тәрәфиндән чиркәнлири. Бунун гарышыны алмаг үчүн исә мұхтәлиф үсуллардан истифадә едилир.

Апардығымыз тәдгигатлардан белә нәтичәјә кәлирик ки, өз инкишафыны давам етдиран тохума културасыны микоплаздан—деконтаминатдан азад етмәк үчүн гидалы мүнитә 10%-лы гипериммун антимикоплазма зәрдабы антибиотик маддәләр илә бирликдә әлавә олунмалыдыр. Бу үсул субстратларда даңа яхши нәтичә верир. Демәли, өз инкишафыны тәкрапән давам етдиран тохумаларда јетишдирилмиш вируслары микоплазмадан азад етмәк мүмкүндүр. Көстәрдијимиз үсул башга үсуллара нисбәтән даңа әлверишилдирир.

ФАРМАКОЛОГИЯ

д. з. ШУКЮРОВ, д. Я. ГУСЕЙНОВ, П. А. ЮЗБАШИНСКАЯ

**ВЛИЯНИЕ СУМАХА НА УГЛЕВОДНЫЙ ОБМЕН В НОРМЕ И НА ФОНЕ АЛЛОКСАНОВОГО ДИАБЕТА У КРОЛИКОВ**

(Представлено академиком АН Азербайджанской ССР С. М. Асадовым)

Изыскание, изучение и создание новых эффективных лекарственных препаратов для применения при лечении ряда тяжелых заболеваний является весьма актуальной задачей, стоящей перед медицинской наукой.

К числу тяжелых и широко распространенных заболеваний относится сахарный диабет.

Известно, что основным противодиабетическим средством является инсулин, однако кратковременность действия и инъекционный способ применения не дают возможности его широко использовать.

Созданные сульфаниламидные препараты для лечения легких форм сахарного диабета не лишены недостатков и полностью не оправдывают себя. В связи с этим поиски эффективных средств, аналогичных действию инсулина, с целью применения при лечении сахарного диабета остаются актуальной проблемой. В этом отношении особенно заслуживают внимания поиски инсулиноподобных средств растительного происхождения.

Сумах (*Rhus coriaria* L.) встречаются на Кавказе, в Крыму, Копет-Даге и западном Памиро-Алтае. Он распространен довольно широко в горно-лесных районах Азербайджанской ССР. Листья сумаха богаты дубильными веществами, содержат 16–20% танина и 3–5% галловой кислоты, а также тетрасахарид галловой кислоты, мирицирин и другие флавоноиды.

Из листьев в основном получают танин, нашедший широкое применение в медицинской практике [1].

Кислые плоды сумаха употребляются населением Кавказа в пищу как пряность. В Азербайджане порошком плодов сумаха посыпают пищу для возбуждения аппетита.

В народной медицине плоды сумаха употребляются как жаропонижающее, противоносное, кровоостанавливающее средство и для приготовления прохладительного кислого напитка. Кроме этого, плоды сумаха в виде водного настоя и отвара используются при сахарной болезни [6].

А. И. Караваев с соавторами [4, 5] изучили в эксперименте изменение

толерантности организма к углеводам под влиянием зрелых плодов сумаха и установили, что водные настои из плодов этого растения, введенные кроликам перорально, значительно снижают содержание сахара в крови.

Исходя из сведений народной медицины и принимая во внимание литературные данные, хотя весьма скучные, мы задались целью исследовать влияние препаратов сумаха на содержание сахара в крови, а также гликогена в печени и сердечной мышце как у интактных кроликов, так и кроликов с экспериментальным аллоксановым диабетом.

**Методика**

На исследование содержания сахара кровь бралась из ушной вены кроликов. Количество сахара в крови определялось методом Хагедорна-Иенсена, а гликогена в печени и сердечной мышце — по методу Генкина [2].

Экспериментальный аллоксановый диабет вызывался у кроликов внутривенным введением аллоксана из расчета 100 мг/кг в 10 %-ном растворе на воде [8].

Опыты проводились на 50 кроликах обоего пола весом 2,5–3 кг в VI сериях.

В I серии под наблюдением находилось 15 кроликов, на которых было поставлено 30 опытов.

У этих кроликов содержание сахара в крови определялось по утрам сначала в исходном состоянии, затем подопытным животным перорально давался жидкий спиртовый экстракт сумаха из расчета 2 мл/кг, а через 2 ч после дачи экстракта бралась кровь и исследовалась на содержание сахара.

Жидкий спиртовой экстракт готовился по методу, описанному в [3].

Во II серии на 10 интактных, а затем забитых кроликах проведено 20 опытов по количественному определению гликогена в печени и сердечной мышце.

В III серии 10 кроликам в течение одной недели ежедневно по 1 разу перорально вводился жидкий спиртовой экстракт в дозе 2 мл/кг. По истечении этого срока через 1 ч после дачи последней порции экстракта кролики забивались и в 20 опытах в их печени и сердечной мышце определялось содержание гликогена. Последующие серии опытов проводились в такой же последовательности и на таком же количестве кроликов, но с внутривенным введением аллоксана и пероральной дачей экстракта сумаха.

В IV серии на 15 кроликах было поставлено 45 опытов по определению содержания сахара в крови в норме и через неделю после однократного внутривенного введения аллоксана, а также и через вторую неделю после ежедневной недельной дачи экстракта сумаха подопытным животным.

В V серии в печени и сердечной мышце 5 кроликов, получавших аллоксан, определялось содержание гликогена в 10 опытах.

В VI серии проводилось определение количества гликогена в печени и сердечной мышце 5 кроликов, получавших аллоксан и лечебным экстрактом сумаха в 10 опытах.

Всего было проведено 135 опытов.

**Результаты исследований**

Результаты опытов, проведенных в I серии, показали, что содержание сахара в крови у интактных кроликов в исходном состоянии колеблется в пределах от 100 до 140 мг %, в среднем равняется

120 мг %, тогда как после однократной дачи экстракта сумаха этим животным количество сахара в крови заметно снижается и становится 80–110 мг %, в среднем—95 мг %. Уменьшение содержания сахара в крови у кроликов данной серии опытов составляет 21 %. Следовательно экстракт сумаха вызывает значительное снижение количества сахара в крови у интактных кроликов. Результаты настоящих опытов отражены на рис. 1.

По данным, полученным во II серии опытов, содержание гликогена в норме в печени в среднем составляло 356 мг %, а в сердечной мышце—290 мг %.

Результатами III серии опытов установлено, что после ежедневной дачи кроликам экстракта сумаха на протяжении одной недели содержание гликогена в печени было в среднем 456, а в сердечной мышце—337 мг %. Результаты этих опытов показаны на рис. 2.

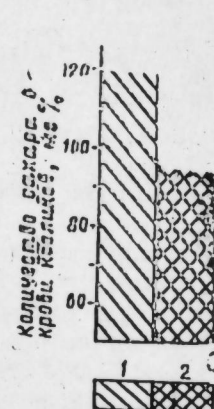


Рис. 1. Влияние жидкого спиртового экстракта сумаха в дозе 2 мл/кг на содержание сахара в крови у интактных кроликов: 1—средние цифры для 15 опытов в исходном состоянии; 2—средние цифры для 15 опытов с введением экстракта сумаха.

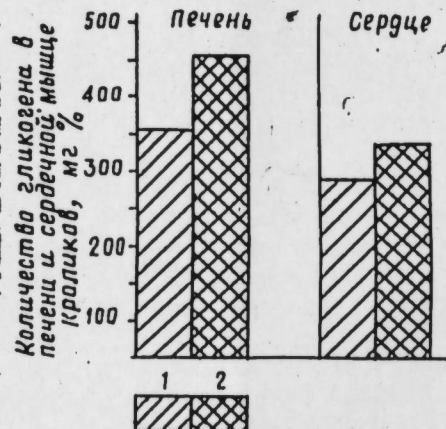


Рис. 2. Влияние жидкого спиртового экстракта сумаха в дозе 2 мл/кг на содержание гликогена в органах интактных кроликов: 1—средние цифры для 20 опытов в норме; 2—средние цифры для 20 опытов с введением экстракта сумаха.

При сопоставлении данных этих серий опытов видно, что экстракт сумаха явно усиливает синтез гликогена с последующим его накоплением в организме, особенно в печени. Отложение гликогена возросло по сравнению с нормой в печени на 28 %, а в сердечной мышце—на 16 %.

Результаты опытов, проведенных на кроликах с введением в их организм аллоксана и леченных экстрактом сумаха, показали, что количество сахара в крови в среднем в исходном состоянии составляет 102 мг %, после аллоксанизации—152 % и после лечения—126 мг %.

Данные этих опытов приведены в таблице.

При сравнении данных, полученных в норме и после аллоксанизации,  $t=12$ ;  $P<0,01$ , а при сравнении данных аллоксанизации с данными, полученными после лечения экстрактом сумаха,  $t=68$ ;  $P<0,01$ .

Следовательно, разница данных в обоих случаях статистически достоверна, повышение содержания сахара в крови после аллоксанизации и понижение уровня после лечения экстрактом сумаха является закономерным, что статистически подтверждается.

Данные таблицы наглядно показывают, что под влиянием аллокса-

### Содержание сахара в крови у кроликов, получавших аллоксан и экстракт сумаха

№ п/п	Количество сахара в крови, мг %		
	В норме	После аллоксанизации	После лечения экстрактом сумаха
1	78	160	124
2	89	178	134
3	120	158	125
4	115	161	128
5	98	154	132
6	97	146	124
7	102	138	129
8	117	137	118
9	98	161	148
10	86	141	124
11	121	130	121
12	117	156	115
13	106	148	126
14	88	166	130
15	100	150	112
в среднем	102	152	126
M±	102,1	152,3	126,0

на содержание сахара в крови по сравнению с нормой увеличивается на 50 %, а при действии сумаха уровень сахара, повышенного аллоксаном, падает на 17 %.

Результатами V и VI серий опытов установлено, что аллоксан заметно уменьшает, а экстракт сумаха, наоборот, резко увеличивает количество гликогена в органах. Так, например, у аллоксанизированных кроликов среднее содержание гликогена в печени 294, а в сердечной мышце—191 мг %, в то время как у леченых экстрактом сумаха кроликов количество гликогена равнялось в печени 433, а в сердечной мышце—321 мг %.

Результаты этих опытов показаны на рис. 3.

### Обсуждение результатов

На основании проведенных экспериментов было установлено характерное сахароснижающее и усиливающее синтез гликогена действие экстракта сумаха.

Испытуемый препарат при однократном пероральном введении интактным кроликам снижал уровень сахара в крови на 21 % по сравнению с нормой.

Наряду с этим под влиянием экстракта сумаха содержание гликогена в органах интактных кроликов также значительно возросло. Так, например, если в исходном состоянии среднее содержание гликогена составляло в печени 356 и в сердечной мышце—290 мг %, то после перорального введения экстракта сумаха через неделю среднее количество гликогена стало в печени 456 и в сердечной мышце—337 мг %.

Аллоксан при внутривенном введении кроликам в течение одной недели резко увеличивал уровень сахара в крови и создавал картину, аналогичную сахарному диабету. У кроликов с аллоксановым диабетом при пероральном введении экстракта сумаха на протяжении од-

ной недели содержание сахара в крови также заметно снижалось, но не доходило до исходных цифр.

Аллоксановый диабет у кроликов сопровождался уменьшением количества гликогена в печени и сердечной мышце, в то время как у аллоксанизированных кроликов, леченных экстрактом сумаха, происходило значительное снижение его содержания в указанных органах.

В наших экспериментах, как показали результаты проведенных опытов, отмечается закономерность в действии аллоксана и сумаха на углеводный обмен.

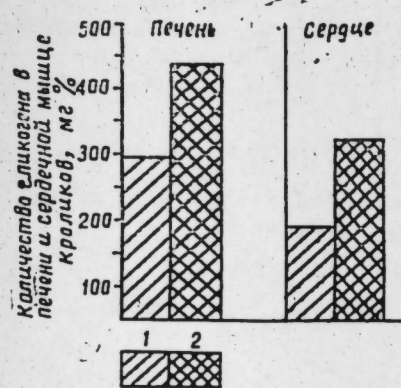


Рис. 3. Влияние жидкого спиртового экстракта сумаха в дозе 2 мл/кг на содержание гликогена в органах аллоксанизированных кроликов:

1—средние цифры для 10 опытов с введением аллоксана; 2—средние цифры для 10 опытов с введением экстракта сумаха.

в течение одной недели кроликам, страдающим аллоксановым диабетом, вызывает снижение содержания сахара в крови и закономерное повышение количества гликогена в печени и сердечной мышце.

4. Жидкий спиртовой экстракт сумаха может быть рекомендован для клинического испытания на больных, страдающих сахарным диабетом.

#### ЛИТЕРАТУРА

1. Атлас лекарственных растений. Медгиз, 1962, стр. 542.
2. Гепкин А. М. Определение гликогена в органах. «Биохимия», 1952, 17, стр. 186.
3. Государственная фармакопея СССР, X изд., 1968.
4. Карапов А. И., Алиев Р. К., Гусейнов Г. А., Гасанов Г. Об изменении толерантности организма к углеводам при пероральном введении водного настоя зрелых плодов сумаха. «ДАН Азерб. ССР», № 3, 1954, стр. 189.
5. Карапов А. И., Алиев Р. К., Гусейнов Г. А., Гасанов Г. Влияние различных препаратов зрелых плодов сумаха на толерантность организма к углеводам. «Изв. АН Азерб. ССР», № 9, 1954, стр. 47.
6. Лекарственные растения Азербайджана. Баку, 1942, стр. 149.
7. Предтечинский В. Е., Боровская В. М., Марголина Л. Т. Лабораторные методы исследования. 1950, стр. 158.
8. Стефанов Ж., Иларионов И., Колев Д. Ориентировочное фитохимическое и фармакологическое изучение произрастающего в Болгарии вида *Portulaca oleracea* L. «Фармация», 1966, 16, № 3, стр. 27.

AMI им. Нариманова

Поступило 9. IV 1969г.

АЗЭРБАЙЧАН ССР ЕЛМЛЭР АКАДЕМИЯСЫНЫН МӘРҮЗӘЛӘРИ

ДОКЛАДЫ АКАДЕМИИ НАУК АЗЕРБАЙДЖАНСКОЙ ССР

ЧИЛД XXVI

№ 12

1970

#### АРХЕОЛОГИЯ

Ф. В. ГЭДИРОВ

#### МУХАС ГҮЛЛӘСИ

(Азэрбајҹан ССР ЕА академики Ә. Ә. Элизадә тәгдим етмишидир)

1964—1968-чи илләр әрзиндә Азэрбајҹанын шimal мұдафиә истеһкамларыны өјрәнмәк мәгсәди илә Шәки, Варташен, Гутгашен раionlarynda апарылан археологи кәшfiijat ишләри нәтиҹәсindә бир сыра истeһкам абидаләри ашкар едилмишидир ки, бунлардан бири дә Мухас гүлләсидir<sup>1</sup>.

Мухас гүлләси Варташен раionу Мухас kəndinin шimalында, Daşagly keçidi гаршысында јерләшир. Јерли әнали Мухас гүлләсини bəzən „Kılsə xaabalıq“<sup>2</sup>, bəzən də „Gaравул галасы“ adlanlıdır. Мухас гүлләsinin icərisində „xəzinə“ basdaryrlmasası həggynadakı rəvajət јerli әнали арасында o gədər keniş jaýlымышdır ki, 1951-chi illədə bir nechə nəfər gülənləri daftırmaya və „dəfinəni“ tapmafa cəhd etmiшиdir. Bunuñ nəticəsində gülənlənin shimal və chənub küncləri xəli zədələnmüşdir.

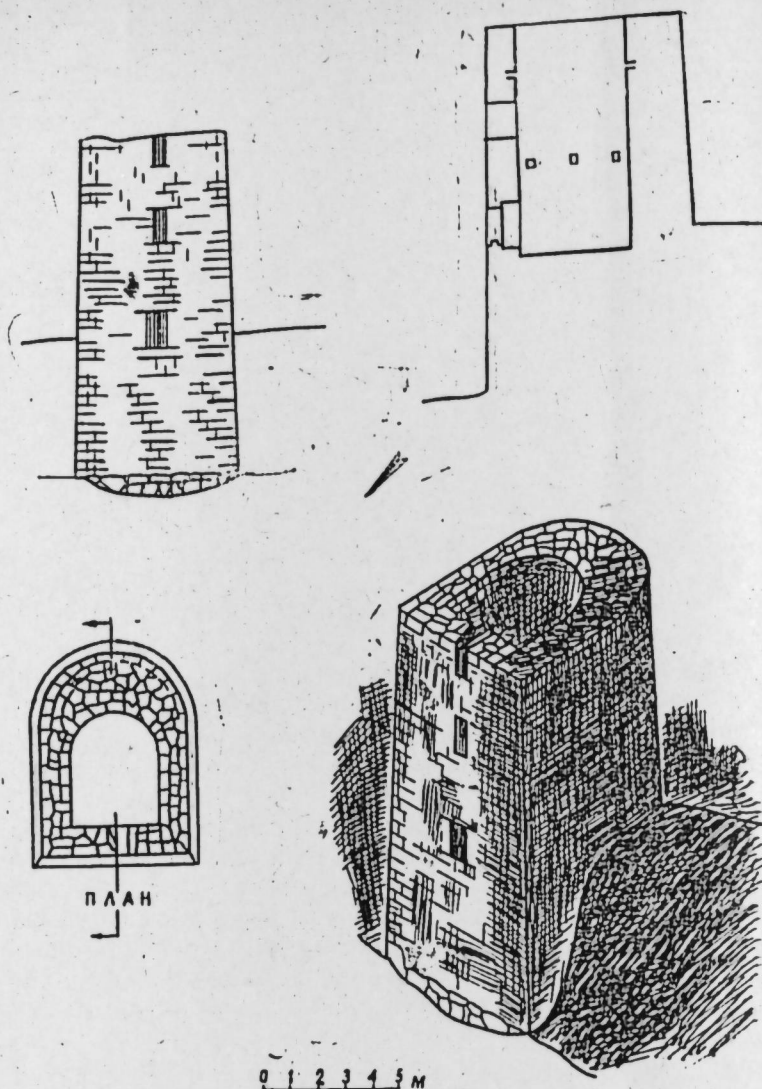
Abidənin ətrafyında həsər јохdur. Onun shimal, chənub və gərb tərəfləri düzbuçagly, şərg tərəfi isə јarımdaırəvidir (şəkil, plan). Gülənlənin dərd tərəfinin үmumi əlçüsü 24,7 m-dir. Onun hündürlüyü 11,6 m, divarlarının galınlığı ashağı hissədə 1,5, yuxarı hissədə isə 1 m-dir. Gərb divarları гаршысыndakı əlavə hərəkət bünəvrəni məhkəməndirəmək məgəsədi ilə əlagədarlıq. Muxas гүлләsinin bünəvrəsi bir nəv Gyz galasynı (Bakı) bünəvrəsinin xatyrıldır<sup>3</sup>.

Gülənlənin gərb divarında 4 m 75 cm hündürlüğündə gapı јeri vardır. O, kvadrat formalı olub, гүлләsinin icərisində doqru iki pillə ilə eñir. Gapınyıñ hündürlüyü 1,5 m-dir. Gapı divarında iki dəlik vardır. Həmin dəliklər gapınyı arxadan tır vasitəsilə bərkitmək üçündür. Ümumiyyətlə, orta əsr shəhər və mudaфиə istehtikalarynda gapılarын baflanmasında bu үsuldan keniş istifadə edilmüşdir.<sup>3</sup>

<sup>1</sup> Ф. В. Гэдиров. Гәблə шəhəri ərazisindən mudaafiə istehtikalary (1965-чи чилдə Варташen, Гутгашen və İsmayıllı raionlaryna arxeologiki kəşfiijat səfəriñin nəsabatı). Azərbayҹan ССР ЕА Tariх İnstitutunun elmi arxivini, iniv. № 6164; cəh. 2—3.

<sup>2</sup> О. Ш. Имизаде. Обследование Девичьей башни в Баку в 1963 г. Сессия, посвященная итогам археологических работ 1963 г. Тезисы докладов и сообщений, Баку, 1964, cəh. 26.

<sup>3</sup> П. П. Закарая. Фортifikacionnye сооружения Shida-Kartli, KSIIMK, вып. 46, 1952, cəh. 125—126 (39-chu şəkil).



Шәкил. Гүллә (Варташен районунуи Мухас кәнди; 1966-чы ил).  
1—фасад; 2—кәсији; 3—план; 4—үмуми көрүнүшү.

Мухас гүлләси һазыркы галығына көрә үчмәртәбәли тикинтидән ибарәттir. Онун биринчи вә иккىчи мәртәбәләри саламатты. Лакин үчүнчү мәртәбәнин јухары һиссәси учулуб дағылышты. Белә гүлләләр адәтән үч мәртәбәдән алты мәртәбәжә гәдәр олур<sup>4</sup>. Ичәри тәрәфдән гүлләнин диварларында пәрди гојмаг үчүн дәликләр вардыр. Буна әсасен Мухас гүлләснин мәртәбәләриндә вахты илә тахта дөшәмәләрин олдугуну сөјләмәк мүмкүндүр. Күман едилир ки, јухары мәртәбәләрә гүлләнин ичәрисниндән нәрдиван васитәсилә галхмаг олар.

Мухас гүлләснин иккىчи мәртәбәсниндә мазгал типли кичиқ пәнчәрә Јери вардыр. Онун ичәри тәрәфдән һүндүрлүү 1,5, ени 0,6 м олдугуну һалда, чөл тәрәфдән һүндүрлүү 0,75, ени исә 0,3 м-дир. Бу формада иккىчи бир кичик пәнчәрә Јери гүлләнин үчүнчү мәртәбәсниндә вардыр. Лакин онун јухары һиссәси гүлләнин зирвәсилә бирликдә

<sup>4</sup> П. П. Закараја. Фортификационные сооружения Шида-Картли, КСИИМК, вып. 46, с. 125.

дағылышты. Иккىчи мәртәбәдә олдуғу кими үчүнчү мәртәбәдәки пәнчәрә дә ичәријә тәрәф кениш, чөл тәрәфә кетдикчә даралыр. Уганубани, Нардаран вә Рамана галаларынын пәнчәрәләрилә там охшарлыг тәшкил едир<sup>5</sup>. Алимләрин гејдләринә көрә, бу чүр пәнчәрәләр нәзарәт етмәклә бәрабәр мәртәбәләри ишыгандырмаг мәгсәди дашишмышты. Бизә белә қәлир ки, мудафиә истеһкамларында онлардан бә'зи һалларда мазгал кими дә истифадә едилирмиш.

Мухас гүлләснин ичәриснинде көзәтчиләрин су илә тәчhиз едилемесини тәсдиғ едәчәк һеч бир әламәт јохдур. Јегин ки, гүлләнин сакинләри габларда су еһтијаты сахламышлар. Бу чәһәт Мухас гүлләснин узун мүддәт мудафиә олуңмаг габилијәтини азалдыр вә онун аңчаг мушаһиде үчүн әһәмијәтли олдугуну көстәрир.

Мухас гүлләснин тикилмәснинде аңчаг кирәч мәһlулу вә чајдашындан истифадә едилишидир. Гүллә чәркә һөркүсү үсулу илә тикилмешdir. Үмумијәтлә, Мухас гүлләси тикинти хүсусијәтләринә вә нишаат материалларына көрә Хачмаз Ковур галасыны, Құлустан галасыны отаг вә дәһлизвары Јерләрини, Дманиси шәһәринин гала бүрчләрини вә дикәр орта әср мудафиә истеһкамларыны хатырлады.<sup>6</sup>

1965-чи илдә Мухас гүлләснинде археоложи кәшифийат газынтысы апарылышты. Гүлләнин гәрб диварынын дивинде  $2 \times 3$  м өлчүсү олан саһедә газынты апарылан заман онун бүнөврәснин бәркимин торпаг үзәринде гурулмасы вә бурада 0,5 м дәрнүлийнде мәдәни тәбәгәнин олдуғу ашкар едилишидир. Элдә олунан археоложи материаллар исә гүлләдә јерләшән мушаһидәчиләрин ишләтдикләри ширсиз вә ширли сахсы мә'мұлатындан ибарәттir.

Ширсиз сахсы мә'мұлаты кил газанын гулларындан, каса формалы кичик кил габын, чүрдәк типли, ағзы новчалы су габынын гырыгларындан ибарәттir (табло, 1—5-чи шәкилләр). Бә'зи габ гырыгларынын үзәринде чызма үсулу илә чәкилмиш нахышлар вардыр. Бу чүр ширсиз кил габ гырыглары Гәбәлә вә Өрәнгала кими бөյүк орта әср шәһәрләринин IX—XIII әсрләре аид мәдәни тәбәгәләриндән чохлу мигдарда тапылышты.

Газынты ишләри заманы элдә едилен ширли сахсы мә'мұлаты каса вә хејрә типли олуб, үзәринде ағ маддә илә астар чәкиләндән сонра бир вә бир нечә рәнклә ширләнмиш кил габларын гырыгларындан ибарәттir (табло, 6—7-чи шәкилләр). Бу чүр ширсли кил габ гырынтылары Гәбәлә, Өрәнгала, Двина вә башга орта әср шәһәр харабалыгларындан чох тапылышты.<sup>8</sup>

Беләликлә, јухарыда гејд едиленләрә әсасен Мухас гүлләси һаггында ашағыдағы иәтичәләри сөјләмәк мүмкүндүр.

<sup>5</sup> Е. А. Пахомов. Старинные оборонные сооружения Апшерона, ТИИ, т. 1, Баку, 1947, с. 53; П. П. Закараја. Көстәрилән әсәри, с. 126.

<sup>6</sup> С. Даашов, М. Усеинов. Бакыны мәмарлыг әбидәләри, Бакы, 1955, с. 28—31.

<sup>7</sup> Р. Эфендиев. Памятники древности в Нухинском уезде. АЗКОМСТАРИС, вып. III, 1927, с. 69—70; һ. Чиди. Құлустан галасында археологи газынтылар. „Азәрбајҹан ССР ЕА Ҳәбәрләри“. Бакы, 1961, № 9, с. 36; Л. Мусхелишили. Раскопки Дманиси. СА—VI, М., 1940, с. 263 (3-чү шәкил).

<sup>8</sup> Д. Шарифов. Обследование развалин Кабалы. Баку, 1927, с. 4—10; С. М. Газиев. Гәбәлә шәһәрнин тарихи-археологи тәддиги. АММ, V чилд, Бакы, 1964, с. 30—31; О. Ш. Исмизаде. О раскопках в Кабале на территории Южной части города в 1960 г. МКА, т. V, Баку, 1964, с. 90—91. Г. М. Эмадов. Азәрбајҹанын ширсиз сахсы мә'мұлаты. Бакы, 1959, с. 60—65, 86—87, 93.

<sup>9</sup> С. М. Газиев. Көстәрилән әсәри, с. 41—42; О. Ш. Исмизаде. Көстәрилән әсәри, с. 98—104; Г. М. Эмадов. Көстәрилән әсәри, с. 80—81; Б. Шелковников. Керамика и стекло из раскопок города Двина. Труды Гос. ист. музея Армении, т. IV, Ереван, 1952, с. 37—66.

Ф. В. Гадиров  
Мухасская башня

РЕЗЮМЕ

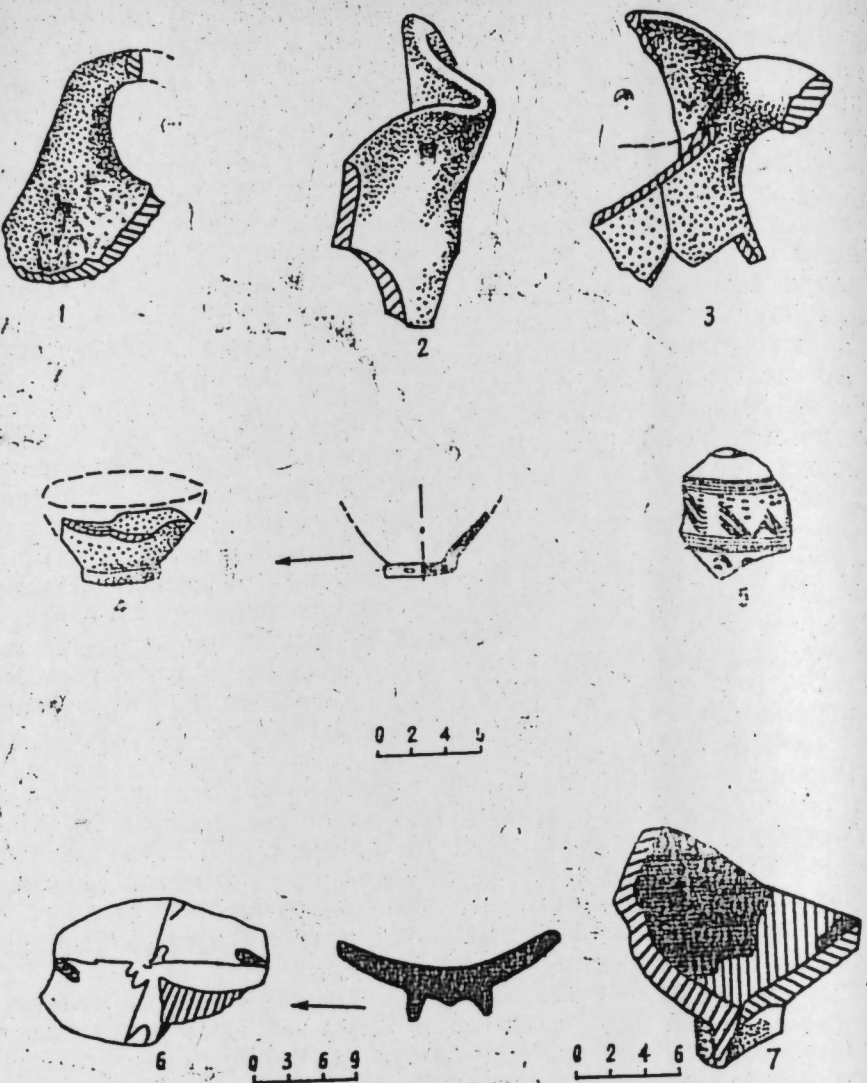
Мухасская башня расположена на севере села Мухас Варташенского района, на подступах Дашаглинского прохода.

В настоящее время остатки этой башни состоят из трехэтажного сооружения. Высота западной стены от уровня земли около 11 м. Здесь на высоте 5 м находится дверной проем прямоугольной формы. На стене каждого этажа расположена одна бойница, обращенная к западу.

В строительстве Мухасской башни использованы только речные булыжники и раствор известки.

В 1965 г. на этом памятнике произведены разведочные археологические раскопки. Выявленный материал состоит в основном из фрагментов поливной и простой неполивной керамики, относящейся к IX—XIII вв.

Мухасская башня была использована как наблюдательный пункт. Она имела большое значение в деле защиты средневекового города Кабалы с севера.



Табло 1.

Мүһүм һәрби әһәмијәти олан Дашағыл кечиди гарышында тикилән Мухас гүлләснидән мүшәнидә мәнтәгәси кими истифадә едилшишdir. Онун гарышында дәрәнин „Гаравул дәрәси“ адландырылмасы бу фикри бир даһа әсасландырыр.

Мухас гүлләснидән Гәбәлә шәһәринин јахшы мүшәнидә олунмасы, бу гүлләнин һәмин шәһәрә шимал тәрәфдән олан тәһлүкәләрин гарышыны алмаг ишиндә бөյүк хидмәт көстәрдијини сөјләмәк мүмкүн дур.

Мухас гүлләснин охшар абидәләрлә мүгајисәснин иәтичәләрине ме'марлыг хүсусијәтләрине вә әлдә едилән археологи материала әсәсән демәк олар ки, бу гүллә тәхминән IX әсрә анд олуб, XI—XIII әсрләрдә дә өз әһәмијәтини итирмәмишdir.

Тарих институту

Алынышыр 30.XII 1968

959—7

и А  
связь  
80

**УКАЗАТЕЛЬ**  
статьей, опубликованных в «Докладах Академии наук  
Азербайджанской ССР» в 1970 году

**Математика**

- Агакишиева С. Я. Графы, окружением вершины которых служат простые цепи или простые циклы, № 12, стр. 7.  
 Алиев Г. Г. Устойчивость нелинейно-упругих армированных цилиндрических оболочек при натяжении связей, № 4, стр. 3.  
 Вагабов А. И. Об одной плоской граничной задаче для эллиптического уравнения с параметром в случае негладкой границы, № 1, стр. 9.  
 Гамидов А. А. О сходимости в среднем интерполяционных полиномов Лагранжа в комплексной области, № 1, стр. 3.  
 Гаджиев В. Г. О преобразовании Фурье операторов по гауссовой мере в гильбертовом пространстве, № 2, стр. 3.  
 Гаджиев В. Г. О преобразовании Фурье операторов гауссовой мере в гильбертовом пространстве, № 4, стр. 10.  
 Джагаров Ариф С. Об обратной задаче теории наилучших приближений функций на сфере и на отрезке, № 3, стр. 3.  
 Джагарли Г. А. Теорема единственности для решений эллиптической системы в полуплоскости, № 9, стр. 12.  
 Жиков В. В. К проблеме существования почти-периодических решений дифференциальных и операторных уравнений, № 7, стр. 3.  
 Ибрагимов Э. И., Сафаров Г. Г., Гамидов Т. М. Об установившемся движении гетерогенных смесей в горизонтальных трубах, № 6, стр. 3.  
 Куллев Б. А. Исследование классического решения одной предельной краевой задачи на полуоси для одного класса квазилинейных уравнений третьего порядка, № 8, стр. 13.  
 Ласкер Л. Г. О некоторых достаточных условиях аппроксимации непрерывных функций операторами класса  $S_m$ , № 9, стр. 3.  
 Мустафаев Р. А. Приближение решение одной двумерной задачи с подвижной границей, № 7, стр. 8.  
 Мусаев Б. И. Приближение решения одного класса систем нелинейных сингулярных интегральных уравнений методом механических квадратур, № 5, стр. 18.  
 Новрузов А. А. О суб- и суперрешениях линейного эллиптического оператора с полярными особенностями порядка  $r^{2-n}$ , № 10—11, стр. 16.  
 Оруджов Г. Н. О приближении функций нескольких переменных линейными операторами в пространстве  $L_p(E_2^+)$  ( $p \geq 1$ ), № 2, стр. 9.  
 Рагимов М. Б., Задорожный В. Г. О почти-периодических решениях многомерных дифференциальных уравнений, № 9, стр. 8.  
 Рзаев К. У. Одна вариационная задача, № 8, стр. 9.  
 Худавердиев К. И. Исследование классического решения одномерной смешанной задачи для одного класса функциональных уравнений, № 12, стр. 11.  
 Эфендиев Р. С. Асимптотика решения по малому параметру краевой задачи эллиптического уравнения 2-го порядка в тонких областях, № 6, стр. 9.

**Механика**

- Аминзаде Р. Ю. Выпучивание сжатого кольца, изготовленного из нелинейного материала, № 8, стр. 3.

**Гидромеханика**

Гаджиев Л. М. Об основных дифференциальных уравнениях нестационарного движения однородных жидкостей в трещиновато-пористых средах при нелинейном законе фильтрации, № 5, стр. 3.

**Нефтепромысловая механика**

Гасанов Г. Г., Саттаров Р. М., Аметов И. М., Даниэлян Ю. С. Постановка некоторых обратных задач буровой гидродинамики на основе нестационарных исследований, № 5, стр. 12.

Джалилов К. Н., Джазаров Н. Д. О движении жидкостей в макроенодородной пористой среде, № 4, стр. 19.

**Энергетика**

Гусейнов Ф. Г., Тамаев А. Г. О возможностях применения принципа максимума Потрягина для расчета электрических цепей, № 3, стр. 15.

Гусейнов Ф. Г., Ибрагимов З. И. Об основах исследования оптимальной надежности в энергосистеме, № 10—11, стр. 13.

**Полупроводниковая электроника**

Дьяконов В. П., Ализаде Д. Г. Вольт-амперная характеристика лавинного транзистора со стороны эмиттера, № 7, стр. 12.

**Электрохимия**

Алиев К. А., Гавенский Л. Я. Электрохимическая защита внутренней поверхности промысловых емкостей и аппаратуры, № 2, стр. 22.

**Электроэнергетика**

Джуварлы Ч. М., Дмитриев Е. В. Численное решение нелинейных уравнений  $m$ -проводной линии электропередачи, № 12, стр. 16.

**Физика**

Абдуллаев Г. Б., Ибрагимов Н. И., Ибадов А. Х. Влияние сернокислого натрия на выход  $Al_2O_3$  из алюминиевых растворов, № 8, стр. 17.

Агаев В. Г., Антонов В. В., Нани Р. Х., Салаев Э. Ю. Синтез и выращивание монокристаллов соединения  $CdGa_2Se_4$ , № 10—11, стр. 8.

Ашимов М. А., Мамедова М. А., Мамедзаде Т. Н., Нуриева З. Д. Исследование процесса дезмульсации нефтяных эмульсий НПУ «Карадагнефть» в зависимости от прочности адсорбционной пленки, № 6, стр. 22.

Воротникова Д. Н. Тепловые параметры мощных полупроводниковых приборов, № 4, стр. 15.

Голикова О. А., Джагаров Э. О., Стильбанс Л. С., Фейгельман Ф. Л. Методика измерения теплопроводности полупроводников при высоких температурах, № 9, стр. 15.

Рустамов А. Г., Керимов И. Г., Валиев Л. М., Бабаев С. Х., Ибрагимова П. Г. Электрические свойства монокристаллов теллуридов марганца, железа и никеля, № 6, стр. 19.

**Математическая физика**

Абасов А. М. Решение основных неидеальных теплоконтактно-краевых задач для составного цилиндра, № 10—11, стр. 3.

**Техническая физика**

Воротникова Д. Н., Гребеников Г. И. Зависимость внутреннего теплового сопротивления транзисторов от режима работы, № 12, стр. 3.

Сергеев Ю. Г., Горин Ю. В. О некоторых особенностях газового разряда в промежутке с электродом, ограниченным диэлектриком, № 2, стр. 13.

**Теоретическая физика**

Сейдов Ю. М., Абдуллаев М. Н. К вопросу двухмагнитного поглощения в сложных магнето-упорядоченных кристаллах, № 3, стр. 11.

## Астрофизика

Кулизаде Д. М. О различии фраунгоферовых линий в спектре полюса и экватора диска Солнца, № 2, стр. 17.

## Теория упругости

Амензаде Ю. А., Семенова И. И. Решение задачи об осесимметричном упругом равновесии плиты переменной толщины, № 3, стр. 7.

## Астрономия

Мамедов М. А. Анализ некоторых гипотез происхождения комет на основании результатов численного анализа гипотетических комет, № 6, стр. 15.

## Химия

Алиев В. С., Ахмедзаде Д. А., Гаджиев Т. А., Алиев М. Х. Влияние диэтилалюминийхлорида на активность комплексного катализатора и на стереоизомерный состав полипропилена, № 7, стр. 37.

Буниятзаде А. А., Аидросова В. М., Булатникова Э. Л. Исследование термического разложения некоторых полиолефинов методом пиrolитической газовой хроматографии, № 5, стр. 34.

Гаджиев С. Н., Ганиев А. С., Нагдалиева Ю. Г. Калориметрия неорганических соединений, № 9, стр. 27.

Исмайлова Р. Г., Алимарданов Р. С., Мустафаев Э. Х. Взаимодействие 4-метилалюксивенолов с пропиленом в присутствии серной кислоты, № 9, стр. 30.

Исмайлова Р. Г., Алиев С. М., Раев Н. К. Алкилирование толуола  $\alpha$ -олефинами в присутствии синтетических алюмоцикликолов, № 3, стр. 19.

Исмайлова Р. Г., Алиев С. М., Мамедов Р. М., Везиров Ш. С. Структурирование полиэтилена в процессе переработки, № 10—11, стр. 26.

Кулиев А. М., Ализаде З. А., Салимов М. А., Мирмовсумова А. М., Ибрагимов Н. Ю., Курбаналиева Т. К., Мамедов С. А. Об основности некоторых сероорганических соединений, № 9, стр. 46.

Мамедов Шамхал, Мамедова П. Ш., Саакова И. Т., Эминова З. Т. Синтез сложных и простых эфиров трихлорметилфенилкарбинола (эфира-99), № 5, стр. 38.

Мамедов Ф. Д., Алекскерова С. М. Спектрофотометрический метод определения константы равновесия ассоциации молекул, № 1, стр. 24.

Мамедов Ф. Н., Султанова Н. Р., Мамедов Ф. А. Конденсация тиофенола с основаниями Маниника, № 6, стр. 32.

Мискарли А. К., Мамедзаде Б. И., Землянская В. Я. Влияние температуры на сорбцию Na-гуматов и гидроокиси натрия некоторыми природными глинистыми минералами, № 9, стр. 41.

Рзаев А. С., Абдуллаев Ф. А., Исмайлзаде И. Г., Мамедов И. М., Мамедова Л. Исследование производных  $\beta$ -кетобутилового спирта, № 3, стр. 22.

Садыхов З. А., Гамбараева С. А., Абасова Н. А. Некоторый синтез на основе 1,2-[дифенилхлорметил]пропана, № 4, стр. 31.

Юрьева Г. А., Сейдов Н. М., Кязимов С. М., Гусейнова Д. Ф., Мамедова В. М. Определение состава продукта сополимеризации этилен-бутилен-изобутиленовой смеси методом ИК-спектроскопии, № 4, стр. 35.

## Органическая химия

Зейналов Б. К., Ахундов А. А., Мамедов А. М. Синтез оксикислот прямым окислением индивидуальных и парафинов, № 12, стр. 30.

Исмайлова Р. Г., Алиев С. М., Байрамов М. Р., Алиев С. А. Синтез сополимеров 2-метил-, 4-изопропенилфенола и его метилового эфира с некоторыми мономерами, № 1, стр. 18.

Пишиамазаде Б. Ф., Гусейнов И. А. Ацилирование 1-винилциклогексана-3, № 7, стр. 32.

Исмайлова Р. Г., Алимарданов Р. С., Устинюк Ю. А., Мустафаев Э. Х. Алкилирование ортометокситолуола пропиленом в присутствии серной кислоты, № 6, стр. 39.

Исмайлова Р. Г., Мамедалиев Г. М., Алиев С. М., Раев Ф. Д., Султанов З. А., Алиев Д. А., Сияткова Л. К. Получение полимерных смол из сланцевого сольвента в присутствии инициатора, № 5, стр. 28.

Магеррамов М. Н., Ахмедов Ш. Т., Халилова Р. А., Лютфалиев А. Г., Нагиева Ш. Р. Исследование реакции нафталана с галоидалкенами в присутствии меди, № 1, стр. 13.

Мамедов Шамхал, Низкер И. Л., Осипов О. Б., Рзакулиев А. А., Мусаелян М. А. Хроматографический анализ производных  $\beta$ -бутироксистана и 1-фенил-2-изобутилоксистана, № 12, стр. 34.

Мамедов Шамхал, Хыдыров Д. Н., Зейналов Р. С. Синтез аллокситетиловых эфиров 2-(диэтиламинометил- $\beta$ -метилфенола, № 9, стр. 19.

Мехтиев С. И., Далин М. А., Сафаров Ю. Д., Гусейнов А. Г. Исследование реакции присоединения аммиака к метакрилонитрилу, № 6, стр. 46.

Мехтиев С. Д., Куриосова Н. П., Шахгельдинев М. А. Реакционная способность и ориентация при циклогексилировании толуола, № 6, стр. 36.

Мехтиев С. Д., Мусаев М. Р., Гайдарова Э. Э., Самедова Т. С. Синтез цианиборонилфенолов и их эфиров, № 3, стр. 33.

Мовсумзаде М. М., Шабанов А. Л., Кязимов А. С., Гурбанов П. А. Сопряженное бромирование  $\alpha$ -окисей с норкараном, № 10—11, стр. 41.

Осипов О. А., Кулиев А. М., Колодажный Ю. В., Ализаде З. А., Коган М. Г., Мамедов С. А., Курбаналиева Г. К. Дипольные моменты и строение некоторых сероорганических соединений, № 8, стр. 30.

Садыхзаде С. И., Курбанов С. Б., Мустафаев Р. И. Алькилирование ароматических углеводородов эпихлоргидрином в присутствии хлористого алюминия, № 5, стр. 29.

Садыхзаде С. И., Марданов М. А., Султанова З. Б. Присоединение гидридов кремния к пропаргилбутиловому ацеталю, № 7, стр. 23.

Садыхов К. И., Магеррамова Н. М. Синтез некоторых эфиров -(2,5-диметилбензоил)-пропионовой кислоты, № 3, стр. 30.

Садыхов К. И., Магеррамова Н. М. Синтез некоторых эфиров (2,4,6-три-метилбензоил)-пропионовой кислоты, № 10—11, стр. 30.

Салахов М. С., Гусейнов М. М., Поладов П. М. Стереохимическое исследование реакции конденсации гексахлорцикlopентадиена с  $\Delta^3$ -циклогексенкарбоновыми кислотами, № 2, стр. 32.

Шеломенок М. Х., Щеголь Ш. С., Мехтиев С. Д., Люшин М. М., Гусейнова С. Н. ИК-спектры трет-алкилзамещенных бензойных кислот и их калиевых солей, № 12, стр. 27.

Шихмамедбекова А. З., Асланов Ф. А., Гаджиев М. М., Гуламова Т. Э., Ахмедова Ф. Н. Масс-спектрометрическое исследование метилциклоалканов, № 10—11, стр. 34.

## Неорганическая химия

Рустамов П. Г., Заргарова М. И., Гейдарова Э. А. Взаимодействие полуторасульфида индия с теллуром в тройной системе In—S—Te, № 9, стр. 39.

## Физическая химия

Агаев А. Б., Шарифов К. А. Выращивание монокристаллов  $Gd_2Te_3$  методом газотранспортных реакций, № 5, стр. 8.

Агарулов М. Я. Энталпия образования кремнийорганических соединений ряда  $SiH_n(CH_3)_mCl_{4-n-m}$ , № 2, стр. 36.

Алекперов А. И., Бабаева М. А., Новрузова Ф. С., Дадашев С. Д. Электроосаждение теллура из солянокислых, водных и неводных растворов, № 3, стр. 26.

Багбалилы И. Л., Албенидов А. А. Экспресс-метод фотонефелометрического определения фтора, № 5, стр. 41.

Мамедов Р. И., Ахмедзаде Д. А., Гаджиев Т. А., Алиев Г. Д. Исследование надмолекулярной структуры полипропилена, полученного полимеризацией пропилена в масле, № 10—11, стр. 21.

Мискарли А. К., Абдурагимова Л. А., Кязимова Ф. М., Мусаев Г. М. Влияние некоторых электролитов и поверхностно-активных веществ на электрокинетические свойства и устойчивость суспензий известняка, № 7, стр. 27.

Рзазаде П. Ф., Аббасов М. А., Абдурагимова Р. А. Влияние сернокислого натрия на выход  $Al_2O_3$  из алюминиатных растворов, № 8, стр. 21.

Ризаев Р. Г., Шейнин В. Е., Мехтиев С. Д., Гасанова Ф. А. Изучение кинетики реакции окислительного аммонолиза м-толунитрила над Mo-V-катализатором, № 9, стр. 22.

## Аналитическая химия

Багбалилы И. Л., Ширай М. В., Маков Н. Н. Синтез и исследование свойств тетраодонодинамминхромиата цезия, № 2, стр. 41.

Багбалилы И. Л., Гусейнов И. К., Абдуллаева А. Б. Гексароданохромиат калия как реагент для количественного определения висмута, № 12, стр. 23.

Исмайлова Р. Г., Алиев С. М., Мамедалиев, Г. М., Агаев М. А., Гасанова Ш. И. Сополимеризация алкинилароматических мономеров фр. 120—200°C продуктов пиролиза с алкидными смолами, модифицированными ненасыщенными растительными маслами, № 7, стр. 21.

Шахтахтийский Г. Б., Асланов Г. А., Джазаров Г. А. Арсенатный метод юдометрического определения бария и стронция при их совместном присутствии, № 6, стр. 27.

#### Технология основного органического синтеза

Чернов В. Д., Добровольский И. П., Серебряков Б. А., Далин М. А. Анализ напуска полубесконечного импульса траассирующего газа в псевдоожженый слой цепористых частиц, № 2, стр. 26.

#### Коллоидная химия

Зульфугаров Э. Г., Александрова С. А., Юсупова Ш. А., Исмайлова Б. А. Рентгенодифрактометрическое и электронномикроскопическое исследование бентонитовых глин (гильбии) новых месторождений Азербайджана, № 9, стр. 57.

#### Нефтехимия

Алиев В. С., Альтман Н. Б., Иофин Г. А. Сопоставление результатов полимеризации жидких продуктов термоконтактного пиролиза мазутов бузовинской и балханской тяжелых нефтей, № 4, стр. 40.

Гулумов П. И., Константинов Н. Н., Мамедов А. И., Мансуров М. Н. О нестационарном распределении температуры во влагонасыщенной среде, № 7, стр. 17.

Исмайлова Р. Г., Мехтиев С. Д., Магеррамова Р. Ю., Сулейманов Г. Н., Абдуллаев Я. Г., Зейналова О. Э. Исследование реакции окислительно-аммонолиза бензиновой фракции 115—120° сурханская отборной нефти, № 12, стр. 19.

#### Химическая кибернетика

Далин М. А., Серебряков Б. Р., Хамамедов О. К. Оптимизация технологической схемы производства нитрила акриловой кислоты (НАК), № 9, стр. 35.

Серебряков Б. Р., Хамамедов О. К. Об одной задаче старения катализатора, № 12, стр. 38.

#### Радиохимия

Мискарли А. К., Маков Н. Н., Прокошев В. А. Исследование ионообменной сорбции катионов на бентонитах Азербайджанской ССР, № 8, стр. 26.

#### Теплохимия

Нагиев М. Ф., Головач И. И. Алгоритм стандартной программы расчета системы теплообменников, № 4, стр. 25.

#### Химия полимеров

Мамедов Р. И. К вопросу о корреляции испытаний поливинилхлоридного пластика в процессе искусственного и атмосферного старения, № 4, стр. 28.

#### Геология

Абдуллаев М. Р. Перспективы поисков залежей нефти и газа в отложениях сарматского яруса дельтовой зоны и на далеком юго-западном борту Нижнекуринской впадины, № 10—11, стр. 44.

Алиев Г. А. Особенности распределения залежей ПК свиты месторождения Песчаный-море в связи с перспективами нефтегазоносности ее, № 6, стр. 51.

Алиев Х. Ш. Новые данные о возрасте союзоб-чиразкалинских известняков северо-восточного Азербайджана, № 10—11, стр. 57.

Аллахвердиев Р. А. Новые данные об акчагыльском ярусе кушканской мульды (Кызылтан), № 8, стр. 37.

Гумматов М. М., Юсифов Р. Ю., Эфендиев Д. И. Особенности изменения мощностей, литофации и коллекторских свойств отложений кирмакинской свиты юго-восточной части Ашхоронского архипелага, № 2, стр. 62.

Мустафаев Г. В. О генетической связи оруднения с мехманинским гранитондным интрузивом (М. Кавказ), № 12, стр. 46.

Самедова Р. А. О среднеюрских субвулканических интрузивах Вандамского антиклиниория, № 7, стр. 53.

Салаев С. Г., Алиев Г. Р., Яхъяев М. М. О времени образования свит продуктивной толщи площадей Зых и Песчаный-море, № 1, стр. 28.

#### Геохимия

Дадашев Ф. Г., Мамедов А. М. Гелиеносность углеводородных газов Восточного Азербайджана, № 3, стр. 53.

#### Геофизика

Ахмедов Г. А., Бабаев Д. Х., Ганбаров Ю. Г. Применение метода РИП для прослеживания протяженных сейсмических границ на Каспийском море, № 5, стр. 48.

Демиховская-Кулиева Э. М., Кузнецов В. П., Пучков С. В. Скорости колебаний грунта от близких землетрясений Юго-Восточного Кавказа, № 2, стр. 49.

#### Геология нефти

Абдуллаев М. Р. К вопросу о перспективах нефтеносности Западного Азербайджана, № 8, стр. 47.

Агаларов М. С., Карапан Л. Г. Некоторые особенности гидрохимической характеристики месторождений Кюровдаг, Карабаглы, Кюрсангя, № 4, стр. 43.

Алиев А. А., Гасанов А. Г. О перспективах нефтегазоносности верхнеплиоценовых отложений антиклинальной зоны Кюровдаг—Нефтечала, № 7, стр. 41.

Гаджи-Касумов А. С., Джавадов А. А. О степени метаморфизма различных фракций нефти Азербайджана, № 6, стр. 61.

Гаджиев Б. А. Характер проявления колебательных движений в верхнемеловое время в пределах Казахского прогиба (М. Кавказ), № 3, стр. 40.

Плющ А. М., Кадыров Н. К. О величине геотермического градиента Синазанской моноклинали, № 10—11, стр. 53.

Симхаев В. З., Гейдаров Г. М., Ниналов А. И. Гидродинамические исследования коллекторских свойств нижнемеловых и юрских отложений на месторождениях Северного Дагестана, № 3, стр. 45.

Цатурица А. Б., Шабанов С. Ф., Тер-Карапетян Ж. Н. К вопросу об определении величины глубинного теплового потока для некоторых районов Ашхоронской нефтегазоносной области, № 7, стр. 45.

Якубов А. А., Гаджиев Я. А., Матанов Ф. А., Атакишиев И. С. Извержение грязевого вулкана Келаны, № 5, стр. 55.

#### Геология нефти и газа

Гаджиев Я. А., Мустафаев М. Г. Грязевой вулкан Хыдырзыны и его связь с нефтегазоносностью мезозойских отложений Чандагар-Зоратской площади, № 12, стр. 41.

Горин В. А., Буниятзаде З. О генетической сущности газонефтяного вулканизма и вертикальной миграции глубинных углеводородов, № 1, стр. 36.

Якубов А. А., Гаджиев Я. А. О перспективах нефтегазоносности верхнемеловых отложений юго-восточной части Алятской гряды, № 8, стр. 57.

#### Инженерная геология

Мустафаева С. А. Инженерно-геологические условия грунтов дна поднятия Камней Два Брата, № 5, стр. 61.

Шабанов А. И., Исмайлова Т. А. К вопросу формирования инженерно-геологических свойств глинистых пород юго-восточной Ширвана, № 1, стр. 33.

#### Стратиграфия

Алиев А. А., Алиева Л. И. О расщеплении и сопоставлении акчагыльских отложений Западного Азербайджана, № 2, стр. 56.

Векилов Б. Г., Федоров П. В. Четвертичные морские отложения Азербайджана и их место в стратиграфии плейстоцена Понто-Каспийской области, № 4, стр. 57.

Касимова Г. К., Алиев Х. Ш., Порошина Л. А. О границе юры и мела в полосе Тейгинско-Бешбармакского антиклиниория, № 2, стр. 53.

Кувайева С. Б. Новые виды спор и пыльцы из нижнемеловых отложений юго-востока Большого Кавказа (Азербайджан), № 8, стр. 41.

Мамедова Л. Д., Мамедова Н. А. К стратиграфии палеогеновых отложений окрестностей сел. Гаджили Шемахинского района Азербайджана по фауне фораминифер и радиолярий, № 9, стр. 53.

## Минералогия

Аллахвердиев Ш. И., Халилов Ф. Д. О диопсиде из ультраосновных пород Кельбаджарского района (Азербайджанская ССР), № 5, стр. 45.  
Кашкай М. А., Махмудов С. А. К рентгенометрической характеристике гранатов Дашкесана, № 8, стр. 52.

## Подземная геология

Паллер И. Н., Гусейнов М. А. О создании подземных газовых хранилищ в Азербайджане, № 4, стр. 61.

## Петрография

Ильясов Н. Р. Распределение золота в рудах месторождений Махманинского рудного пояса, № 4, стр. 47.

Керимов А. Д., Мамедов Г. С., Керимов Ф. А. К вопросу об условиях образования и возрасте вторичных кварцитов западного склона Зангезурского хребта, № 3, стр. 48.

## Палеонтология

Алескеров Дж. А. К вопросу о филогене ашеронского рода *Pseudocatillus* Andrusow, № 6, стр. 57.

Куваева С. Б. Палинологическая характеристика верхнеантских отложений в районе р. Атакай, № 12, стр. 56.

## Тектоника

Салаев С. Г., Кастрюлин Н. С. О важной роли разрывных деформаций в формировании тектоники Юго-Западного Кобыстына, № 12, стр. 51.

Сулейманов А. М., Ализаде С. А., Гулиев Г. А., Абдуллаев Р. А. О роли конседиментационных разрывов в формировании современного структурного плана СВ части ЮВ Кавказа, № 12, стр. 60.

Шихалибейли Э. Ш., Аллахвердиев Г. И., Гаджиев Б. А., Гасанов Г. М. Тектоническое строение юго-восточного борта Казахского прогиба на пересечении с. Ю. Оксюзлы—Мусакей (междуречья Таузчай и Акстрафай), № 10—11, стр. 48.

## Кристаллография

Атакишинев З. М. Дайки габбро-пегматитов основных интрузивов Сарыбабинского синклиниория (Малый Кавказ), № 1, стр. 44.

Раджабов М. М., Ригер Р. Р. О неоднородности строения кристаллического фундамента в Курийской впадине, № 4, стр. 52.

## Полезные ископаемые

Керимов А. Д., Керимов Ф. А. О взаимоотношении дайки диорит-порфирита с оруденением и времени образования рудных жил на Каумадаринском свинцово-цинковом месторождении, № 2, стр. 45.

## Разработка нефтяных месторождений

Мусаев Р. А., Тариров Н. Д., Халилов Э. Г., Абуталыбова Р. Н. Влияние поверхности-активных веществ и температуры на водоотдачу пласта, № 9, стр. 49.

## Экономическая география

Мехралиев Э. К. Метод определения участия отдельных факторов в развитии территориально-производственных единиц (концентров, центров, узлов и комплексов), № 10—11, стр. 59.

## Физическая география

Мамедов И. Т. Об аномалии ландшафтных поясов южного склона Главного Кавказского хребта, № 7, стр. 60.

## Гидрология

Рустамов С. Г., Тырин Ф. С. Метод расчета коэффициента стока от дефицита влажности, № 4, стр. 66.

## Бурение

Кулиев С. М., Мансуров А. П. К определению дополнительного внешнего давления на обсадную колонну при эксплуатации скважин, № 3, стр. 35.

## Бурение скважин

Кулиев С. М., Кулиев В. Т., Иманов А. А. Исследование коллекторских свойств песчаников в условиях всестороннего давления, № 7, стр. 49.

## Ботаника

Ахундов Т. М., Прилипко Л. И. Новое местонахождение синеголовника *Fryngium wanaturi* Wogono в Южном Закавказье и его консортивные биологические связи, № 3, стр. 68.

Новрузов В. С. О вертикальном распространении эпифитных лишайников в условиях Куба-Кусарского района, № 3, стр. 61.

## Дендрология

Агамирова М. И. О рано- и позднораспускающихся формах сосны алеппской (*Pinus halepensis* Mill.) в условиях Ашерона, № 8, стр. 66.

## Биология

Пишиамазов А. М. Дробное применение удобрений под сахарную свеклу, № 9, стр. 63.

Щипанова И. А. К вопросу о зольном составе элементов надземной части некоторых растительных сообществ субтропической зоны Азербайджана, № 9, стр. 68.

## Биохимия

Ализаде М. А., Абдуллаев Ф. И. Динамика накопления сахара в листьях технических сортов винограда в богарных и поливных условиях Карабахской зоны, № 1, стр. 50.

Тагиева А. Г., Гаузер Е. Г. Влияние метионина на кожно-диффузционную активность гиалуронидазы, № 9, стр. 73.

## Микробиология

Ахмедов Д., Эфендиева С. С. Значение метода серологии в диагностике риккетсий, № 7, стр. 73.

Мартиросова-Мелкумова Т. А., Тагиев В. Д. Изучение изоэлектрической зоны различных по активности штаммов клубеньковых бактерий, № 6, стр. 70.

Мамедов Д., Эфендиев С. Изучение действия некоторых антибиотиков и антимикоплазменной сыворотки при деконтаминации перевиваемых клеточных культур, № 12, стр. 84.

Сафаров Ю. Б., Кадымов Р. А. К вопросу одновременной и ассоциированной вакцинации животных против сибирской язвы и анаэробных инфекций, № 10—11, стр. 67.

Тагиев В. Д. Образование гетероауксина клубеньковыми бактериями люцерны, № 4, стр. 76.

## Радиobiология

Агаджалиев Р. А. Динамика мутирования и митотическая активность клеток при действии алкилирующего агента НП-173 на старые семена *Allium fistulosum* L. с высоким уровнем мутирования клеток, № 4, стр. 71.

## Биохимия растений

Исмаилов Н. М., Мамедова Ш. А. Обмен свободных аминокислот у дурмана индийского при хлоридно-сульфатном засолении, № 3, стр. 57.

Клыджев В. К. Изучению фракционного и аминокислотного состава белка у некоторых представителей семейства *Leguminosae* (L.), № 4, стр. 81.

Мамедова Т. Х., Рустамов Ф. А. Обмен свободных нуклеотидов в зонах роста корня тыквы при кальциевом голодании, № 10—11, стр. 71.

## Фитохимия

Рагимов М. А., Насудари А. А. Исследования плодов обвойника, произрастающего в Азербайджане, № 12, стр. 70.

## Биология растений

Бахрамов А. Б. Особенности морфогенеза у однолетних кормовых культур, № 8, стр. 75.

## Физиология растений

Аббасов Г. С. Количественное изменение свободных аминокислот в листьях хлопчатника в зависимости от сроков внесения минеральных удобрений, № 8, стр. 70.

Абуталыбов М. Г., Гумматов М. Р. Влияние различных доз железа и марганца на их распределение в субклеточных органеллах, № 5, стр. 75.

Алиев А. А., Мамедов З. М. Результат исследований по изучению энтомофагов вредителей сада в Азербайджане, № 12, стр. 80.

Гусейнов Б. З., Мамедов А. Н. Влияние минерального питания на фосфорный обмен у хлопчатника при различных условиях водообеспеченности, № 7, стр. 57.

Меликова О. Ф., Марданов А. А., Абуталыбов М. Г. Влияние кинетина на ultraструктуру клеток корня, № 10—11, стр. 82.

Мехтизаде Р. М., Лятифова Д. Х., Банишевская Л. А., Гаджиева Н. А. Испытания хлорхолинхлорида в посевах озимой пшеницы в условиях Бело-кано-Закатальской зоны Азербайджанской ССР, № 12, стр. 74.

## Анатомия растений

Новрузова З. А. Особенности формирования побега представителей рода боярышника в связи с экологией, № 6, стр. 66.

## Почвоведение

Джафарова Т. С. Групповой состав гумуса высокогорно-луговых почв Муромского хребта, № 2, стр. 67.

Кулиев Ш. М. Содержание подвижных форм марганца и бора в некоторых почвах Большого Кавказа (в пределах Азербайджана), № 6, стр. 78.

Курбанов С. А. Изменение мелиоративных условий в связи с режимом уровня грунтовых вод на примере подгорной равнины, № 6, стр. 82.

Рзаев Н. М. О динамике влажности, температуры и  $\text{CO}_2$  почвенного воздуха в сероземно-луговой почве Ширванской степи, № 7, стр. 64.

Саламов Г. А. О некоторых закономерностях распределения кремния ( $\text{SiO}_2$ ) в бурых горно-лесных почвах южного склона Большого Кавказа Азербайджанской ССР, № 12, стр. 65.

## Лесное почвоведение

Алиев Г. А., Байрамов Г. М. Динамика накопления органических веществ в буковых лесах Малого Кавказа, № 1, стр. 44.

## Растениеводство

Азизбекова З. С., Рзаев Т. А., Мамедова-Зейналова Э. М. Содержание свободных аминокислот в листьях хлопчатника в условиях разнокачественного засоления, № 3, стр. 64.

Алиев С. Ю. Распределение массы, поверхности и длины корней у синузии эфемеров в карганино-полынной полупустыне, № 6, стр. 73.

Микаилов М. А. Повышение всхожести семян хны, № 7, стр. 68.

## Зоология

Вандова С. М. Новый вид trematodes — *Neorenicola lari* nov. sp. (сем. *Rensolidae*) из черноголового хохотуна, № 4, стр. 77.

Софьев З. П. Видовой состав и количественное изменение Узунобинского и Неграмского водохранилищ Вахчеванской АССР, № 10—11, стр. 63.

## Гельминтология

Садыхов И. А. Новый вид нематод — *Trichocephalus acadovi* nov. sp. из кишечника ласки (*Mustela nivalis* L.), № 5, стр. 72.

## Агрономия

Аббасов Г. С. Влияние различных норм и соотношений минеральных удобрений на урожайность хлопчатника, № 5, стр. 66.

Азизбекова З. С., Бабаева Ж. А. К вопросу о влиянии сульфатно-хлоридного засоления на поступление и передвижение калия, кальция, магния в растении, № 1, стр. 53.

Баева А. И., Ахундова А. Б. Содержание урана в отдельных видах растений субтропической Ленкоранской зоны Азербайджана, № 5, стр. 69.

Гусейнов Р. К., Касумов Н. Ю. Содержание и формы калия на эродированных почвах, № 2, стр. 71.

Мишикина В. В., Коробов В. Л. Экономическая эффективность отдельных агротехнических приемов борьбы с эрозией почв, № 3, стр. 71.

## Физиология

Алиев М. Г., Ахундова Д. А. Участие ретикулярной формации ствола мозга в регуляции обменных процессов в молочной железе овцы, № 5, стр. 81.

Джабиева С. А., Сейдзаде Э. М. Изучение глюкагоноподобной активности поджелудочной железы у развивающегося куриного эмбриона, № 2, стр. 77.

Караев А. И., Салимов С. Х. Влияние раздражения mechanoreцепторов мочечника на антидиуретическую активность крови собак, № 1, стр. 57.

## Физиология животных

Караев А. И., Ханукаев Э. М., Ахмедова Э. О. Влияние эфирного масла из цветов олеандра на электрическую активность некоторых структур мозга кролика, № 5, стр. 86.

## Генетика

Микаилов М. А., Кубанов Э. А. Мутирование бальзамина под воздействием различных мутагенов, № 9, стр. 77.

Ализаде М. А., Джавадова Л. Г. Действие эфира-99 и 2,4 на нуклеиновый и азотистый обмен в листьях пшеницы, № 2, стр. 74.

## Селекция

Гаджиева Н. А., Лятифов Д. Х., Мехтизаде Р. М. Действие хлорхолинхлорида на изменение содержание гиббереллиноподобных веществ у культуры пшеницы, № 10—11, стр. 77.

Оруджалиев Н. Г. Изучение сортового разнообразия интродуцированных форм белокачанной капусты в условиях Апшерона, № 10—11, стр. 86.

## Ветеринария

Джабаров Д. А., Ганиев М. К. Действие осерненного керосина на кожу животных, № 3, стр. 75.

## Зооветеринария

Амирханов Ф. М. Изучение сиригофимоза кур в Нуха-Закатальской зоне Азербайджанской ССР, № 1, стр. 60.

## Медицина

Агаларов А. Б. Гистопатология ангиоретикулом и ангиоретикулосарком полушарий большого мозга после их субтотального удаления, № 3, стр. 79.

Ахмедов А. К. Взаимоотношения адата и шарната в процессе заключения брака у азербайджанцев в конце XIX — начале XX вв., № 7, стр. 81.

Иманов И. А. Определение свертывающей способности крови при холелитиазе методом тромбоэластографии, № 7, стр. 75.

Мамедбекова Л. Г. Изменения первого аппарата почечных вен в условиях нарушения кровообращения при гипертонической болезни, № 9, стр. 82.

Махмудова Ш. А. Иммунологические методы исследований при анкилостомиозах, № 2, стр. 80.

Муталибов Н. А. Ангиопульмонография через внутреннюю грудную вену, № 9, стр. 85.

## Фармакология

Дамиров И. А., Шукюров Д. З. Некоторые перспективные растения народной медицины Азербайджана, № 6, стр. 85.

Шукюров Д. З., Гусейнов Д. Я., Юзбашанская П. А. Влияние сумаха на углеводный обмен в норме и на фоне аллоксанового диабета у кроликов, № 12, стр. 88.

Шукюров Д. З., Насудар А. А. Изучение химического состава черноголовника, произрастающего в Азербайджане, № 8, стр. 84.

**Общая хирургия**  
Асланзаде С. А., Ахундов А. А. Электроэнцефалографическая характеристика комбинированного эндотрахеального эфирно-кислородного наркоза, № 8, стр. 80.

**История**

Велиев Т. Т. О дате рождения профессора Мирзы Джифара Топчибашева, № 10—11, стр. 91.  
Шарифли М. Х. Ахарские мелики-башкинцы, № 5, стр. 94.

**Древняя история**

Кашкай С. О ранних государственных образованиях на территории Иранского Азербайджана, № 9, стр. 89.

**Этнография**

Гейбуллаев Г. А., Джавадов Г. Д. К вопросу истории возникновения селений с названиями «Оба», № 8, стр. 89.

**Литература**

Мурадова М. Г. О дате рождения и смерти Садиг-бека Афшара, № 2, стр. 84.

**История литературы**

Каграманов Дж. В. О составлении научно-критического текста произведений Несими, № 1, стр. 66.

**Археология**

Нуриев А. Б., Гулиев Н. М. Глиняный сосуд из Шергаха, № 5, стр. 90.  
Исмаилов Г. С. Памятник Кюльтепе в Физулинском районе, № 4, стр. 88.  
Гадиров Ф. Мухасская башня, № 12, стр. 93.

**Языкознание**

Джидалаев И. С. К вопросу об исторической общности кавказского и переднеазиатского миров, № 3, стр. 83.

**Востоковедение**

Аббасов А. М. О словаре «Зибдэтиль-феванд» и об отношении его автора к творчеству Низами и Хагани, № 1, стр. 62.

**Искусство музыки**

Гусейнова Т. О некоторых стилистических особенностях третьей симфонии Джевдета Гаджиева, № 6, стр. 89.

**История науки**

Рагимова М. Н., Селимханов И. Р. К химическому исследованию некоторых древних медно-свинцовых изделий Кавказа, № 6, стр. 94.

**Эстетика**

Ямпольский З. И. О происхождении эстетических чувств, № 8, стр. 93.

**МУНДЭРИЧАТ**

**Техники физика**

Д. Н. Воротникова, Г. И. Гребеников. Транзисторун дахили истиллик мұғавиметинин ишләмә режиминде асылылығы . . . . . 3

**Ријазијат**

С. Ж. Ағакишиев. Тәпәләриниң әнатәси садә зәңчирләр вә садә деврләр олан графлар . . . . . 7

К. И. Худавердиев. Бир синиф функционал тәнликләр үчүн бирелчүлү гарышыг мәсәләнин классик һәллинин тәддиги . . . . . 11

**Електроенергетика**

Ч. М. Чуварлы, Е. В. Дмитриев. т-дөврәли электрик верилиш хәтеринде гејри-хәтти тәнликләриң әдәди һәлли . . . . . 16

**Нефт кимјасы**

Р. И. Исмаилов, С. Ч. Мендиев, Р. Ж. Мәһәррәмова, И. Н. Сүлејманов, Ж. И. Абдуллаев, О. Е. Зеинарова. Сураханы сечмә нефтиниң 115—120°C бензин функциясының оксидләшмә аммонолизи реаксијасының тәддиги . . . . . 19

**Аналитик кимја**

И. Л. Бағбанилы, И. Г. Һусеинов, А. Б. Абдуллаева. Калиум һексароданохромиатының бисмутун мигдары тә'јининдә тәтбиғи . . . . . 23

**Үзи кимја**

М. Х. Шеломенок, Ш. С. Шегол, С. Д. Мендиев, М. М. Лужин, С. Н. Һусеинов. Учлу алкил әвәзли бензој түршулары вә онларын қалып дузларының ИГ-спектрләри . . . . . 27

Б. Г. Зеиналов, А. А. Ахундов, А. М. Мәммәдов. Фәрди н-парафиниләрин бирбаша оксидләшдирилмасы илә окситуршуларын синтези . . . . . 30

Шамхал Мәммәдов, И. Л. Низкер, О. Б. Осинов, А. А. Рзағулијева, М. А. Мусајелди. β-бутирокситетанол вә 1-фенил-2-изобутокситетанол-1 тәрәмәләриниң хроматографик анализи . . . . . 34

**Кимјәви кибернетика**

Б. Р. Серебряков, О. К. Ханиммәдов. Катализаторун көйнелмәси һағында бир мәсәлә . . . . . 38

**Нефт вә газ јатагларының қеолокијасы**

Ж. А. Һачыев, М. Г. Мустафаев. Ҳыдырзының палчыг вулканы вә онун Чандагар-Зорат саһәсийдәки Мезозој чөкүнтуләриниң нефт-газлылығы иләзгәсі . . . . . 41

**Кеолокија**  
 І. В. Мустафаев. Филизләшмәнин Меймана гранитоид интрузиви илә  
 кепетик әлагәси һагында (Кичик Гафгаз) . . . . . 46

**Тектоника**

- С. Н. Салаев, Н. С. Кастрюли и. Җәнуб-гәрби Гобустаның ja-  
 ранмасында позулма деформацијаларының мүһүм ролу һагында . . . . . 51

**Палеонтолокија**

- С. Б. Куважева. Атачай һөвзесинде Уст Айт чекүнүләринин палинологи  
 сәчијјәси . . . . . 56

**Тектоника**

- Ә. М. Сүлејманов, С. Э. Элизадә, Г. Э. Гулијев, Р. А. Абдул-  
 лаев. Ч.-Ш. Гафгазын Шм.-Ш. һиссәсинин мұасир структур планының форм-  
 лашмасында конседиментасијон тырылмаларын ролу һагында . . . . . 60

**Торпагшұнаслыг**

- К. А. Саламов. Бөйк Гафгазын әндижаның жамағының гонур дағ-мешә торпаг-  
 ларында  $\text{SiO}_2$ -нин пајланмасының бәзі ганунауғында һагында . . . . . 65

**Фитокимја**

- М. Э. Рәһимов, Э. Э. Насудәр. Азәрбајчанда битән һөјемәниң меј-  
 вәләринин тәдгиги . . . . . 70

**Битки физиологијасы**

- Р. М. Мендизадә, Ч. Х. Ләтифов, Л. А. Банишевскаја, Н. А.  
 Һачыјева. Азәрбајчаның Балакән-Загатала зонасында хлорхолинхлоридни  
 гышылыг бүгдаларын јатмасына гаршы мұбаризәдә ишләдилмәси . . . . . 74

**Ентомологија**

- А. Э. Элијев, З. М. Мәмәдов. Азәрбајчанда бағ зијанверичиләри  
 етномофагларын өңәренилмәси . . . . . 80

**Микробиологија**

- Д. Н. Мәмәдов, С. С. Әфәндијев. Өз инкишафының тәқрарән да-  
 вам етдириң тохума күлтурасыны антибиотикләриңи вә анти микоплазма серума  
 тә'сири илә деконтаминасијаетмә һагында . . . . . 84

**Фармакологија**

- Ч. З. Шукурев, Д. Ж. Һүсейнов, П. А. Йұзбашинскаја. Ада дов-  
 шанларында аллоксан шәкәр хәстәлиги нормасында сумасын карбоидрокен мұба-  
 диләсина тә'сири . . . . . 88

**Археологија**

- Ф. В. Гәдирев. Мухас гүлләси . . . . . 93

**СОДЕРЖАНИЕ**

**Техническая физика**

- Д. Н. Воротникова, Г. И. Гребеников. Зависимость внутреннего  
 теплового сопротивления транзисторов от режима работы . . . . . 3

**Математика**

- С. Я. Агакишиева. Графы, окружением вершин которых служат простые  
 цепи или простые циклы . . . . . 7

- К. И. Худавердиев. Исследование классического решения одномерной  
 смешанной задачи для одного класса функциональных уравнений . . . . . 11

**Электроэнергетика**

- Ч. М. Джуварлы, Е. В. Дмитриев. Численное решение нелинейных  
 уравнений  $n$ -проводной линии электропередачи . . . . . 16

**Нефтехимия**

- Р. Г. Исмайлова, С. Д. Мехтиев, Р. Ю. Магеррамова, Г. Н. Су-  
 лейманов, Я. Г. Абдуллаев, О. Э. Зейналова. Исследование реакции  
 окислительного аммонолиза бензиновой фракции 115—120° сурханской отборной  
 нефти . . . . . 19

**Аналитическая химия**

- И. Л. Багбанилы, И. К. Гусейнов, А. Б. Абдуллаева. Гексаро-  
 данохромиат калия, как реагент для количественного определения висмута . . . . . 23

**Органическая химия**

- М. Х. Шеломенск, Ш. С. Щеголь, С. Д. Мехтиев, М. М. Люшин,  
 С. Н. Гусейнова. ИК-спектры трет-алкилзамещенных бензойных кислот  
 и их калиевых солей . . . . . 27

- Б. К. Зейналов, А. А. Ахундов, А. М. Мамедов. Синтез оксикислот  
 прямым окислением индивидуальных и. парафинов . . . . . 30

- Шамхал Мамедов, И. Л. Низкер, О. Б. Осипов, А. А. Рзаку-  
 лиев, М. А. Мусаелян. Хроматографический анализ производных  $\beta$ -бутиро-  
 сиэтанола и 1-фенил-1-изобутоксиэтанола-1 . . . . . 34

**Химическая кибернетика**

- Б. Р. Серебряков, О. К. Ханмамедов. Об одной задаче старения  
 катализатора . . . . . 38

**Геология нефтяных и газовых месторождений**

- Я. А. Гаджиев, М. Г. Мустафаев. Грязевой вулкан Хыдырзынды и  
 его связь с нефтегазоносностью мезозойских отложений Чандагар-Зоратской  
 площади . . . . . 41

**Геология**

- Г. В. Мустафаев. О генетической связи оруднения с мехманиским  
 гранитоидным интрузивом (М. Кавказ) . . . . . 46

111

<b>Тектоника</b>	
С. Г. Салаев, Н. С. Кастрюли. О важной роли разрывных деформаций в формировании тектоники Юго-Западного Кызылтана. . . . .	51
<b>Палеонтология</b>	
С. Б. Кувасова. Палеонтологическая характеристика верхнеалпских отложений в районе р. Атакай. . . . .	56
<b>Тектоника</b>	
А. М. Сулейманов, С. А. Али-заде, Г. А. Гулиев, Р. А. Абдуллаев. О роли конседиментационных разрывов в формировании современного структурного плана СВ части ЮВ Кавказа. . . . .	60
<b>Почвоведение</b>	
Г. А. Саламов. О некоторых закономерностях распределения кремния ( $\text{SiO}_2$ ) в бурых горно-лесных почвах Южного склона Большого Кавказа Азербайджанской ССР . . . . .	65
<b>Фитохимия</b>	
М. А. Рагимов, А. А. Насудар. Исследование плодов обвойника, произрастающего в Азербайджане. . . . .	70
<b>Физиология растений</b>	
Р. М. Мехтизаде, Д. Х. Лятифова, Л. А. Банишевская, Гаджиева Н. А. Испытания хлорхолинхлорида в посевах озимой пшеницы в условиях Белокано-Закатальской зоны Азербайджанской ССР. . . . .	74
<b>Энтомология</b>	
А. А. Алпев, З. М. Мамедов. Результаты исследований по изучению энтомофагов вредителей сада в Азербайджане. . . . .	80
<b>Микробиология</b>	
Д. Мамедов, С. Эфендиев. Изучение действия некоторых антибиотиков и антимикоплазменной сыворотки при деконтаминации перевиваемых клеточных культур. . . . .	84
<b>Фармакология</b>	
Д. З. Шукюров, Д. Я. Гусейнов, П. А. Юзбашинская. Влияние сумаха на углеводный обмен в норме и на фоне аллоксанового диабета у кроликов. . . . .	88
<b>Археология</b>	
Ф. В. Гадиров. Мухасская башня. . . . .	93

Сдано в набор 3/XII 1970 г. Подписано к печати 26/III 1971 г. Формат бумаги 70×108<sup>1/16</sup>. Бум. лист. 3,19. Печ. лист. 8, 73. Уч.-изд. лист. 8,01. ФГ 12239. Заказ 959. Тираж 840. Цене 40 коп.

Типография им. Рухуллы Ахундова Государственного комитета Совета Министров Азербайджанской ССР по печати. Баку, Рабочий проспект, 96.

**40 коп.**

**Индекс  
76355**